### КЫРГЫЗСКАЯ ГОСУДАРСТВЕННАЯ МЕДИЦИНСКАЯ АКАДЕМИЯ им. И. К. АХУНБАЕВА

На правах рукописи УДК 616.314-77(575.2) (043)

## ЭРКИНБЕКОВ ИСЛАМ БУРКАНОВИЧ

ОСОБЕННОСТИ ПРОТЕЗИРОВАНИЯ ПАЦИЕНТОВ С МНОЖЕСТВЕННОЙ АДЕНТИЕЙ ПРИ НЕБЛАГОПРИЯТНЫХ УСЛОВИЯХ ДЛЯ ФИКСАЦИИ ПРОТЕЗА

14.01.14 - стоматология

Диссертация на соискание ученой степени кандидата медицинских наук

#### Научный руководитель:

доктор медицинских наук, доцент Нурбаев Алтынбек Жолдошевич

**Бишкек** - 2025

### ЭРКИНБЕКОВ ИСЛАМ БУРКАНОВИЧ

# ОСОБЕННОСТИ ПРОТЕЗИРОВАНИЯ ПАЦИЕНТОВ С МНОЖЕСТВЕННОЙ АДЕНТИЕЙ ПРИ НЕБЛАГОПРИЯТНЫХ УСЛОВИЯХ ДЛЯ ФИКСАЦИИ ПРОТЕЗА

14.01.14 - стоматология

Диссертация на соискание ученой степени кандидата медицинских наук

# СОДЕРЖАНИЕ

стр	). с-по
СОДЕРЖАНИЕ	3-4
ПЕРЕЧЕНЬ СОКРАЩЕНИЙ И ОБОЗНАЧЕНИЙ	5-5
введение	6-10
ГЛАВА 1. СОВРЕМЕННЫЕ ПОДХОДЫ К ОРТОПЕДИЧЕСКОМУ	
лечению с множественной адентией при	
НЕБЛАГОПРИЯТНЫХ УСЛОВИЯХ ПРОТЕЗНОГО ЛОЖА	
(ОБЗОР ЛИТЕРАТУРЫ)	11-25
1.1 Распространённость множественной адентии с неблагоприятными	
условиями протезного ложа. Методы ортопедического лечения	11-18
1.2 Биомеханическое и клиническое обоснование применения	
дентальных имплантатов для фиксации съёмных протезов при	
множественной адентии с неблагоприятными условиями протезного	
ложа	19-25
	26.62
ГЛАВА 2. МЕТОДОЛОГИЯ И МЕТОДЫ ИССЛЕДОВАНИЯ	
2.1 Общая характеристика обследованных групп	26-33
2.2 Биомеханические методы при планировании имплантации	33-33
2.3 Обоснование выбора и разработка принципов математической	
модели	33-39
2.4 Математическое моделирование системы «съемный протез-десна»	40-45
2.5 Математическое обоснование применения промежуточных точек	
опор на имплантатах для фиксации зубного протеза	45-51
2.6 Биомеханическое математическое обоснование применения	
амортизирующего слоя, служащего фиксатором для съёмного протеза	51-61
2.7 Методы статистической обработки результатов исследования	62-63

ГЛАВА 3. РЕЗУЛЬТАТЫ СОБСТВЕННЫХ ИССЛЕДОВАНИЙ	64-106
3.1 Частота и структура множественной адентии у пациентов с	
неблагоприятными условиями протезного ложа	64-67
3.2 Результаты клинико-инструментального исследования	67-70
3.3 Особенности протезирования пациентов с множественной адентией	
при неблагоприятных условиях для фиксации с применением	
имплантатов и амортизирующего слоя	71-71
3.4 Сравнительная оценка эффективности ортопедического лечения	
пациентов с множественной адентией традиционным способом и с	
применением имплантатов	71-78
3.5 Сравнительный анализ эффективности лечения пациентов при	
множественной адентии с неблагоприятными условиями фиксации и	
стабилизации с использованием внутрикостных имплантатов	78-106
ЗАКЛЮЧЕНИЕ	107-107
ПРАКТИЧЕСКИЕ РЕКОМЕНДАЦИИ	108-108
СПИСОК ИСПОЛЬЗОВАННОЙ ЛИТЕРАТУРЫ	109-127
ПРИЛОЖЕНИЯ	128-129

### ПЕРЕЧЕНЬ СОКРАЩЕНИЙ И ОБОЗНАЧЕНИЙ

**ABS** - акрилонитрил-бутадиен-стирол.

жевательная эффективность

воз - Всемирная организация здравоохранения

**ИРОПЗ** - индекс разрушенности окклюзионной поверхности зуба

МКБ-С - международная классификация стоматологических болезней

**МРТ** - магнитно-резонансная томография

АОЦО - аппарат определения центральной окклюзии

**БЕП** - биоэлектрический потенциал

внчс - височно- нижнечелюстной суставы

вра -внутриротовые аппараты

**ДЗР** - деформация зубных рядов

ИЛ -индивидуальная ложка

КЛКТ - конусно- лучевая компьютерная томография

КСИ -коэффициент стабильности имплантата

**КТ** - компьютерная томография

КТЛР - коэффициент термического линейного расширения

по - предварительный оттиск

чло - челюстно-лицевая область

НДС - напряженно-деформированные состояния

3 Д-модель - трехмерная виртуальная модель

сам -компьютерное обеспечение изготовления

САЕ - программный комплекс расчёта биомеханики

#### **ВВЕДЕНИЕ**

Актуальность темы диссертации. В настоящее время во всем мире появилась тенденция к увеличению продолжительности жизни населения. Пациенты возрасте старше 50 лет с множественной адентией составляют 40,2% от общего числа лиц, нуждающихся в ортопедическом лечении [Л. Н. Тупикова, 2002; А. С. Баландина, 2009; С. V. Arisan, 2013] Лица более молодого возраста составляют 15-20% этой категории [Д. В. Михальченко, 1999; А. В. Возный, 2008; И. Г. Лесовая, 2009; Е. Н. Жулев, 2011; А. Н. Чуйко, 2014; Н. В. Самойлова, 2015]. По данным [Е. А. Волкова, 2016; О. О. Янушевича, 2016] в России 63% пожилого населения нуждаются в протезировании и 35% в удалении зубов. Протезирование дефектов зубных рядов съёмными протезами является одной из актуальных проблем ортопедической стоматологии. Это связано с атрофическими процессами костной ткани челюстей и мягких тканей зубочелюстной системы. После потери необходима последнего зуба соответствующая перестройка условнорефлекторных связей для нормального акта жевания. Следует так же иметь в виду, что с удалением последнего зуба исчезает чувство жевания на естественных зубах, центростремительные импульсы, возникающие В периодонте, нарушают рефлексы, регулирующие мышечное сокращение. Для нормального акта жевания после потери последнего зуба необходима соответствующая перестройка условнорефлекторных связей. Поэтому оставшийся одиночно стоящий зуб, используют в качестве опоры для частичного пластиночного протеза, особенно у пациентов, никогда не пользовавшихся съёмными протезами [С. И. Криштаб, 1986; С. Б. Улитовский, 2009; А. Г. Аболмасов, 2011; Е. Н. Жулев, 2011]. При традиционных методах ортопедического лечения фиксация съёмных протезов недостаточна, особенно при неблагоприятных условиях протезного ложа. Фиксация и стабилизация протеза снижаются из-за анатомо-физиологических условий протезного ложа даже при качественно изготовленных протезах. Съёмные зубные протезы снижают качество жизни пациентов, заставляют их чувствовать свою неполноценность, оказывают отрицательное моральное воздействие на человека

[В. Н. Копейкин, 1998; А. Rack, 2010]. Для фиксации протезов применяются разнообразные системы: кламмеры, замковые крепления, балки, телескопические коронки [М. Р. Ахмедов, 2002; А. А. Кулаков, 2002; Ю. Г. Ермолаев, 2007]. Повышение функциональной эффективности съёмных протезов при множественной адентии в последнее время стало возможным благодаря исследованиям в области внутрикостной имплантации [М. З. Миргазизов, 1991; М. П. Харитонов, 2004; В. Н. Трезубов, 2011; А. А. Калбаев, 2012; А. А. Иванов, 2013; А. П. Матвеев, 2015; Р. М. Нуритдинов, 2020]. Особое место по уровню изученности занимают вопросы создания дополнительных опор с помощью имплантатов для фиксации частичных съёмных протезов [Т. Г. Робустова, 2010; А. А. Калбаев, 2012; В. Brown Gregory, 2018].

Таким образом, совершенствование методов протезирования пациентов с множественной адентией, в том числе с применением имплантатов для улучшения фиксации является актуальной задачей современной ортопедической стоматологии.

Связь темы диссертации с приоритетными научными направлениями, крупными научными программами (проектами), основными научно-исследовательскими работами, проводимыми образовательными и научными учреждениями. Тема диссертационной работы является инициативной.

**Цель исследования.** Совершенствование функциональной эффективности частично-съемных зубных протезов у пациентов с множественной адентией при неблагоприятных условиях фиксации съёмного протеза с использованием методов внутрикостной имплантации.

#### Задачи исследования:

- 1. Изучить частоту множественной адентии у пациентов с неблагоприятными условиями протезного ложа для фиксации протеза по данным обращаемости.
- 2. Провести биомеханическое моделирование (в эксперименте) для обоснования применения дентальных имплантатов в качестве дополнительной опоры базиса съемного протеза

- 3. На основе биомеханического анализа изучить возможность применения амортизирующего слоя на базисе протеза для улучшения фиксации частичносъёмных протезов.
- 4. Провести сравнительную оценку эффективности протезирования традиционным и модифицированным способом с применением имплантатов как опоры и амортизирующего слоя на базисе протеза.

#### Научная новизна полученных результатов:

- 1. Впервые в Кыргызской Республике проведено биомеханическое математическое моделирование точек опоры и количества дентальных имплантатов, что позволило улучшить фиксацию съёмного протеза.
- 2. Установлено, что применение дентальных имплантатов равномерно распределяет жевательное давление, повышает надёжность фиксации съёмных протезов у пациентов с множественной адентией при неблагоприятных условиях протезного ложа.
- 3. Выявлено, что использование амортизирующего эластичного слоя в конструкции частичного съёмного протеза способствует герметизации протезного ложа и зон контакта опорных элементов, что обеспечивает монолитность конструкции и значительно усиливает фиксацию протеза при множественной адентии в условиях неблагоприятного протезного ложа.
- 4. Обоснована эффективность протезирования пациентов в сложных клинических ситуациях с множественной адентией применением дентальных имплантатов.

#### Практическая значимость полученных результатов:

- 1. Разработанный метод применения дентальных имплантатов при множественной адентии внедрен и применяется при ортопедическом лечении в Городской стоматологической поликлинике № 3 г. Бишкек [акт внедрения от 13.02.2023 года].
- 2. Результаты исследования протезирования пациентов с множественной адентией при неблагоприятных условиях для фиксации протеза применяются в

учебно-лечебно-научном медицинском центре Кыргызской государственной медицинской академии им. И. К. Ахунбаева [акт внедрения от 25.06.2023 года].

3. Методы диагностики и адаптирования имплантатов у пациентов с множественной адентией включены в рабочую программу усовершенствования практических навыков у врачей-стоматологов-ортопедов и врачей-стоматологов-хирургов по циклу: «Актуальные проблемы имплантологии» в Кыргызской государственной медицинской академии им. И. К. Ахунбаева [акт внедрения от 20.06.2023 года].

#### Основные положения диссертации, выносимые на защиту:

- 1. Использование метода биомеханического математического анализа при протезировании при множественной адентии с применением дентальных имплантатов дает возможность улучшения фиксации съёмных протезов.
- 2. Обоснованная методика биомеханического моделирования клинических ситуаций на основе амортизирующего слоя при проведении ортопедического лечения ускоряет процессы адаптации тканей протезного ложа и снимает внутреннее напряжение в базисе протеза.
- 3. Применение дентальных имплантатов в качестве дополнительной опоры и амортизирующего слоя на базисе является клинически обоснованным при протезировании с целью улучшения фиксации съемных протезов.

Личный вклад соискателя. Личное участие автора диссертации охватывает весь процесс обработки материалов, анализ, планирование и обобщение данных научной литературы, проведение комплексного анализа результатов клинико-функциональных исследований, подготовку компьютерных моделей математического расчёта напряжений, ДЛЯ статистическую обработку результатов исследования и написание статей.

**Апробации результатов диссертации**. Материалы диссертации доложены и обсуждены на: X конгрессе стоматологов Кыргызской Республики «Кыргызстан стоматологиясы», г. Бишкек, 16 ноября 2013 года (Бишкек, 2013); международной научно-практической конференции «Актуальные вопросы детской стоматологии», посвященной 40-летию кафедры детской стоматологии

Кыргызской государственной медицинской академии им. И. К. Ахунбаева и 75летию профессора Г. С. Чолоковой, г. Бишкек, 15-16 сентября 2023 года (Бишкек, 2023); XVI съезде стоматологической ассоциации Кыргызской Республики «Актуальные вопросы стоматологии», г. Бишкек, 25 ноября 2023 года (Бишкек, 2023) и подтверждены сертификатами.

**Полнота отражения результатов диссертации в публикациях.** Результаты диссертационной работы отражены в 7 научных статьях, из них 3 - рецензируемых изданиях, индексируемых системами РИНЦ с импакт-фактором не ниже 0,1.

Структура и объём диссертации. Диссертационная работа состоит из введения и обзора литературы, методологии и методов исследования, главы результатов собственных исследований, заключения, практических рекомендаций, списка использованной литературы и приложений. Работа изложена на 129 страницах компьютерного текста, иллюстрирована 52 рисунками (в том числе фото, диаграммы) и 9 таблицами. Библиографический указатель содержит 163 источника русскоязычных и иностранных авторов и включает собственные публикации соискателя.

#### ГЛАВА 1.

# СОВРЕМЕННЫЕ ПОДХОДЫ К ОРТОПЕДИЧЕСКОМУ ЛЕЧЕНИЮ С МНОЖЕСТВЕННОЙ АДЕНТИЕЙ ПРИ НЕБЛАГОПРИЯТНЫХ УСЛОВИЯХ ПРОТЕЗНОГО ЛОЖА (ОБЗОР ЛИТЕРАТУРЫ)

# 1.1 Распространённость множественной адентии с неблагоприятными условиями протезного ложа. Методы ортопедического лечения

По исследований, данным многочисленных изучающих стоматологический населения, статус взрослого отмечен рост заболеваний распространённости стоматологических нуждаемости в ортопедическом стоматологическом лечении [62; 5; 114; 128]. научной литературы свидетельствуют, что В ортопедической стоматологической помощи нуждается более 70% взрослого населения [15; 5; 6; 72].

Для планирования стоматологической ортопедической помощи важно знать объем и динамику распространения частичной потери зубов среди населения. Исследования в этом направлении проводятся, но они немногочисленные [30; 65; 40; 66; 11; 101; 123; 134].

Удаление зубов ведёт к возникновению дефекта зубных рядов и деформации альвеолярной части челюстей с нарушением функции жевательного и речевого аппарата. Дефекты зубных рядов — широко распространённая патология зубочелюстной системы. При этом нуждаемость в протезировании съёмными протезами составляет 33-38% [54].

Съёмные зубные протезы часто оказываются функционально неполноценными из-за плохой фиксации во время разговора, разжевывания пищи [112; 107; 123; 140]. Отказ от пользования съёмными протезами среди взрослого населения составляет от 20 до 56,1% [87; 56; 94; 104; 33].

По данным П. Т. Танрыкулиева (2004) [111] и других авторов до 20% пациентов не могут пользоваться съёмными протезами. Приходится изготавливать протезы повторно из-за некачественного предварительного ортопедического лечения. Основной причиной, приводящей к необходимости преждевременной замены съёмных конструкций, являются низкое качество ортопедического лечения [94; 117; 39; 33; 62; 105; 81; 109; 112; 72; 133].

Клинические наблюдения и данные научной литературы свидетельствуют о росте количества пациентов, нуждающихся в съёмных конструкциях зубных протезов [106; 22; 64; 136].

Количество лиц, нуждающихся в съёмном протезировании, возрастает из года в год и имеет тенденцию к омоложению [17; 79; 120]. По мнению В. Н. Копейкина (1998), высокая потребность в ортопедическом лечении съемными зубными протезами объясняется осложнениями после терапевтических вмешательств, неиспользованием корней зубов, недостаточной материальнотехнической оснащённостью ортопедических отделений и зуботехнических лабораторий [43]. Ряд авторов Гаврилов Е. И., 1987; Верховский А. Е., 2015; Urban V. М., 2009 связывают большую потребность населения в съёмных протезах с преждевременной их заменой из-за непригодности к использованию [30; 24; 151].

В последнее десятилетие отмечается выраженный демографический сдвиг в сторону увеличения числа людей пожилого возраста, который достигает 65% и выше. В связи с увеличением доли людей пожилого и старческого возраста в современном обществе повышается потребность в зубном протезировании, в том числе и в съёмном [62; 4; 113; 68; 85].

Исследования И. К. Луцкой (2020) выявили, что у пациентов стоматологических клиник г. Смоленска и Смоленской области в возрасте 30-49-50 лет и старше, дефекты зубных рядов (ДЗР) имеют 76,6%, 3,3% и 8,5%, 3,6% соответственно, до 40% обследованных г. Москвы требуются частичные съёмные протезы [71]. По данным эпидемиологических исследований, в Алтайском крае 52% населения в возрасте 50 лет не имеют половины зубов,

следовательно, этим пациентам показано изготовление съёмных зубных протезов. Нуждаемость в ортопедическом лечении пациентов съёмными протезами высокая и составляет 33-65% [55; 9; 22; 7; 95].

Сходная ситуация наблюдается и при анализе различных общенациональных эпидемиологических обследований, проводимых в развитых странах. При этом прогнозируются снижение числа лиц с полной потерей зубов и увеличение количества людей, сохранивших несколько зубов в пожилом возрасте [135].

При частичной потере зубов принципиально решающим фактором, определяющим, применять ли съёмные протезы, является протяжённость ДЗР. Ортопедическое лечение при частичной потере зубов часто осуществляется съёмными пластинчатыми протезами благодаря простой и технически достаточно легко выполнимой конструкции. Конструкция съёмного протеза определяется топографией и величиной дефекта, строением сохранившихся зубов, характером слизистой оболочки протезного ложа, формой и степенью атрофии альвеолярного отростка и др. [25; 77; 74].

Недостатки этих протезов:

- крупный базис,
- несовершенство кламмеров для фиксации.

Социально-экономические факторы и очевидные популяционные тенденции наводят на мысль, что широкое использование частичных съёмных протезов сохранится в ближайшем будущем [5; 22; 38; 41; 43; 44; 109; 148].

При множественной потере зубов, когда дуговой протез противопоказан, пластинчатый протез является единственной приемлемой конструкцией. Планирование, систематизация дефектов зубных рядов при врождённом множественном отсутствии зубов, мероприятий по санации полости рта основывается на тщательном клиническом и рентгенологическом обследовании [38; 31; 124; 83].

До 30-40% пациентов, обратившихся к стоматологам ортопедам, имеют неблагоприятные условия для протезирования. Ортопедическое лечение

частичной утраты зубов зачастую осложняется повышением подвижности зубов, резким изменением в структуре слизистой оболочки и строении альвеолярной части нижней челюсти под базисом пластинчатых протезов [58; 167]. Несколько неудачных попыток протезирования пластинчатыми протезами приводят к возникновению участков резкой атрофии тканей протезного ложа, а зачастую к образованию рыхлой податливой и подвижной слизистой оболочки [8].

Эти попытки приводят к оседанию протеза при действии вертикальных жевательных сил, сдавливанию десневого края, образованию патологических карманов и оголению корней зубов. При протезировании пациентов съёмными протезами, у которых имеются неблагоприятные условия протезного ложа, недостаточна их фиксация. Поэтому главной задачей протезирования является рациональный выбор системы их фиксации: кламмеры, замковые крепления, телескопические коронки, балки и др. [116; 71]. Неблагоприятные условия при малом количестве сохранившихся зубов для фиксации протезов требуют дополнительных исследований и разработок при протезировании частичными съёмными протезами.

Встречаются научные публикации, посвящённые замковой и телескопической фиксации съёмных протезов [104; 163]. В этих публикациях обсуждаются технологические аспекты или негативные клинические проявления этих методов фиксации. Следует отметить, что в них не рассматривается механизм их происхождения.

Анализ имеющейся литературы показал, что ортопедическое лечение пациентов с дефектами зубных рядов с применением съёмных протезов с замковой фиксацией недостаточно изучен и требует дальнейшего рассмотрения [147].

Качественное протезирование съёмными пластинчатыми протезами зависит от уровня сохранности тканей протезного ложа, состояния здоровья пациента (психоэмоциональные расстройства, функционального состояния

внутренних органов и систем), конструктивных особенностей съёмного протеза и качества используемых материалов [113; 6; 94; 166].

При планировании и выборе конструкции, замещающей дефекты зубных рядов, необходимо решить ряд задач:

- обеспечить фиксацию съёмного протеза,
- восстановить жевательную эффективность,
- исключить побочные действия протеза на ткани протезного ложа,
- обеспечить удобство при эксплуатации протеза и при проведении гигиены полости рта,
  - добиться максимального эстетического эффекта [5; 7; 24; 69; 53; 163].

Из-за простоты технологии изготовления и дешевизны обычно используют частичные съёмные пластинчатые протезы с кламмерной системой фиксации. При этом встречаются следующие осложнения:

- переломы базиса протеза, достигающие от 3 до 15 % поломок в первый год пользования протезами [100; 68].
  - поломки кламмера за 3 года диспансерного наблюдения 49 %,
- патологическая подвижность опорного зуба и, как следствие, его удаление.

Даже при качественно изготовленных протезах добиться их хорошей фиксации и стабилизации не всегда возможно, что обусловлено сложными анатомо-физиологическими условиями протезного ложа. Вопросами улучшения фиксации и стабилизации съёмных пластиночных протезов занимались многие учёные. Для решения данной проблемы они предлагали такие методы, как применение имплантатов, магнитов, костной пластинки для увеличения высоты альвеолярного гребня [95; 167;164].

Неблагоприятные условия для фиксации протезов при малом количестве сохранившихся зубов требуют дополнительных исследований и разработок при протезировании частичными съёмными протезами. Повышение эффективности ортопедического лечения больных с малым количеством

оставшихся зубов требует оптимизации способов фиксации съёмных протезов [82; 77; 50; 52; 31; 141; 150; 151].

Одной проблем ИЗ ортопедической стоматологии является протезирование больных со значительной и/или неравномерной атрофией костной ткани альвеолярного гребня после частичной или полной потери зубов. С внедрением в клиническую практику метода направленной регенерации костной ткани путём имплантации биосовместимых материалов в область атрофии костной ткани удалось получить высокие результаты реабилитации таких больных. Для ускорения процессов остеогенеза было много остео-пластических предложено материалов органического неорганического происхождения [94; 137; 88; 102].

Болонкин И. В. [И. В. Болонкин, 2011] в 2011 году предложил использовать дентальную имплантацию как неотъемлемую часть врачебного арсенала ортопедической стоматологии. Полученные им данные полностью согласуются с исследованиями В. Н. Олесовой (1993, 2006), М. З. Миргазизова (1993), С. Ю. Иванова (2004), Z. J. Linkow (2000) [90; 82; 50; 151]. Протезирование при отсутствии зубов с опорой на дентальные имплантаты стало считаться неотъемлемой частью ортопедического лечения [146]. Однако, если удаленный зуб своевременно не возмещается путём ортопедического лечения, то это ведёт к повторным нарушениям в зубочелюстной системе, которые затрудняют выполнение дентальной [61; 129]. имплантации ухудшают eë прогноз Показания противопоказания имплантации устанавливают на К основании общемедицинского анамнеза и обследования, оценки псих-эмоционального состояния и стоматологического статуса пациента [92].

Основными вариантами имплантационного лечения у больных с выраженной атрофией считаются следующие:

• Протезирование с опорой на обычные имплантаты, установленные в ментальной области;

• Применение коротких осесимметричных винтовых имплантатов [64; 73].

Анализ литературных данных показывает, что определить достоверно и бесспорно наилучший из перечисленных вариантов невозможно [154; 145]. Все большее количество исследователей склоняются к мнению о том, что при дентальной имплантации у больных с выраженной атрофией альвеолярного отростка следует стремиться к облегчению лечебного процесса, уменьшая его травматичность и протяжённость [159].

Ранее считалось, что применение дентальных имплантатов уменьшенной длины ухудшает результаты зубного протезирования, однако современные исследования опровергают этот вывод [152]. Считается, что короткие рассматривать как целесообразную альтернативу имплантаты нужно костнопластическим операциям. Зубное протезирование у больных с выраженной костной атрофией с опорой на короткие имплантаты много преимуществ для пациента и врача. Появились данные, что наилучшие результаты лечения достигаются при помощи имплантатов с пористой поверхностью применительно к осесимметричным дентальным имплантатам длиной в 7 миллиметров и менее [147]. Их высокая клиническая эффективность обусловлена структурой поверхности, обеспечивающей врастание костной ткани [J. H. Yun, 2011] [163]. Многие авторы отдельным пунктом выделяют проблему фиксации частичных съёмных протезов при одиночно сохранившихся зубах, так как протезирование при одиночно сохранившихся зубах является сложной задачей, которая определяется клинико-анатомическими условиями полости рта.

С удалением последних пар зубов антагонистов исчезает фиксация высоты прикуса, снижается межальвеолярная высота в положении центральной окклюзии. Это влечёт за собой преждевременную перестройку нервно-рефлекторной регуляции, нарушение сознательного программного контроля функции жевательных мышц, усложняется точность определения центральных соотношений челюстей [20; 32; 48; 50; 51; 54; 158; 121; 128].

По данным А. Дж. Мурзалиева (2008) [80] выбор конструкции имплантатов осуществляется дифференцированно с учётом высоты И объёма альвеолярного отростка челюстей, особенностей расположения канала, проекции нижнечелюстного соседних Привыкание к зубным протезам, изготовленным с опорой на трёх и более имплантатах, наступает в течение 10-12 месяцев.

Литературные данные свидетельствуют о том, что протезирование с использованием винтовых имплантатов более надёжно и перспективно [82; 55; 145]. Интересные данные были получены А. Р. Цоем (2008). Им показано, что применение цилиндрических имплантатов с памятью формы обеспечивает высокую эффективность лечения больных с включёнными и концевыми дефектами при частичной вторичной адентии челюстей. Это происходит за счёт их прочной первичной самофиксации в кости, высокой устойчивости одноэтапного хирургического вмешательства, .

Р. С. Алымбаев (2011) [8] считает, что метод фиксации протезов с применением элемента мини-гвоздика с шипами способствует более качественной установке субпериостальных имплантатов в ситуации со сложным анатомическим рельефом челюстей, поскольку может ставиться в любом пространственном положении простым вдавливанием в костную массу, что улучшает результаты функционирования имплантатов.

Следует отметить, что для большей части населения с множественной адентией имплантаты малодоступны [86; 100; 47; 8]. Широкое внедрение имплантологии невозможно по следующим причинам:

- отсутствие современных клинических баз имплантологии,
- отсутствием достаточной мотивации населения к использованию данного метода ортопедического лечения [47; 142].

Таким образом, при неблагоприятных условиях протезного ложа для фиксации съёмного протеза нужно изготавливать съёмные протезы с опорой на имплантаты.

# 1.2 Биомеханическое и клиническое обоснование применения дентальных имплантатов для фиксации съёмных протезов при множественной адентии с неблагоприятными условиями протезного ложа

Существует много факторов, влияющих на успех имплантационного лечения, что становится почти невозможным сравнить одну концепцию лечения с другой. Однако можно использовать базовые понятия механики, чтобы обеспечить инструменты для последовательного описания и понимания физиологических и нефизиологических нагрузок. Использование биомеханических принципов поможет определить, к какому виду лечения соответствует большой риск в течение длительного времени [138].

Протез не только замещает утраченные зубы, но и может оказывать побочное действие. Поэтому необходимо знать, какую реакцию дадут ткани протезного ложа и пародонта опорных зубов на жевательную нагрузку, передаваемую через систему фиксации [49; 52; 76].

Для получения объективной информации о состоянии зубочелюстной системы предложены методы биомеханического анализа с применением моделирования. Изучение математического влияния ортопедических конструкций на опоры с применением математического моделирования позволяет определить величину предельно допустимых физиологических нагрузок на пародонта зубов [137; 154]. Математическое моделирование при заболеваний российские лечении стоматологических применяли исследователи [20; 50; 73; 131].

Основой биомеханического анализа является создание биомеханической модели, расчётной схемы (по терминологии, принятой в сопротивлении материалов и строительной механике – компьютерного формата) [161; 161].

Наличие дефекта в зубном ряду приводит к изменению распределения нагрузки на опорные ткани. Это происходит из-за ослабления пародонта. Перед выбором ортопедической конструкции необходимо теоретически его обосновать, оптимально распределить нагрузку между имеющимися опорными

элементами [8]. Это позволит прогнозировать успешное функционирование избежать осложнений. Применение всей системы И математического моделирования позволяет определить величину предельно допустимых физиологических пародонте зубов, изучить нагрузок на влияние ортопедических конструкций на опоры [141; 142].

Анализ зависимости клинической эффективности имплантатов от биомеханических условий их функционирования отражён в немногочисленных публикациях. Он касается влияния количества, длины первичной стабильности имплантатов на функциональную нагрузку и на состояние костной ткани.

Отсутствуют сведения о влиянии:

- локализации имплантатов в разных отделах челюсти,
- объема костной ткани в месте имплантации,
- конструкции протезов на имплантатах и их окклюзионных взаимоотношений,
- особенностей функциональной нагрузки на клинические результаты [44].

Дентальные имплантаты создают условия для несъемного протезирования при обширных дефектах зубных рядов и полной вторичной адентии, а также повышают фиксацию съёмных протезов [15; 75; 61; 150].

В доступной нам литературе много публикаций, в которых описана клиническая эффективность разных видов имплантатов, методики имплантации, методы обследования и установки имплантатов, лечение основного осложнения имплантации – периимплантита.

Наиболее информативным и перспективным экспериментальным методом изучения биомеханики нижней челюсти является трёхмерное математическое моделирование [47; 73; 34; 95; 52; 165]. Математические модели помогают врачу вычислить напряжённо деформированное состояние в костной ткани при нагрузке имплантатов. В расчётах разного уровня сложности и соответствия клиническим условиям (большинство моделей ограничены сегментом нижней челюсти) дают разноречивые результаты. Также редко проводится сравнение

биомеханических показателей при нагрузке интактного зубного ряда и наличии опор имплантатов.

Е. Н. Чумаченко в соавторстве в 2003 году использовал метод для разработки совмещённой конструкции протезов, рассчитав прочностные параметры. На математической модели фронтального отдела нижней челюсти было проведено изучение напряжений и деформаций в кортикальной и губчатой костной ткани вокруг имплантатов с помощью компьютерных технологий. На моделях полных съёмных зубных протезов изучили напряжение при вертикальных и горизонтальных нагрузках. Определено число дентальных имплантатов, оптимальное для опоры съёмного покрывного протеза с учётом клинической ситуации. Разработана методика количественного прогноза распределения функциональных нагрузок в нижней челюсти и зубных рядах в различных конструкциях зубных протезов, опирающихся на дентальные имплантаты, снабжённые различными системами фиксации [125.]

конструкция зубного Спроектированная протеза является воспроизведением точной копии или чертежом изготавливаемого протеза. Расчётная схема представляет собой виртуальную модель поведения системы «жевательный аппарат – зубной протез – имплантат – кость», которая позволяет понять общие принципы создания протезной конструкции в той или иной клинической ситуации [В. Л. Параскевич, 2002] [90]. Любой зубной протез, имплантаты, должен поддерживать биомеханическое опирающийся на равновесие как биотехнической, так и всей зубочелюстной системы [90; 126; 134].

Задача зубного протезирования на имплантатах состоит в создании условий, при которых под воздействием эквивалентной нагрузки в окружающий имплантат костной ткани не будет возникать чрезмерное напряжение, вызывающее резорбцию или ускоренную атрофию кости.

В основе объединения имплантата с костной тканью лежит не только генетически запрограммированные механизмы регенерации кости, но и самопроизвольно протекающие физико-химические реакции. Поэтому

управление процессами костной интеграции сводится к созданию условий, обеспечивающих запуск биологических механизмов репаративной и физиологической регенерации кости, а также формирование соединительнотканного барьера на уровне слизистой оболочки десны [90].

В процессе онтогенеза И филогенеза сформирована уникальная зубочелюстная система, в которой жевательная нагрузка 800 Η, приходящаяся на тонкий и чрезвычайно хрупкий эмалевый колпачок, не вызывает трещин и разрушения эмали. Напряжения, которые при этом возникают, перераспределяются и убывает как в самой эмали, дентине, коронковой и корневой частях зуба, так и в тканях пародонта. Оптимальной по направлению считают нагрузку, которая совпадает с анатомической осью зуба. Напряжения, возникающие при жевании, через кортикальную пластинку альвеол зубов в значительной степени гасятся в спонгиозной ткани челюстей. Другая часть напряжений через компактную пластинку и губчатое вещество челюстей передаётся на костную ткань черепа человека, где происходят окончательное перераспределение и гашение всех нагрузок. Кроме того, в точках крепления жевательных мышц во время функционирования возникают и формируются напряжения, которые перераспределяются в костной ткани лицевой и мозговой частей черепа.

Сравнение собственных напряжений зуба и деформаций тканей пародонта, возникающих при жевательной нагрузке, и перемещений относительно десны показывает, что крепление зуба в альвеоле может быть отнесено к типу упругих оснований, снабжённых деформирующей системой.

Максимальных окклюзионных нагрузок больше в области моляров и снижается по направлению к фронтальной области полости рта. Нагрузка в резцовой области составляет примерно 24-35 H/cм<sup>2</sup>, в области клыков – 32-69 H/cм<sup>2</sup>; в области моляров – 87,5-172,5 H/cм<sup>2</sup>. Wilmes B. в 2008 году проводил оценку окклюзионных нагрузок математическим способом, используя плечо рычага III класса, где в качестве точки опоры выступали мыщелки, а силу

обеспечивали жевательные и височные мышцы [166]. Вышеуказанные цифры были получены при математических расчётах и путём прямых измерений [148]. Имплантат вызывает естественную реакцию живых тканей к чужеродному телу. Ee колеблется выраженность В широких пределах И биологической совместимости и приживления. Химическая среда в живых тканях оказывает выраженное влияние на характеристики материала, из которого изготовлен имплантат, т. е. наблюдается взаимодействие биологической среды и имплантата [46]. Успешное функционирование имплантатов возможно при правильном распределении напряжений как в имплантате, так и в его опоре кости челюсти, которые определяются их упруго-эластическими свойствами. С целью определения биомеханической совместимости и концентрации напряжений в кости челюсти при функциональной нагрузке можно применить метод математического моделирования. Полную информацию о закономерностях передачи нагрузок в зубочелюстной системе можно получить с помощью математической модели, созданного на основе результатов изучения физических свойств тканей, которая представляет собой систему уравнений, описывающих форму, свойства и особенности строения зуба и окружающих его тканей [84; 75; 18; 121; 28; 98; 47; 149]. Основным элементом кости, воспринимающим нагрузку, является компактная ткань, образованная из костных ламель, плотно уложенных в определённом порядке и соединенных мукоидным веществом [47].

Закон Вольфа гласит: «Каждое изменение формы функции сопровождается определёнными внутренней ТОЧНЫМИ изменениями ee архитектуры точными эквивалентными изменениями наружной И конфигурации в соответствии с математическими законами». Этот феномен происходит во всей скелетной системе, о чем свидетельствует 15%-ное уменьшение объёма кортикальной кости и интенсивная потеря трабекулярной кости при иммобилизации конечности на 3 месяца. Сообщается также об уменьшении кортикальной кости на 40 % и трабекулярной кости на 12 % как реакция на бездействие. Общая потеря объёма и плотности кости в области удалённого зуба происходит вследствие уменьшения микронапряжения в кости. На уменьшение плотности кости влияет:

- время, в течение которого область была без зубов,
- первичная плотность кости, ее кривизна,
- прикрепления мышц,
- функция пародонта до и после потери зубов,
- системные заболевания.

Orban показал уменьшение объёма трабекулярной кости вокруг верхних моляров, у которых отсутствуют зубы-антагонисты в сравнении с зубами с окклюзионными контактами [148].

Кратковременная нагрузка на зуб воспринимается жидкостью, заполняющей полость, в которой расположены волокна периодонта. При постоянном или циклическом давлении уменьшается объем тканей пародонта, происходит вытеснение жидкости из них через «предохранительный клапан», образованный волокнами, охватывающими зуб в верхней части десны. При действии нагрузок, не превышающих допустимый предел, жидкость перетекает по внутренние полости альвеолы зуба. При силовом воздействии амортизации в системе костная ткань – имплантат, как при интактном пародонте, не будет [47].

Наличие данных о напряжениях и деформациях в костных структурах челюстей позволяет улучшить результаты установки имплантатов. По мнению В. А. Загорского, формирование костной ткани и прослойка бесклеточного вещества, межуточного которой часть остеобластов В ДО трансформировалась в полноценную кость, позволяет им выполнять функции тканей пародонта. В этом случае напряжения от супраструктуры через имплантат будут равномерно перераспределяться в костной ткани. Важно, чтобы модуль упругости имплантата был близок к модулю упругости дентина или внутренней кортикальной пластинки костной ткани челюстей. Особое значение имеют контактный остеогенез имплантата и костной ткани и соотношение их модулей упругости, позволяющие предотвратить скопление паразитарных напряжений на границе между ними. Под воздействием жевательных и окклюзионных нагрузок в

окружающей имплантат губчатой костной ткани будет формироваться компактная костная ткань, сходная с таковой у альвеолы удалённого зуба. При этом часть костной ткани будет выполнять функцию периодонта. Поэтому ранняя нагрузка после заживления будет полезна для более быстрой остео-интеграции имплантата и формирования ламель костной ткани [47].

Основными критериями при планировании и проведении имплантации являются:

- качественные и количественные характеристики костной ткани челюстей
- ширина костной ткани альвеолярного отростка в щечно-язычном направлении
- объем костной ткани между корнями соседних зубов, количество костной ткани над нижнечелюстным каналом
  - расстояние до пазухи 8-10 мм
  - уровень резорбции альвеолярного гребня и тела челюстной кости
  - соотношение компактной и губчатых частей костной ткани челюстей
  - толщина кортикальной части кости и ряд других показателей.

Заключение к 1 главе. Приведённые данные научной литературы позволяют заключить, что в настоящее время целесообразность и эффективность протезирования съёмными протезами зависит от их способов фиксации. Срок службы протезов зависит от организма и использования пациентами, от их влияния на деятельность мышц, суставов, состояние пародонта ротовой полости. Поэтому мы использовали законы биомеханики в клинике ортопедической стоматологии. Мы согласны с А. Чуйко, что надо учитывать свойства (качества) костной ткани. На наш взгляд одним из дополнительных методов для эффективного протезирования является математическое моделирование с последующим элементным анализом [123].

#### ГЛАВА 2.

#### МЕТОДОЛОГИЯ И МЕТОДЫ ИССЛЕДОВАНИЯ

**Объект исследования:** 172 пациента с вторичной адентией, 62 - с множественной адентией с неблагоприятными условиями для фиксации съёмных протезов.

**Предмет исследования:** частичные съёмные и условно-съемные протезы при биомеханическом моделировании.

**Методы исследования:** клинические, математическое моделирование, метод биомеханического моделирования; ортопантомографическое обследование; компьютерная томография; технология CAD/CAM; методы статистической обработки.

#### 2.1 Общая характеристика обследованных групп

Работа выполнена на кафедре ортопедической стоматологии Кыргызской государственной медицинской академии имени И. К. Ахунбаева. В соответствии с целью работы было проведено обследование 172 пациентов (по обращаемости), с частичной потерей зубов, из них 62 с множественной адентией с неблагоприятными условиями для фиксации протезов.

К неблагоприятным условиям для фиксации протеза относятся клинические ситуации, при которых невозможно создать трёх или четырехточечную фиксацию протеза и кламмерной линии, проходящую через базис протеза.

Из обследованных 172 пациентов в возрасте от 41 до 74 лет. У всех пациентов перед началом обследования получено информированное согласие на участие в данном исследовании. Обследование проводили по общепринятой методике. Все данные заносились в историю болезни и специально разработанную карту, где учитывались общий анамнез, подвижность зубов, глубина пародонтальных

карманов, форма и степень атрофии альвеолярной части костной ткани, податливость слизистой оболочки (таблица 2.1.1).

Таблица 2.1.1 – Распределение пациентов в зависимости от возраста и пола

Возраст (лет)									Всего		
Пациенты	41-	-50	51-60		61- 70		71- 74				
Показатели	абс.	%	абс.	%	абс.	%	абс.	%	абс.	%	
Мужчины	8	32	10	40	3	12	4	16	25	100	
Женщины	10	27	14	37,8	8	21,6	5	13,5	37	100	
Всего	18	59,0	24	77,8	11	33,6	9	29,6	62	100	

В процессе исследования нас интересовал вопрос о количестве больных, пользующихся зубными протезами. Внимательно изучали качественные параметры ортопедических конструкций, которые отказались носить пациенты и причины дефекта.

Нами установлено, что пользуются частичными съёмными протезами - 56,0 %, а 15,57% - не пользуются протезами (таблица 2.1.2).

Таблица 2.1.2 – Дефекты (частичные, полные) в зависимости от пола возраста в процентах, абс.ч.

Пол	Адентия	41-50		51-60		61-70		71-74		Всего	
		абс.	%	абс.	%	абс.	%	абс.	%	абс.	%
Мужчины	Частичная	6	75	5	50	1	33,3	1	33,3	13	-
	Полная	2	25	5	50	2	66,7	2	66	11	-
Женщины	Частичная	6	60	2	14,3	-	-	-	-	8	-
	Полная	4	40	12	85,7	6	100	4	100	26	-
Всего	Частичная	12	54,14	7	33,3	1	4,16	1	4,16	21	36,2
	Полная	6	16.2	17	45,9	8	21,6	6	16,2	37	63,8

При помощи рентгена мы оценивали состояние костной структуры челюстей в области установления имплантата, требуются ли пред имплантационная подготовка. Подавляющее большинство пациентов имели сопутствующие заболевания сердечно сосудистая система, эндокринная система, желудочно-кишечная система в компенсированной форме.

После проведённого обследования пациенты были разделены на две группы в зависимости от фиксации протеза. Первую группу образовали 32 пациента, протезированные частичными съёмными протезами с непрерывной границей протеза (без кламмеров). Им было изготовлено 13 протезов на верхнюю челюсть и 20 — на нижнюю.

Во вторую группу вошли 30 пациентов, съёмные протезы которых фиксировались при помощи имплантатов, двухэтапные различного диаметра и длины.

Пациенты были протезированы 30 протезами на нижнюю челюсть и 4 протезами – на верхнюю. При этом учитывали биомеханику челюстей и наличие зубов антагонистов. В первую группу вошли пациенты, которые имели антагонисты с здоровым пародонтом, хорошо сохранившимися зубным рядом. Во вторую группу включили пациентов с несъемными протезами. В третью группу включили пациентов, где антагонистами были съёмные протезы.

Пациенты были обследованы нами по описанной схеме до протезирования, через месяц и через 6-24 месяца после наложения протезов. Им было рекомендовано постоянное наблюдение каждые 6 месяцев с целью предупреждения перегрузки имплантатов.

Подготовка к ортопедическому лечению пациентов заключалась в:

- депульпирования зубов, по необходимости;
- проведении инструктажа по гигиене полости рта;
- обучение чистке протезов с индивидуальным подбором материалов и средств гигиены.

Также проводили бактериологическое исследование – получение мазков и посев на питательные среды, анализ на идентификацию флоры и определяли

чувствительности к антибиотикам. Пациентам с заболеваниями пародонта проводилось комплексное лечение, включающее терапевтические, ортопедические и хирургические манипуляции. Довольно часто для достижения необходимых результатов восстановления целостности зубного ряда используют частичные съёмные протезы. В связи с этим при изготовлении частичных съёмных протезов часто возникает момент эффективного выбора ортопедической конструкции профилактического и лечебного назначения. С восстановлением эстетические нормы и внешнего вида пациента, в связи, с чем являются востребованными.

После протезирования пациенты раз в квартал проходили совместный осмотр у хирурга, пародонтолога и ортопеда. Из дополнительных методов применяли изучение диагностических моделей, ортопантомография и прицельная рентгенография челюстей.

Нами было использовано современное стоматологическое оборудование, помогающее врачам получать более информативные сведения о состоянии тканей зубочелюстной системы, например, визиограф (фирма производитель и страна изготовитель), позволяющий выводить рентгеновские снимки на экран компьютера.

Визиограф обладает следующими преимуществами:

- уменьшает лучевую нагрузку на доктора и на пациента;
- улучшает качество изображения;
- обладает высокой скоростью получения снимка;
- имеет возможность сохранения изображения в памяти компьютера, а также быстрого поиска предыдущего снимка пациента;
  - обладает возможностью измерить длину корневого канала;
- имеет функцию передачи снимка через компьютерную сеть для многократного его распечатывания (рисунки 2.1.1; 2.1.2).







Рисунок 2.1.2 – Вид с экрана.

Он позволяет обнаружить причину заболевания, которую сложно распознать при осмотре, расширяет объем и качество информации об изучаемом объекте. Визиограф позволяет детально рассмотреть периодонт изучаемого зуба, так как в отличии от плёночного снимка, картина будет увеличена в 29 раз и представлена в лучшем качестве.

Перед проведением стоматологической имплантации всем пациентам проводили ортопантомографию. Эта методика широко распространена, стандартизирована и доступна. Для ортопантомографии мы использовали панорамный аппарат «Sirona» Германия (рисунок 2.1.3).





Рисунок 2.1.3 – Комплект «Sirona» (Германия). Панорамный аппарат.

При планировании хирургического этапа стоматологической ориентации в простых клинических ситуациях этой информации вполне достаточно. При

необходимости некоторым пациентам было проведено обследование - компьютерным томографом.

При этом обращали внимание на следующие показатели: объем костной ткани, анатомические ориентиры нижнечелюстного канала, состояние костных стенок и слизистой оболочки верхнечелюстного синуса, грушевидное отверстие для установки внутрикостных имплантатов. А также на полноту восстановления трабекулярного рисунка в лунках присутствующих зубов, наличие замыкательной пластинки, состояние краевых отделов альвеолярного отростка вокруг сохранившихся зубов.

**Компьютерная томография** (КТ) исследования пациентов проведено в центре клинических исследований «Неомед» на компьютерном томографе HiSpeed ST/ IGE, в окклюзионных плоскости толщиной 1,0 мм, в режиме спирального сканирования фактором метр 1.0 количество срезов 50-55. Сила тока 180 мА, напряжение 120 кВт.

**Рентгеновская КТ.** Дентальный 3D компьютерный томограф способен получить цифровое увеличенное изображение зубочелюстной системы высокого качества, а также изображение челюстно-лицевой области в объёмном формате. При необходимости можно сканировать как всю нижнюю область лица, так и конкретные группы зубов, придаточные пазухи или каждую челюсть отдельно. Это позволяет контролировать ход лечения на каждом этапе и получать полную информацию о динамике протекания того заболевания. Дентальные компьютерные 3D томографы позволяют производить измерение высокой точности на любом участке исследуемого органа, с большой достоверностью судить о количественных и качественных характеристиках костной ткани в области дефекта определить показания к проведению имплантации.

Такой снимок даёт возможность выявить скрытые патологии, состояние коронок, изменения оттенка, истончения и искривления корней (рисунок 2.1.4).

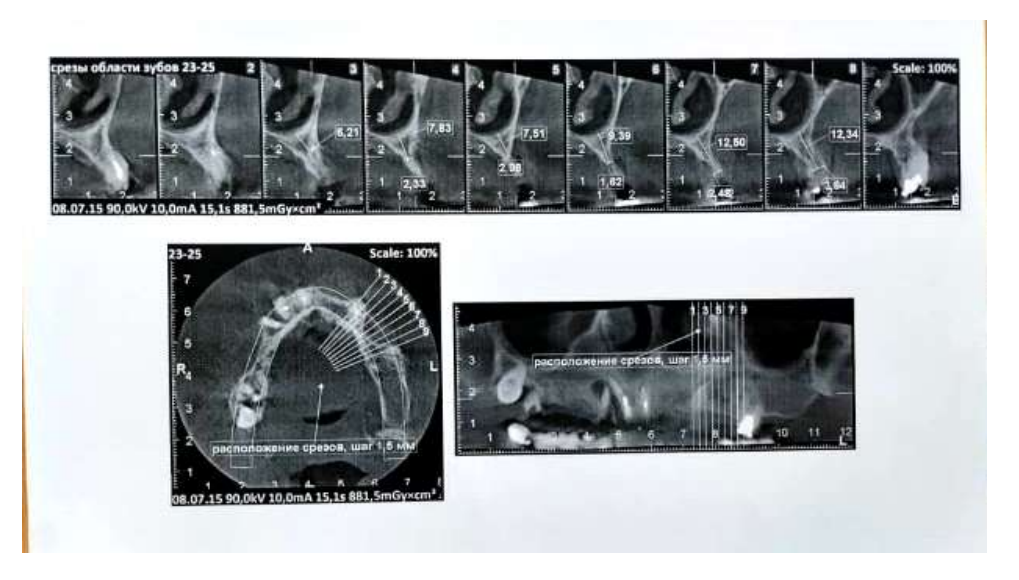


Рисунок 2.1.4—Томографическое исследование.

Создание трёхмерных аналогов анатомических моделей включает три основных этапа:

- получение данных сканирования с помощью компьютерной томографии;
- создание отдельно компьютерной модели для верхней челюсти, нижней челюсти, одной половины челюсти или её фрагмента;
  - воспроизведение физической анатомической модели.

Выполнение всех этапов влияет на качество и точность производства аналогов анатомических моделей.

Полученная модель записывалась на диск в формате STL. Вместе с программой просмотра моделей Dental 3D они пересылались врачу - имплантологии для оценки. Для производства физической анатомической модели использовали технологию 3D печати (3D принтер). Модели челюсти изготавливались из ABS-пластинок, которые обладают прочностью к механическому воздействию. Обработка проводилась программой «Dentoskan» по данным аксиального изображения. На каждую челюсть строилась кривая, проходящая через центр альвеолярного отростка перпендикулярно к этой кривой, программа строит косые тонкие срезы с интервалом в 1,0 мм. Каждый срез трансформируется в отдельное изображение. Помимо этого, программа создаёт 5 развёрнутых фронтальных реформатов в 2,0 мм, на которых цифровые отметки соответствуют кривой на аксиальном снимке.

КТ обследование проводилось с целью уточнения структуры и объёма костной ткани в области предполагаемого вмешательства, определения расстояния до дна полости носа, верхнечелюстных пазух и нижнечелюстного канала, поперечного размера альвеолярного отростка.

#### 2.2 Биомеханические методы при планировании имплантации

Трёхмерное математическое моделирование является информативным экспериментальным методом изучения биомеханики нижней челюсти для определения напряжения деформированного состояния при разных клинических состояниях. С помощью диагностических моделей нами было получены модели, представляющие собой отображение зубного ряда и челюсти, а также тканей, слизистой, которая покрывает костный остов. Модели были сделаны по гипсовым слепкам. По ним проводили антропометрические измерения: ширину альвеолярных дуг, деформацию сохраненных зубов, соотношение зубных дуг. С помощью данного метода проводили оценку успешности ортопедического лечения.

# 2.3 Обоснование выбора и разработка принципов математической модели

В практике ортопедической стоматологии в последнее время часто используются методы для воспроизведения физиологических и технических факторов, поэтому для измерения функциональных напряжений, возникающих в челюстных костях, слизистой десны, супраструктурах имплантатов и съёмных протезах, мы использовали математическое моделирование (Математическая модель — это математическое представление реальности). Метод помогает исследовать свойства и поведение в любых мыслимых ситуациях (преимущества теории), созданию конструкции по протезированию челюстей с одиночно сохранившимися зубами частичными съёмными протезами на естественной опоре и разгружающей на 2-х, 3-х, 4-х имплантатах

на основе широко известных методов решения контактной задачи для линейнодеформируемого основания, моделирующего взаимодействия протеза с десной.

Таким образом, применение информационных технологий и реализация их возможностей для расчёта биомеханических конструкций в системах автоматизации проектирования - перспективное, актуальное и востребованное направление развития ортопедической стоматологии.

Математические модели выполняли на основании клинических данных с использованием современных информационных технологий, с использованием языка программирования создаётся необходимый комплекс входа в вычислительные устройства.

С другой стороны, вычислительные эксперименты с моделями объектов позволяют, опираясь на мощь современных вычислительных методов и вычислительной техники, подробно и глубоко изучать объекты в достаточной полноте, недоступной чисто теоретическим исследованиям (преимущества эксперимента).

Разработка методологии и рационального конструирования ортопедических конструкций, с применением результатов в практической стоматологии позволяет математически описать основы сопротивления или свойство материалов, прочность, жёсткость устойчивость, упругость, качество и размеры материалов:

- 1. Пластину из которого изготовлен частичный протез
- 2. Эластичного слоя
- 3. Состояние десны
- 4. Состояние супра-структуру (опорные элементы)

Рассматриваемый нами сьёмный протез имеет форму подковы и опирается на десну. С точки зрения механики, сьёмный протез рассматривается как пространственная стержневая конструкция, опирающаяся на основание (десну), которую можно считать линейно-деформируемой (рисунок 2.3.1).

Зная, что жёсткость пластины съёмного протеза намного выше десны, можно пренебречь его деформацией по любому направлению и предположить, что все напряжения передаются на основание протеза (протезное ложе).

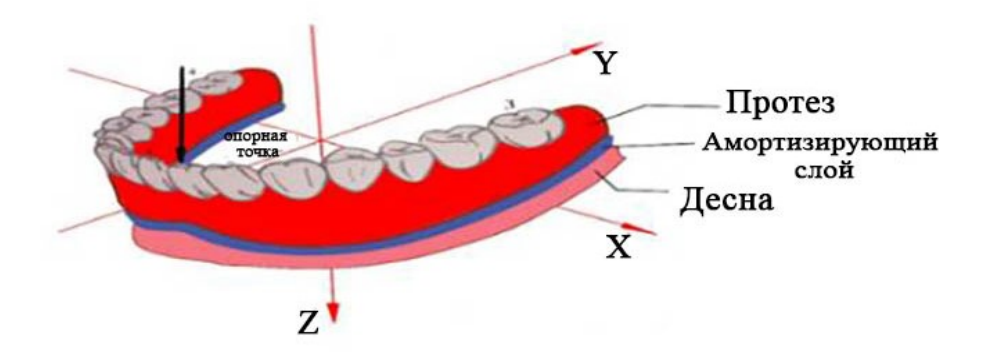


Рисунок 2.3.1 – Схема силового воздействия съёмного протеза на десну.

Рассматривая объект к произвольной точке О на съёмном протезе, нужно приложить усилие «Р» в момент «М», тогда согласно статике (из курса физики «Техническая механика») сила «Р» и момент «М» разложится на три проекции, т.е. главный вектор R на проекции P\_X; P\_Y; P\_Z параллельные выбранной системе осей (рисунок 2.3.2).

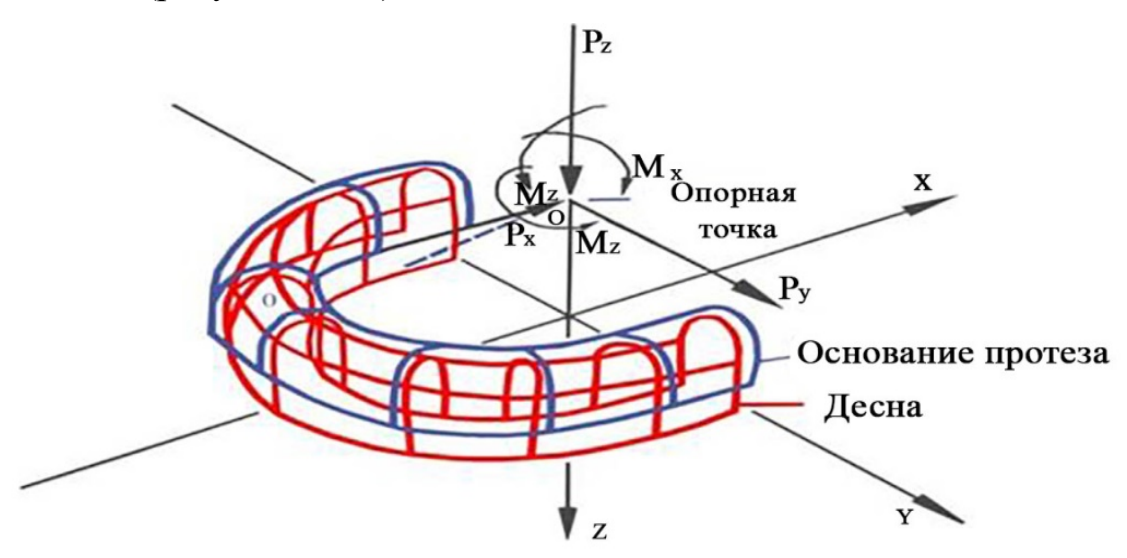


Рисунок 2.3.2 — Схема силового воздействия схемного протеза и десны.

Главный момент «М» на проекции  $M_X$ ;  $M_Y$ ;  $M_Z$  —моменты относительно выбранных осей (рисунок 2.3.3).

Для стабилизации протеза на десне необходимо создать условия сохранения стабильности опорных элементов, т.е. в состоянии равновесия все шесть компонентов главного вектора и главного момента должны уравновешивать допустимое напряжение, взаимодействия, возникающих на площадке контакта.

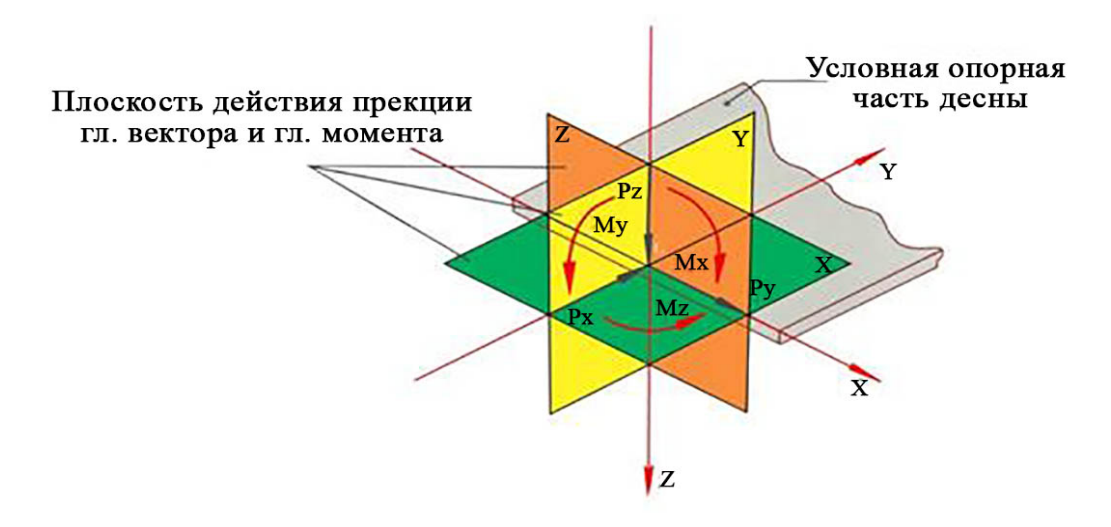


Рисунок 2.3.3 – Схема распределения сил относительно проекций.

Расчёт физических элементов на прочность, жёсткость, устойчивость и упругость является сложной задачей механики, потому что протез представляет из себя сложную пространственную форму. Значит требуется решить эту задачу в пространственной постановке. Данная задача требуют для своего решения сложный математический аппарат интегральных уравнений или системы интегродифференциальных уравнений. Для решения нашей задачи, примем некоторые допущения.

Допущение 1. Одним из главных требований в протезировании является то, что изготовленный съёмный протез должен быть идеален в эксплуатации. Это означает что любые, даже малые смещения, вызванные деформацией конструкции либо основанием, на которое он опирается, отсутствуют. Что позволяют считать малые деформации основания (десны) упругими.

Упругими деформациями считают деформации, когда после снятия силового воздействия, тело восстанавливает первоначальную форму и размеры, так

как выполняется закон Гука. Линейная зависимость между относительными деформациями и напряжением выглядит следующим образом:  $\delta$ =E ( $\Delta$ \_H^H) Где: E - модуль упругости.

Модуль упругости в данной задаче понятие условное. Кость челюсти имеет неоднородную структуру и строение, что обуславливает различные механические характеристики в различных направлениях и местах. Известно, что значение модуля упругости меняется от объёма костной ткани. Все это вносит некоторые трудности при решении этой задачи. Для определения модуля упругости применяют один из двух способов:

1 способ – эксперимент на живом объекте;

2 способ – статический, основанный на предыдущих опытах.

Допущение 2. Вводим допущение о принципе независимости действия сил. Смысл принципа: напряжение и деформации, возникающие в объекте от действия системы силовых факторов равны сумме напряжений и деформаций, возникающих от каждого силового фактора в определённых условиях. Это позволит рассматривать отдельно каждое воздействие от составляющих главного вектора и главного момента внешних сил, воздействующих на съемный мостовидный протез.

Допущение 3. Последнее допущение — это принцип пропорциональности, т.е. если известно напряжение и деформация от силового равного 1, то при действии реального силового фактора достаточно умножить известные величины напряжений и деформаций на реальную величину силового фактора и получить реальную картину напряжённого и деформированного состояния. Смоделируем ситуацию нагрузки на съёмный протез силы Р на нижней челюсти (рисунок 2.3.4).

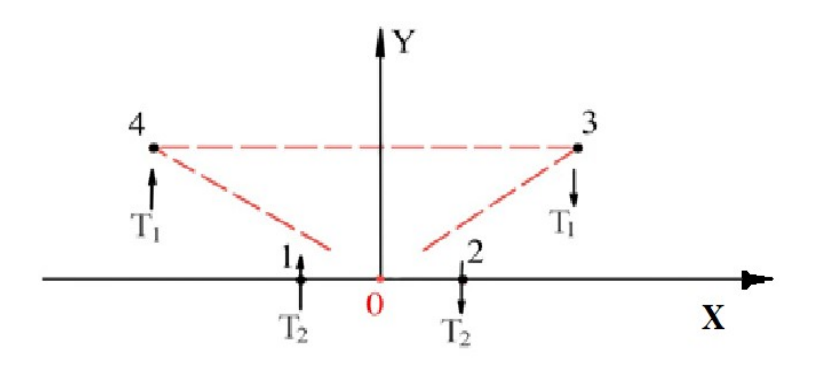


Рисунок 2.3.4 – Схема сил, вызывающих кручение.

Соответственно точка Ø на середине съёмного протеза. Будем считать, эта точка является центром симметрии и находится в непосредственной близости от десны. В эту точку помещаем начало координат. Соответственно данная точка будет являться точкой приложения всех шести компонентов главного вектора и главного момента (рисунок). В данную точку помещаем начало координат.

Для этого нужно на точку 1 и 2 одновременно приложить разные по величине и направленные силы, параллельные оси «У». Это можно сделать только искусственно.

Проекции вектора Р *х* и Ру пытаются сдвинуть (без опрокидывания) протез в горизонтальной плоскости. Проекция вектора Р д пытается вдавить протез в десну. Эта одна из основных видов нагрузки. Характер напряжений и деформаций, возникающих при этом, свойственен и другим видам нагрузки.

Момент Мх и Му стараются повернуть (опрокинуть) протез относительно осей X и Y, но в силу пространственной конструкции и фиксирующего (амортизирующего) слоя это произойти не может. Однако напряжения и деформации при этом возникают.

Рассмотрим действие вертикальной силы Pz. Так нагрузка передается на десну через съёмный протез, имеющий большую собственную жесткость, а прогиб протеза компенсируется амортизирующим слоем, что фиксируется по всей длине гребня десны равномерно.

Соответственно в точке «О», являвшейся ещё центром жесткости протеза, на каждую точку приходится Pz/S, где S – площадь, основания протеза.

Это контактная задача взаимодействия криволинейного, симметричного элемента с пространственным основанием.

Значит все четыре точки на протезе, находятся в равных условиях.

Воспользуемся методом сечений, для этого проведём две секущие плоскости 1-1 и 2-2, расстояние между двумя секущимися плоскостями примем минимальное.

Соответственно для отдельной пространственной конструкции протеза получим плоскую конструкцию, которую с некоторыми допущениями можно представить в условиях плоского напряжённого состояния, т.е. в тензоре напряжений все компоненты с индексом «х» отсутствуют (рисунок 2.3.5).

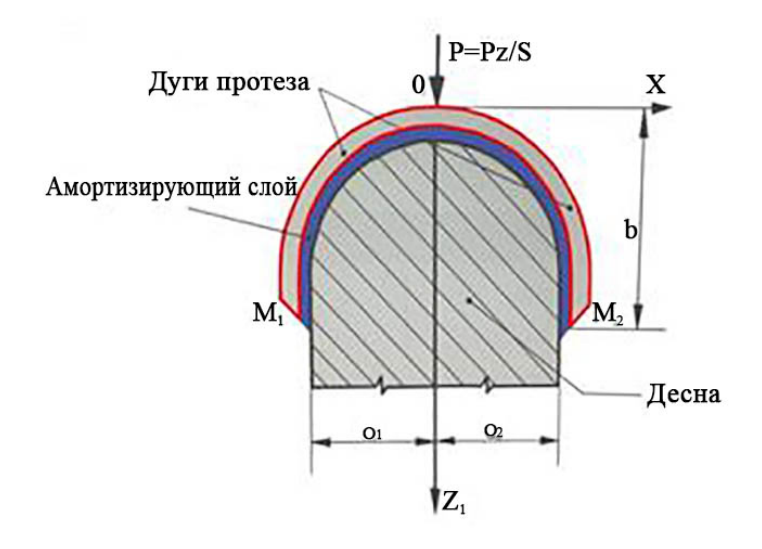


Рисунок 2.3.5 – Сечение системы протез-амортизирующий слой-десна.

Структура основания предполагает, что в зоне контакта возникает только нормальные составляющие контактных напряжений. Назовем их P(x). Данное основание позволяет для расчётов заменить его эквивалентной балкой.

Проведём расчёт данной схемы.

a.

Длина балки равна длине дуги параболы  $M_1O_1M_2$ .

Уравнение параболы  $x^2 = 2pz_1$ ; где  $p = \frac{a_1^2}{2b}$ , таким образом

$$x^2 = \frac{a_1^2}{b} \times z_1$$

Длина полу дуги  $O_1 M = \sqrt{\left(b^2 + \frac{a_1^2}{4}\right)} + \frac{a_1^2}{4b} + ArSh\left(\frac{2b}{a_1}\right)$  обозначим ее через

Следовательно, балка имеет длину 2a. На балку посредине действует сосредоточенная сила  $P=P_z$  / s. (рисунок 2.3.5)

## 2.4 Математическое моделирование системы «съемный протез – десна»

Исходя из вышеприведённых рассуждений сформулируем математическую модель системы "Съёмный протез-десна".

Для этого рассмотрим контактную задачу взаимодействия балки (съёмный протез) с однослойным упругим основанием (десна).

Сформулируем задачу в системе интегро-дифференциальных уравнений в виде [64, 65]:

$$\begin{cases} V_{(x)}^{OC} = kp_{(x)} + \Theta \int_{-a}^{a} \ln \frac{1}{|t - x|} p(t) dt + const; \\ \Theta = \frac{2(1 - \mu_{0c}^{2})}{\pi E_{0c}} \\ \frac{d^{4}W(x)}{dx^{4}} = \frac{1}{E_{\sigma}J} [q(x) - p(x)] \end{cases}$$

И граничные условия:  $W^{11}(\pm a) = W^{u1}(\pm a) = 0$ .

При выполнении граничных условий, в которой 2, 3 и следующие по порядку производные настолько малы, что не оказывают влияние на работу системы, то их можно прировнять к нулю. На основании этого условия дифференциальное уравнение примет вид

$$W(x) = \frac{1}{12E_{\delta}J_{\delta}} \int_{-a}^{a} |x - t^{3}|[q(t) - p(t)]dt + \sum_{i=0}^{3} C_{i}x^{i}$$

 $\Gamma$ де:  $C_i$  находим из граничных условий. При условии совместности деформаций основания и балки, т.е.

 $V^{ ext{oc}}(x)/_{Z1-0} = W(x)$  при  $|x| \le a$  и при относительных координатах. Получим одно интегральное уравнение.

$$\varphi(\tau) + C \int_{-t}^{t} \left[ \ln \frac{1}{S - \tau} + \frac{\partial e}{c} |S - \tau|^{3} \right] \varphi(s) ds = \int_{-t}^{t} (\tau) ds$$

Здесь упругие характеристики балки и основания включены в константы

$$C = \frac{\theta_{0c}}{K}$$
;  $\partial e = \frac{a^4}{12 \sigma^{\times K \times I_{\sigma}}}$ ;  $-1 \le \tau$ ,  $S \le 1$ 

Правая часть уравнения содержит действующую на балку нагрузку

$$\int (\tau) = \partial e \int_{-t}^{t} |S - \tau|^{3} q * (s) dS + \sum_{i=0}^{3} C_{i} \tau^{i} \quad (i=0, 1, 2, 3).$$

Искомой величиной в этом уравнении является контактное напряжение  $\phi(\tau)=P(a\tau)$ .

Методика решения интегрального уравнения второго ряда изложена и заключается в представлении ядра интегрального уравнения в виде ряда по косинусам, с вычислением соответствующих коэффициентов Фурье и рассмотрении отдельно чётному и нечётному решению.

Наша задача соответствует чётному (симметричному) решению, т.е.  $q^*(\tau) = q^*(-\tau)$  и  $\phi(\tau) = \phi(-\tau)$ . Тогда интегральное уравнение упростится к виду

$$\varphi(\tau) + C \int_0^1 [K(|s-\tau) + K(s+\tau|] \varphi(s) ds = \int (\tau);$$

$$0 \le s, \ \tau \le l \ \partial e \quad K(|s-\tau|) = \ln \frac{1}{|s-\tau|} + \frac{\partial e}{c} |s-\tau|^3$$

$$K(|s+\tau|) = \ln \frac{1}{|s-\tau|} + \frac{\partial e}{c} (s+\tau)^3;$$

$$f(x) = \partial e \int_0^1 [(s+\tau)^3 + |s-\tau|^3] q^*(s) ds + c_0 + c_2 \tau^2$$

Билинейное разложение ядра интегрального уравнения имеет вид:

$$k(|s-\tau|) + k(s+\tau) = 2\sum_{m=0}^{\infty} a_m \cos \frac{m\pi s}{2} \times \cos \frac{m\pi \tau}{2}$$

Подставим это разложение в полученное интегральное уравнение и известными приёмами, описанными [64, 65], сведем его к бесконечной системе алгебраических уравнений типа

$$x_k + 2c \sum_{m=0}^{\infty} a_m \times b_{mn} \times x_m = fn$$

Где:

$$x_k + \int_0^1 4(\tau) \cos \frac{n\pi}{2} \tau d\tau; \qquad b_{mn} = \int_0^1 \cos \frac{n\pi}{2} \times i \times \cos \frac{m\pi}{2} \tau d\tau;$$
$$fn = \int_0^1 f(t) \cos \frac{m\pi}{2} \tau d\tau;$$

$$a_{m} = \int_{0}^{2} k(x) \times \cos \frac{m\pi}{2} x dx = \int_{0}^{2} \left[ \ln \frac{1}{x} + \frac{\partial 7}{c} x^{3} \right] \cos \frac{m\pi}{2} x dx = \begin{cases} \sqrt{2(1 - \ln 2)} \\ \frac{2}{m\pi} \left( \sin \pi + \frac{\pi}{2} \right) \end{cases}$$

$$+ \frac{\partial e}{c} \begin{cases} \frac{4}{\sqrt{2}}, \text{при } m = 0 \\ (-1)^{m} \frac{48}{(m\pi)^{2}} \left[ 1 - \frac{2}{(m\pi)^{2}} \right] + \frac{96}{(\pi m)^{4}}, \text{при } m > 0 \end{cases}$$

Доказана регулярность получения бесконечной системы алгебраических уравнений - следовательно, решение можно получить с любой точностью, и оно будет единственным.

Само решение интегрального уравнения получим по формуле.

$$\varphi(\tau) = f(\tau) - 2c \sum_{m=0}^{\infty} a_m \times \cos \frac{m\pi}{a} \tau x_m; 0 \le \tau \le 1$$

Коэффициент  $x_m$  определяем из системы алгебраических уравнений.

Для практического использования данного уравнения, нужно определить функцию  $f(\tau)$ , включающую в себя нагрузку. В случае симметрической задачи  $q(s) = \frac{p}{a} \, \delta(s)$ , где  $\delta(s)$ - дельта –функция Дирика тогда

$$f(\tau)=\partial e\frac{p}{a}[(\delta+\tau)^3+|\delta-\tau|^3]+\mathrm{c_o}$$
 , при $_{\delta=0}=\partial e\frac{p}{a}(2\tau 3)+\mathrm{c_o}$ 

Правая часть бесконечной системы алгебраических уравнений при этом будет равна

$$\begin{split} f_k &= \int\limits_0^1 \left[\partial e \frac{p}{a} 2\tau^3 + c_0\right] \cos \frac{n\pi}{2} \tau d\tau = c_0 \int\limits_0^1 \cos \frac{n\pi}{2} \tau d\tau + \partial e \frac{p}{a} 2 \int\limits_0^1 \tau^3 \cos \frac{n\pi}{2} \tau d\tau = \\ &= c_0 \times \left\{ \begin{matrix} 0,7071 \\ 0 \\ (-1)^{\frac{n+3}{2}} + \end{matrix} + \left\{ \begin{matrix} 0,3536 \\ (-1)^{\frac{n}{2}} \left[ \frac{24}{(n\pi)^2} - \frac{192}{(n\pi)^4} \right] \right\} \right. & \text{при } n = 0 \\ \text{при } n = 2k \\ (-1)^{\frac{n+3}{2}} \left[ \frac{4}{\pi n} - \frac{96}{(n\pi)^3} \right] \right\} & \text{при } n = 2k + 1 \end{split}$$

Коэффициент  $f_n$  для дальнейших расчётов представим в виде:

$$f_n = c_0 \int_n^0 + \partial e \frac{P}{a} \int_n^0$$

Тогда 
$$x_n = c_0 x_n^0 + \partial e^{\frac{P}{a}} x_n^1$$

Контактные напряжения будут вычисляться по формуле:

$$\varphi(\tau) = c_0 + 2\partial e \frac{P}{a} \tau^3 - 2c \sum_{n=0}^{\infty} a_m \cos \frac{m\pi}{2} \tau \left( c_0 x_m^0 + \partial e \frac{P}{a} x_m^1 \right) =$$

$$= c_0 \left[ 1 - 2c \sum_{n=0}^{\infty} a_m \cos \frac{m\pi}{2} \tau x_m^0 \right] + \partial e \frac{P}{a} \left[ 2\tau^3 - 2c \sum_{m<0}^{\infty} \cos \frac{m\pi}{2} \tau x_m^1 \right]$$

$$= c_0 \varphi^0(\tau) + \partial e \frac{P}{a} \varphi^0(\tau)$$

Произвольная  $c_0$ , вычисляется из условия равновесия.

$$\int_{-a}^{a} p(x)dx = \int_{-a}^{a} q(x)dx$$
$$c_0 = \partial e \frac{P}{a} \frac{1 - J^1}{J^0}$$

где:

$$J^{0} = 1 - \frac{2_{c}a_{0} \times X_{0}^{0}}{\sqrt{2}} - \sum_{m=1,3,5}^{\infty} (-1)^{\frac{m+3}{2}} \times \frac{2}{m\pi} c a_{m} x_{m}^{0} =$$

$$= 1 - 2c \left[ \frac{a_{0} \times x^{0}}{\sqrt{2}} - \frac{2}{\pi} \sum_{m=1,3,5}^{\infty} (-1)^{\frac{m+3}{2}} \frac{a_{m}}{m} x_{m}^{0} \right]$$

$$J^{1} = 0,5\partial e - \frac{2_{c}a_{0}X_{0}^{1}}{\sqrt{2}} - \frac{2}{\pi} \sum_{m=1,3,5}^{\infty} (-1)^{\frac{m+3}{2}} 2_{c} \frac{a_{m}}{m} x_{m}^{1} =$$

$$= 0,5\partial e - 2_{c} \left[ \frac{a_{0}X_{0}^{1}}{\sqrt{2}} - \frac{2}{\pi} (-1)^{\frac{m+3}{2}} \frac{a_{m}}{m} x_{m}^{1} \right]$$

Из вышеперечисленных рассуждений и теоретических выкладок, формула определения контактных напряжений в зоне контакта опорной поверхности с костной тканью, примет вид

$$\varphi(\tau) = \frac{P}{a} \left[ 2\partial e \tau^3 + T_0 - \sum_{m=1}^{\infty} T_m \cos \frac{m\tau}{2} \tau \right]; \quad 0 \le \tau \le 1$$

Здесь постоянная уравнения:  $T_0 = \Delta \frac{2a_0 c(x^0 \Delta + x_0^1)}{\sqrt{2}}; T_m = 2ca_m(\Delta x_m^0 + x_m^1);$ 

$$\Delta = \frac{1 - J^1}{I^0}$$

Таким образом, через величину «Р» варьируя упругими характеристиками съёмного протеза и десны, можно определить в любой точке интеграла (-a; a) напряжение взаимодействия опорных поверхностей протеза и десны.

Данное уравнение позволяет решить задачу проверки прочности основания по заданному значению допускаемых напряжений на сжатие. Используя вычислительную технику вычислить  $\phi(\tau)$  с малым шагом и найти максимальное значение сравнивают с допустимым на интервале (0,1).

Рассмотрим вопрос подбора оптимальной площади опорной поверхности протеза при заданных допускаемых напряжениям и известной снимающей нагрузке P.

Данный параметр, характеризующий сечение дуги протеза, находится в характеристике жесткости эквивалентной балки. Это осевой момент инерции сечения  $J_{\delta}$ , который в случае прямоугольного сечения равен

$$J_{\delta} = \frac{bh^3}{+2} \,,$$

где b — ширина сечения (ширина опорной части); h - высота сечения. Параметр  $J_{\delta}$  входят в сборную упругую характеристику:

$$\partial e = \frac{a^4}{12E_I k J_\delta}$$

Для решения этой задачи используем возможности информационных технологий. Расчёт проводили при неизменности всех параметров. Ширину сечения b меняли малыми шагами. При этом изменилась величина момента инерции  $J_{\delta}$ . Это привело к изменению характеристики упругости  $\partial e$ . Для каждого из полученных значений  $\partial e$  вычисляли контактные напряжения  $\phi(\tau)$  и определяли их наибольшее значение. Найденное значение сравнивали с допускаемыми до тех пор, пока условия прочности не были выполнены. При этом последнее «b» - оптимальная ширина контактируемый поверхности протеза.

Задача определения смещения протеза (погружение в десну) от действия заданной нагрузки. Очевидно, наибольшее перемещение будут иметь точки на

гребне десны, т.е. в нашей эквивалентной задаче при τ=0. На основании формулы прогиба балки с учётом симметрии действующей нагрузки.

$$W(\tau) = c_0 + \frac{a^4}{12EJ_{\theta}} \int_{-1}^{1} |\tau - s|^3 [q^*(s) - \varphi(s)] ds = c_0 + \partial e \int_{0}^{1} [q^*(s) - \varphi(s)] ds$$
$$\varphi(s) ds$$

при τ=0

$$W(0) = c_0 + \partial e \int_0^1 2S^3 \left[ \frac{P}{q} \delta(s) - \varphi(s) \right] ds =$$

$$c_0 + 2\partial e \left[ \frac{P}{a} \int_0^1 S^3 \delta(s) ds - \int_0^1 s^3 \varphi(s) ds \right] =$$

$$c_0 + 2\partial e \int_0^1 s^3 \varphi(s) ds$$

Окончательный прогиб балки в центре под силой Р:

$$\begin{split} W(0) &= C_0 - 2\partial e \frac{P}{a} \Bigg[ \frac{2\partial e}{7} + \frac{T_0^1}{4} \\ &- \sum_{m=1}^{\infty} T_m \begin{cases} \frac{96}{(m\pi)^4} + (-1)^{m/2} \left[ \frac{12}{(m\pi)^3} - \frac{96}{(m\pi^4)} \right] \\ \frac{96}{(m\pi)^4} + (-1)^{\frac{m+3}{2}} \left[ \frac{2}{m\pi} - \frac{48}{(m\pi)^3} \right] \end{cases} \end{bmatrix} \text{при } m = 2k$$
 при этом  $C_0 = 2\partial e \frac{P}{a} \times \frac{1-J^1}{J^0}$ ;  $T_0^1 = \Delta - \frac{2a_0C(\Delta x_0^0 + x_0^1)}{\sqrt{2}} + 0,17677$ 

# 2.5 Математическое обоснование применения промежуточных точек опор на имплантатах для фиксации зубного протеза

Для обеспечения стабилизации зубного протеза и обеспечения функционального перераспределения нагрузки на естественные опорные зубы и десну нами были использованы имплантаты. Вместе с амортизирующим (фиксирующим) слоем это приводит к предотвращению редукции костей альвеолярных отростков и сохранению костной массы. Применение

промежуточных опор существенно перераспределяет внутреннее напряжение, не только внутри самого протеза, но и в костной ткани, создавая комфортные условия для работы системы.

Уменьшение уровня напряжений сказывается на увеличении срока службы протеза и снижает время реабилитации послеоперационного периода. Количественные и качественные характеристики уменьшения напряжений наглядно показаны на основе шарнирно-опорной балки со множеством опор, которые так же справедливы и для балок на упругом основании.

Данные примеры рассчитаны с применением теории и практики из курса «Сопротивление материалов».

Для наглядности рассмотрим три случая фиксации протеза: на трёх имплантатах двух опорной схемы или однопролётной схемы; на трёх имплантатах трёхпролетной схемы или двух пролётной схемы; четырех имплантатах четырех опорной схемы и четырех пролётной схемы.

*1 случай*. Рассмотрим первую схему, это шарнирно-опорная балка на двух опорах (фиксация на двух имплантатах), нагруженная равномерно распределённой нагрузкой (рисунок 2.5.1).

Формат работы не предполагает показа всех выкладок по расчётным схемам, в соответствии, с чем мы опускаем их.

Строим эпюру изгибающих моментов в данной балке при помощи методов, используемых в курсе «Сопротивление материалов» [73]. На основании эпюр максимальный изгибающий момент приходится к середине пролёта.

$$M_{2x,max} = \frac{ql^2}{8} \tag{1}$$

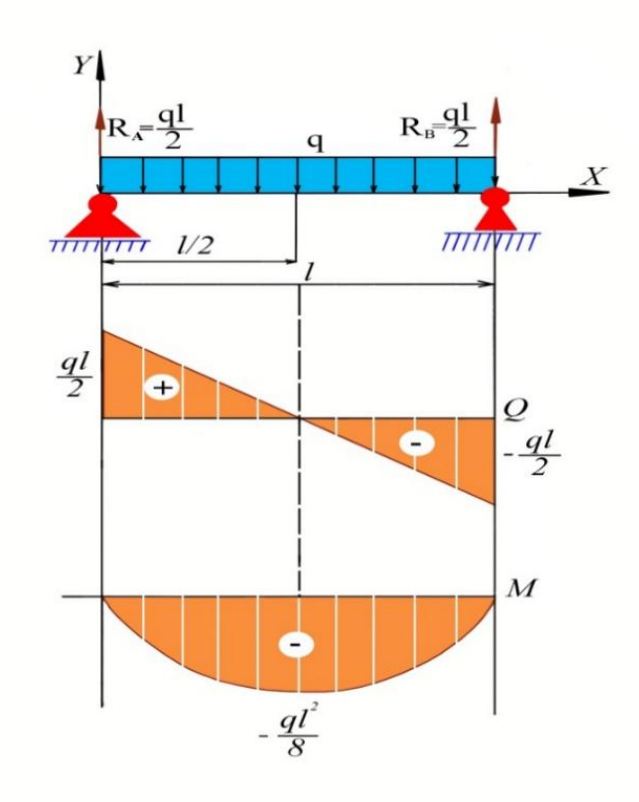


Рисунок 2.5.1 – Однопролётная схема эпюры, изгибающих моментов и напряжений.

2 случай. В двухопорную схему приведённую на рис 3.5.а, добавим ещё одну опору посредине пролёта, для уменьшения момента в середине однопролётной балки. Соответственно конструкция обзаводится промежуточной опорой и из однопролётной становится двухпролётной (рисунок 2.5.2) Практически это осуществляется установкой третьего имплантанта.

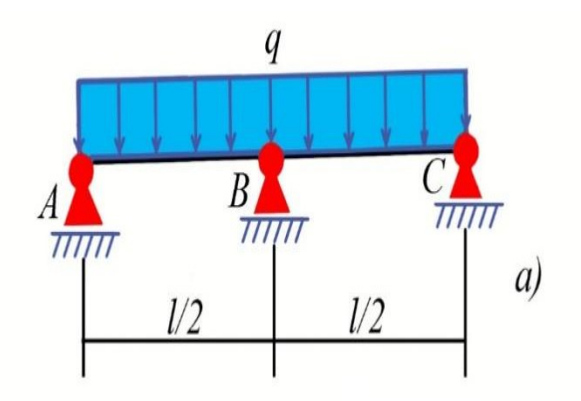


Рисунок 2.5.2 – Двухпролётная схема.

Данная схема является статически неопределённой, в связи с чем, для ее решения требуется провести несложные преобразования и привести ее к статически определённой конструкции (рисунок 2.5.3), для этого промежуточную опору заменяют на неизвестную силу х.

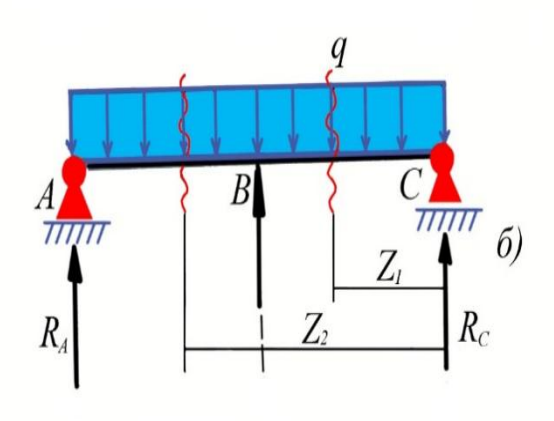


Рисунок 2.5.3 – Статически определённая двухпролётная схема.

После приведения статически неопределённой системы в статически определённую, мы решаем эту задачу известными методами (рисунок 2.5.4).

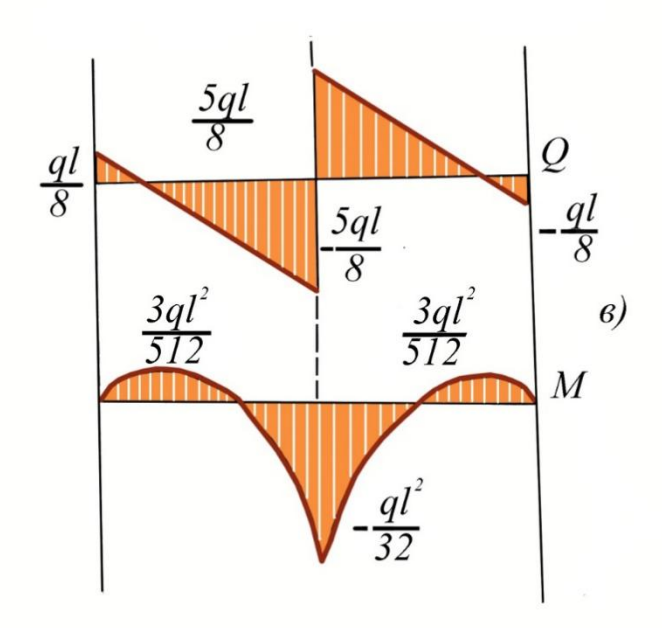


Рисунок 2.5.4 – Эпюры сгибающих моментов и напряжений.

Строим эпюры внутренних направлений (рисунок 2.5.4). Из построенных эпюр находим максимальный момент, действующей на данную балку.

$$M_{3x,max} = \frac{ql^2}{32} \tag{2}$$

Рассмотрим, как введение промежуточной опоры в двух пролётную схему снижает максимальный изгибающий момент.

$$\Delta_{1} = \frac{M_{3x,max} - M_{4x,max}}{M_{3x,max}} \times 100\%$$

$$\Delta_{1} = \frac{\frac{ql^{2}}{32} - \frac{ql^{2}}{90}}{\frac{ql^{2}}{32}} \times 100\% = \frac{\frac{1}{32} - \frac{1}{90}}{\frac{1}{32}} \times 100\% = 0,64 \times 100\% = 64\%$$

**Вывод 3:** Введение промежуточной опоры в двух пролётную схему, уменьшает изгибающий момент на 64 %.

*3 случай*. Модернизуем двухпролётную схему добавлением ещё одной промежуточной опорой и равномерно распределяем опоры по всей длине балки (рисунок 2.5.5).

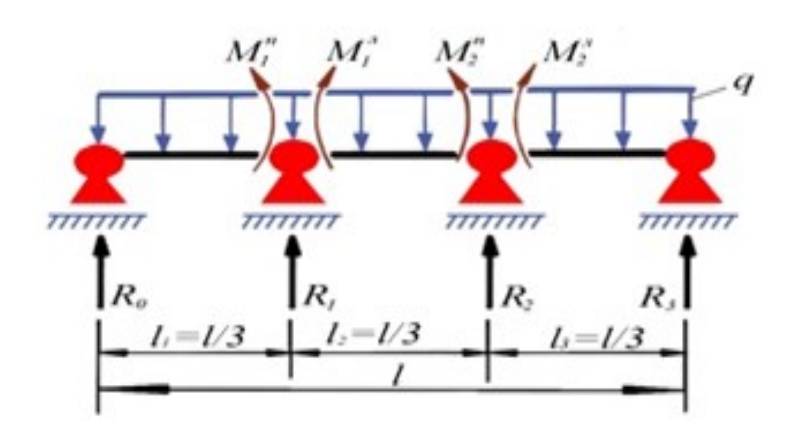


Рисунок 2.5.5 – Трехпролётная схема.

Введение ещё одной промежуточной опоры увеличивает статическую неопределённость системы. Данная конструкция является 2 раза статически не определённой. Для её решения мы применим метод моментов (уравнение трехмоментов), что существенно упростит расчёты.

После проведения преобразований и записи недостающих уравнений, строим опоры изгибающего момента и поперечной силы действующей на балку и опоры.

На основании эпюр максимальный изгибающий момент наблюдается на промежуточных опорах (рисунок 2.5.6).

Oн равен 
$$M_{4x,max} = \frac{ql^2}{90}$$
 (3)

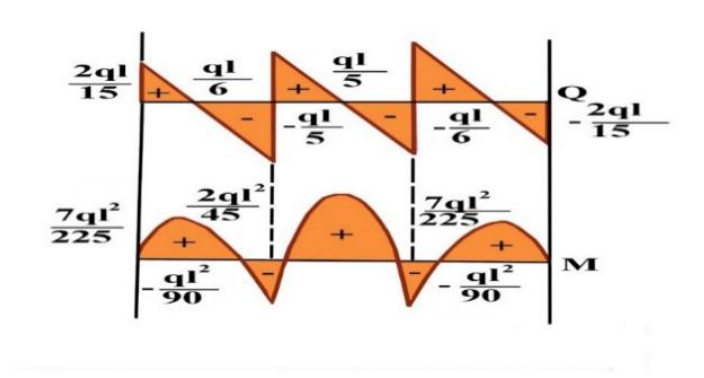


Рисунок 2.5.6 – Эпюры изгибающих моментов и напряжений.

Проверим нашу гипотезу о том, что введение промежуточных опор снижает внутреннее напряжение и способствует более щадящему режиму работы протеза.

Из формулы 1 максимально изгибающий момент в однопролётной схеме при фиксации на двух имплантатах равен:

$$M_{2x,max} = \frac{ql^2}{8}$$

Её взяли за базовый показатель и будем сравнивать с ней.

Сравним с двух пролётной схемой, т.е. со схемой с тремя имплантатами.

Из формулы 2 максимальный изгибающий момент равен:

$$M_{3x,max} = \frac{ql^2}{32}$$

m.o.

$$\Delta = \frac{M_{2x,max} - M_{3x,max}}{M_{2x,max}} \times 100\%$$

$$\Delta = \frac{\frac{ql^2}{8} - \frac{ql^2}{32}}{\frac{ql^2}{8}} \times 100\% = \frac{\frac{1}{8} - \frac{1}{32}}{\frac{1}{8}} \times 100\% = 75\%$$

**Вывод:** введение одной промежуточной опоры в однопролетную схему дает снижение максимального изгибающего момента на 75 %

Сравним с промежуточной схемой, т.е. со схемой с использованием фиксации протеза на четырех имплантатах. Из формулы 3 максимальный изгибающий момент равен:

$$M_{4x,max} = \frac{ql^2}{90}$$

m.o.

$$\Delta = \frac{M_{2x,max} - M_{4x,max}}{M_{2x,max}} \times 100\%$$

$$\Delta = \frac{\frac{ql^2}{8} - \frac{ql^2}{90}}{\frac{ql^2}{8}} \times 100\% = 0.91 \times 100\% = 91\%$$

введение одной промежуточной опоры в одно пролётную схему даёт снижение максимального изгибающего момента на 25 % введение двух промежуточных опор в одно пролётную схему, позволяет снизить максимальный изгибающий момент на 91 %.

## 2.6 Биомеханическое математическое обоснование применения амортизирующего слоя, служащего фиксатором для съёмного протеза

Целесообразность применения мягких пластмасс в съёмных пластинчатых конструкциях протезов признано многими клиницистами. По их мнению, использование эластических пластмасс улучшает фиксацию и жевательную эффективность, безболезненно передаёт жевательное давление, сокращает сроки адаптации, что, по нашему мнению, имеет немаловажное значение при протезировании.

Все вышеперечисленное послужило предпосылкой для применения эластических прокладок в съёмных протезах с неблагоприятными условиями.

Применение эластической прокладки также позволяет приступить к протезированию в значительно более ранние сроки после удаления зубов, чем обычно (через 7 дней вместо 3-4 недель). При использовании эластичной пластмассы обычно не возникает глубоких повреждений слизистой оболочки, отсутствуют жалобы больных на болезненность. Следует отметить, что амортизация жевательного давления возможна только в тех случаях, когда толщина мягкой прокладки не менее 3 мм. Наблюдения позволили установить положительное влияние протезов с мягкой прокладкой на процесс формирования костной ткани в области удалённых зубов, обусловленным их массирующим действием.

Мы выявили также ещё одну положительную сторону применения эластичных пластмасс. Больные отмечали хорошую фиксацию протезов с мягкой прокладкой по сравнению с протезами на жёстких базисах, даже в самых трудных случаях, при полной или неравномерной атрофии альвеолярного отростка нижней челюсти. При этом жевательная эффективность повышалось в среднем в 17-20 раз.

Рассмотрим случай, когда планируется изготовление протеза на челюсти, где имеется всего 1- 2 зуба. В данном случае протез получает дополнительную фиксацию, что соответственно приводит к снижению внутренних напряжений, возникающих в протезе. Количественные характеристики уменьшения напряжений проиллюстрируем на примере балки, которая одним концом консольно закреплена в стене, а другой конец балки находится на подвижной опоре. Где балка будет представлять протез, а фиксация на здоровый зуб заменена консольным закреплением. Площадь прилегания протезами балки представим скользящей опорой на правом конце балки (рисунок 2.6.1).

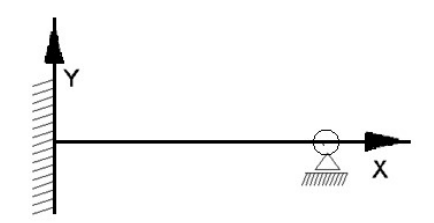


Рисунок 2.6.1 – Эквивалентная схема зафиксированного протеза.

В данной схеме внутреннее напряжение невозможно определить только из уравнений равновесий, соответственно данная балка является статически неопределённой. Для решения данной задачи необходимо составить дополнительные уравнения, называемые уравнениями перемещений (или уравнениями деформаций). Заданную статически неопределённую балку мысленно превращаем в статически определённую, удаляя лишние связи и заменяя механические действия реакциями. Полученную таким образом статически определённую систему называют основной системой.

Рассмотрим две схемы фиксации съёмного протеза. Первая схема — это когда протез фиксируется за зуб (или группу рядом стоящих зубов). Соответственно в виду неплотного прилегания протеза к десне жевательную нагрузку можно считать приложенной в одной точке протеза. Эквивалентная схема представлена на рисунке 2.6.2.

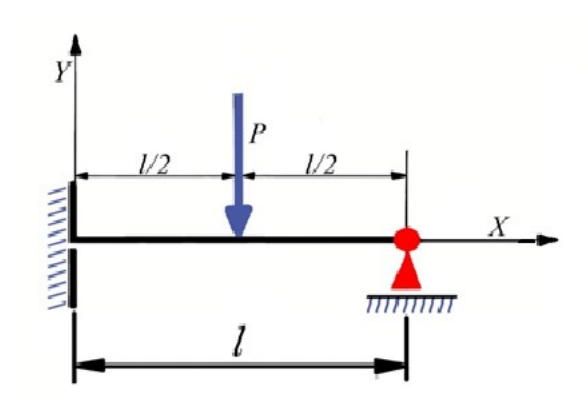


Рисунок 2.6.2 – Эквивалентная схема 1 способа.

Вторая схема — это когда протез фиксируется за зуб и фиксирующий слой, который обеспечивает фиксацию протеза относительно десны без

зазорного прилегания протеза к десне, амортизацию прогиба протеза от нагрузок. При этом жевательная нагрузка на протез равномерно распределяется по всей длине протеза. Эквивалентная схема представлена на рисунке 2.6.3.

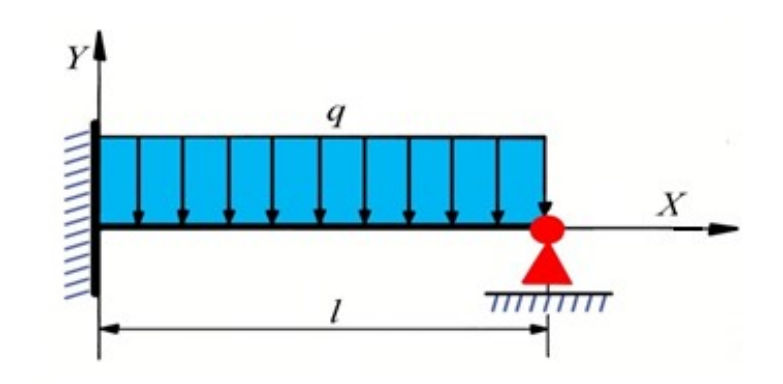


Рисунок 2.6.3 – Эквивалентная схема 2 способа.

Первая схема. Рассмотрим данную конструкцию.

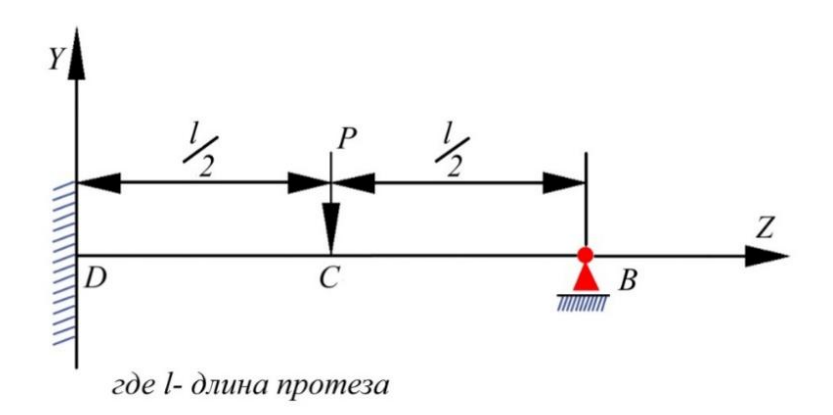


Рисунок 2.6.4 – Эквивалентная схема 1 способа.

В данной конструкции в точке С приложена сила Р (рисунок 2.6.4), она имеет одну лишнюю связь. Для решения этой задачи, статически неопределённую балку переведём в статически определённую балку. Для этого, основную систему выбираем в консольной балке, с удалённой правой опорой, заменой неизвестной реакцией «Х» (рисунок 2.6.5).

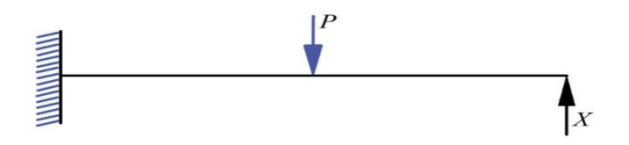


Рисунок 2.6.5 – Схема направления сил действующих на балку.

Очевидно, что в этом случае уравнение перемещений будет иметь вид  $Y_B = 0$ 

Где от действия силы X (рисунок 2.6.6) прогиб в точке В будет равен

$$Y_{BX} = \frac{Xl^3}{(3EI)}$$



Рисунок 2.6.6 – Эквивалентная схема определения прогиба в точке В от действия силы Р.

Для определения прогиба в точке B от действия силы P (рисунок 2.6.7), помещаем начало координат на левом конце балки, тогда  $Y_0=0$  и  $Q_0=0$ :

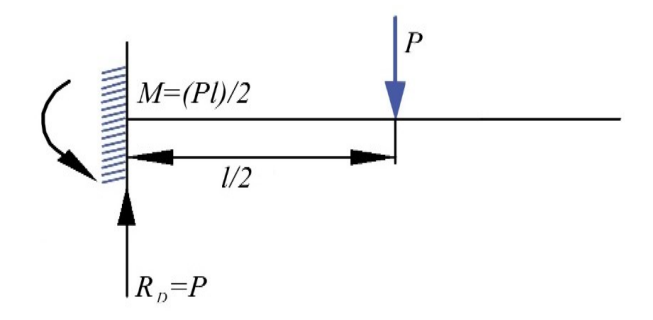


Рисунок 2.6.7 — Реакция балки на нагрузку.

Определяем опорные реакции (рисунок 2.6.7):

$$R_D = P$$
 и  $M_D = \frac{Pl}{2}$ .

Пологая Z=1, уравнение будет выглядеть следующим образом

$$EJ_{YBP} = \frac{MA(l-0)^2}{2} + \frac{R_D(l-0)^3}{6} - \frac{P\left(l-\frac{l}{2}\right)^3}{6}$$

Подставим значения  $M_D = \frac{P}{2}$  и  $R_D = P$  получим прогиб в точке В.

$$Y_{BP} = -5Pl^3/(4BEJ)$$

Уравнение перемещений будет выглядеть следующим образом

$$\frac{Xl^3}{(3EJ)} - \frac{5Pl^3}{(4BEJ)} = 0$$

Находим из этого уравнения величину неизвестной реакции Х.

$$X = \frac{5}{16}P.$$

Соответственно изгибающий в любом сечении участка СВ на расстоянии Z, от правого конца равен (рисунок 2.6.8) .

$$M_{Z2} = X \times Z_1 = \frac{5}{16}P \times Z_1$$

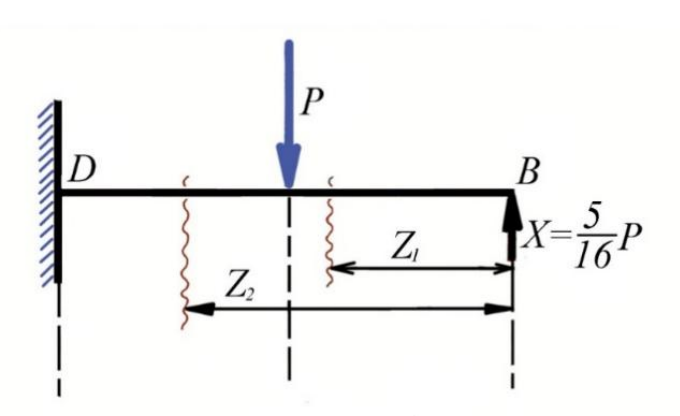


Рисунок 2.6.8.

На участке DC, на расстоянии  $Z_2$  от правого конца равен (2.6.8).

$$M_{Z2} = \frac{5}{16} P_{Z2} - P\left(Z_2 - \frac{l}{2}\right)$$

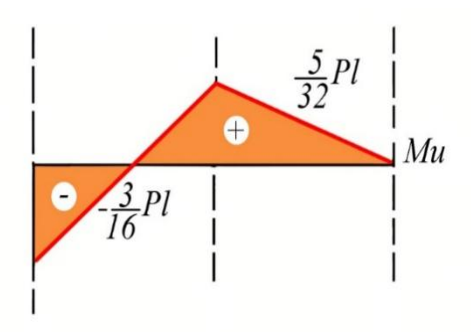


Рисунок 2.6.9 – Эпюра внутренних напряжений.

Эпюра  $M_4$  показана на рисунке 2.6.9. Поперечная сила на участке CB

$$Q_{Z1} = -X = -\frac{5}{16}P$$

На участке DC

$$Q_{Z2} = -\frac{5}{16}P + P = \frac{11}{16}P$$

Эпюра Q показана на рисунке 2.6.10.

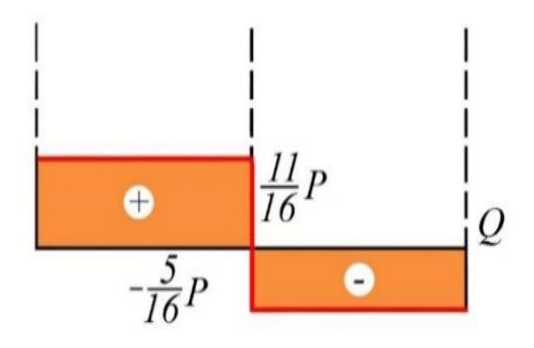


Рисунок 2.6.10 – Эпюра крутящих моментов.

Вторая схема. Отличие её от первой схемы в нагрузке, которая равномерно распределена по всей балке. Соответственно, как в первой схеме данная схема статически неопределённая балка, для её решения имеется 2 способа. Мы воспользуемся одним способом и заменим подвижную опору в точке В неизвестной реакцией X (рисунки 2.6.11, 2.6.12, 2.6.13), что приводит её к статически определённой балке, метод решения известен.

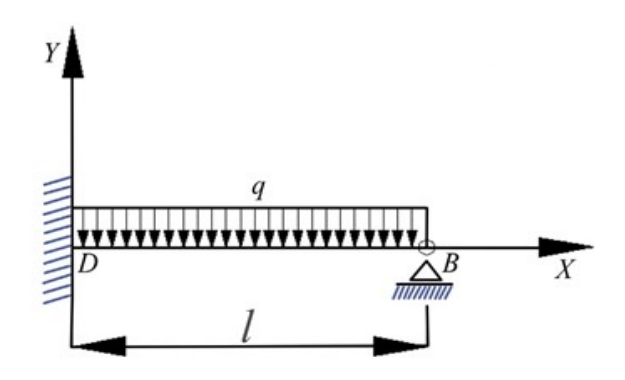


Рисунок 2.6.11 – Вторая схема фиксации протеза на здоровый зуб.

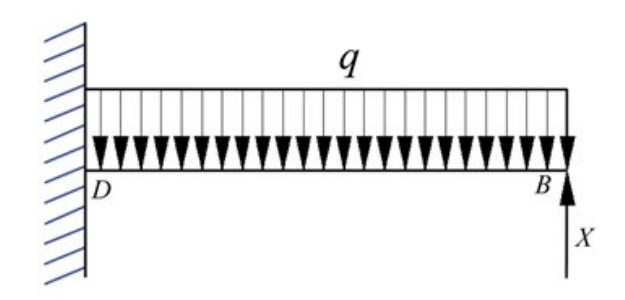


Рисунок 2.6.12 – Схема приложенных сил на балку.

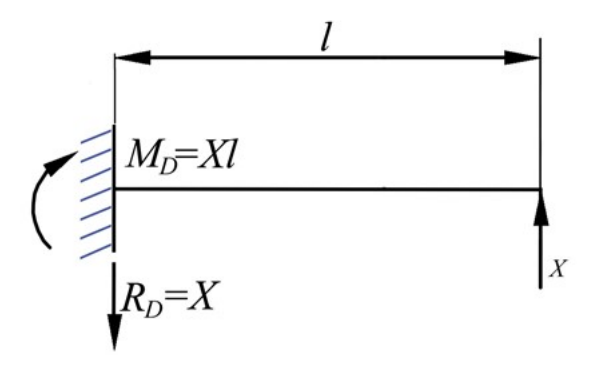


Рисунок 2.6.13 – Схема реакций балки на приложенные силы.

Разобьём данную задачу на 2 части, а затем совместно решим. В первой части рассмотрим и определим влияние неизвестной реакции X на балку, а во второй части влияние распределенной нагрузки. Рассмотрим влияние неизвестной реакции X.

Для этого разместим немало координат в правом конце балки. Изгибающий момент в сечении с абсциссой Z определяется как момент внешних сил, распространённых между данным сечением и началом координат.

$$M_Z = X_Z$$

Тогда  $EJ_{Y^{11}} = X_Z$ 

Интегрируем первый раз

$$EJ_{Y^1} = \frac{{X_Z}^2}{2} + C$$

Интегрируем второй раз

$$EJ_Y = \frac{{X_Z}^3}{6} + C_Z + D$$

Для определения C и D имеем следующие условия

- 1) при Z=l Y=0
- 2) при Z=1  $0=Y^1=0$

Подставляем 2 условия

$$0 = \frac{Xl^2}{2} + C; \qquad C = -\frac{Xl^2}{2}$$

Из первого условия

$$0 = \frac{Xl^3}{6} - \frac{Xl^3}{2} + D$$
$$D = \frac{Xl^3}{3}$$

Очевидно, что  $Y_{max}$  и  $Q_{max}$  только при Z=0, соответственно

$$Y_{max}^{1} = Q_{max} = \frac{Xl^{2}}{(2EJ)}$$
$$Y_{max} = \frac{Xl^{3}}{(3EI)}$$

Во второй часть определим влияние распределенной нагрузки (рисунок 3.6.14

Определим Y при Z=l, то есть  $Y_{max}$ 

$$EJy_{max} = \frac{ql^2}{2} \frac{(l-0)^2}{2} + \frac{ql(l-0)^3}{6} - \frac{q(l-0)^4}{24}$$
$$EJY_{max} = \frac{ql^4}{8}$$

Тогда

$$Y_{max} = \frac{ql^4}{(8EJ)}$$

$$Q_{max} = \frac{ql^3}{(6EJ)}$$

совместно получим

$$\frac{ql^4}{(8EJ)} = \frac{xl^3}{(3EJ)}$$

Отсюда

$$X = \frac{3}{8}ql$$

Соответственно изгибающий в любом сечении участка на расстоянии Z от правого конца балки (рисунок 2.6.14)

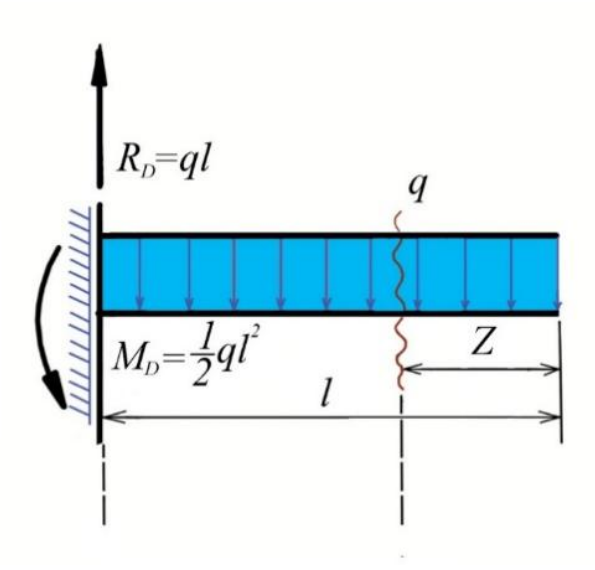


Рисунок 2.6.14 – Схема реакций сил.

$$M_Z = X_Z = \frac{3}{8}ql \times Z$$

Эпюра  $M_4$  показана на рисунок 2.6.15.

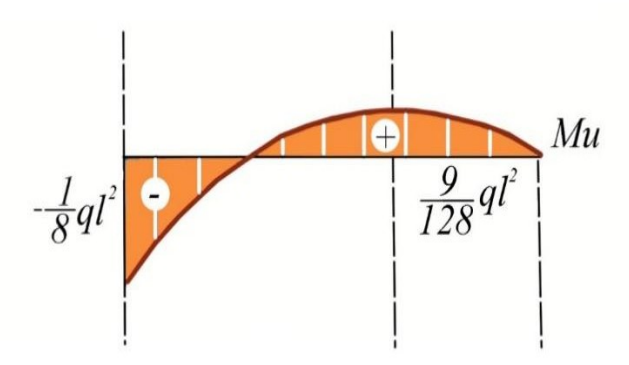


Рисунок 2.6.15 – Эпюра крутящих моментов.

Поперечная сила

$$Q_Z = -X = -\frac{3}{8}ql$$

На остальном участке

$$Q_Z = -\frac{3}{8}ql + ql = \frac{5}{8}ql$$

Эпюра Q показана на рисунке 2.6.16.

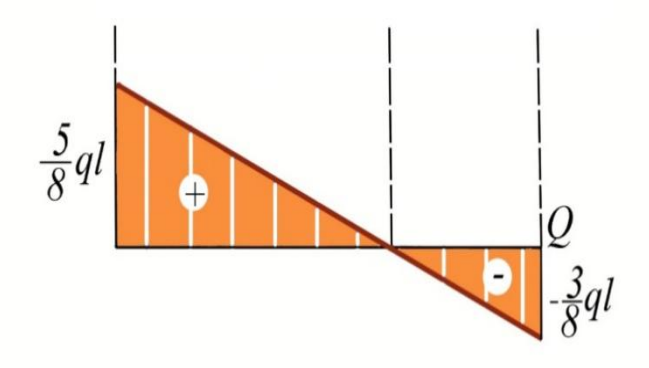


Рисунок 2.6.16 – Эпюра внутренних напряжений.

**Пояснение**: Первая часть (-3/8 ql) — это реакция от предыдущего участка; Вторая часть (+ql) — равнодействующая от равномерно распределённой нагрузки на длину участка (предполагается, что она действует на всём оставшемся участке). Суммируя их, получаем новую величину поперечной силы.

### 2.7 Методы статистической обработки результатов исследования

Результаты исследования обрабатывались при помощи персонального компьютера с использованием табличного редактора Excel 2016 с пакетом анализа для Windows X.

Для средних величин высчитывали среднюю ошибку показателя — m по формуле  $M=\pm m$ , где:  $\delta$ - среднее квадратичное отклонение, n - число наблюдений. Статистическую значимость (достоверность) различий по количественным параметрам определяли путём вычисления t - критерия Стьюдента, достоверными при P < 0.05. Вычисляли среднюю арифметическую M, среднее квадратичное отклонение S, среднюю квадратичную ошибку MSE, а также определяли достоверность различий абсолютных и относительных величин t. Корреляционный анализ проводили с помощью пакета прикладных программ «Statistica».

Заключение ко 2 главе. Применение протезов с фиксацией на имплантатах действительно превосходный метод по сравнению съёмными протезами, изготовленными традиционным методом при множественной потере зубов с неблагоприятными условиями протезного ложа. Высока функциональная ценность восстановления жевательной эффективности.

Установленные внутрикостные имплантаты в качестве дополнительных фиксирующих элементов для съёмных протезов, способны в течении долгого времени выполнять свои функции даже в случае износа отслужившихся протезов, которые можно переделать.

При применении правильной конструкции аббатментов компрессионная сила действует, как уплотняющая граница разделения кости и имплантата, способствуя поддержанию конструкционной целостности «кость—имплантат» и перераспределению давления без воздействия на структуры кортикальной кости.

Использование имплантатов для крепления протезов, замещающих отсутствующие корни зубов вполне оправдано с целью предотвращения деструкции костной ткани, профилактики убыли объёма кости, согласно закону «Вольфа».

Ортопедическое лечение с изготовлением съёмных протезов, фиксированных при помощи имплантатов, приводит к улучшению качества оказания стоматологической помощи, повышению удовлетворённости больных проведённым лечением и положительно влияет на общее здоровье жизни.

Введение двух промежуточных опор в однопролётную схему позволяет снизить максимальный изгибающий момент на 91%. Это происходит за счёт оптимального распределения нагрузки на опорах.

Таким образом, введение дополнительных промежуточных опор в многопролетные конструкции значительно сокращает поле напряжений, также положительным фактором является появление отрицательных (снижающих) напряжений. Это повышает усталостные и прочностные характеристики металла имплантата и костной ткани.

Применением эластической прослойки можно решить 2 задачи:

- 1. Применение фиксирующего слоя приводит к разгрузке напряжения на десну альвеолярного отростка вследствие уменьшения прогиба и к оптимальному моменту. Амортизирующая прослойка выступает в качестве фиксирующей силы. Как показали ранние математические модели, применение фиксирующего слоя, приводит к разгрузке напряжения на десну альвеолярного отростка вследствие уменьшения прогиба и оптимальному моменту.
- 2. Фиксирующий слой, который обеспечивает фиксацию протеза, позволяет избегать ретенции остатков пищи, за счёт заполнения зазора между опорами, протезом и десной, также амортизируя прогиб протеза от нагрузок. При этом создаётся монолитность функциональной единицы живой ткани с приложенной конструкцией, обеспечивая равномерное распределение жевательной нагрузки на протез по всей длине конструкции.

Выражаем глубокую благодарность Джалбиеву Эмирбек Автандиловичу - профессору кафедры автоматизации, робототехники и мехатроники Института транспорта и робототехники Кыргызского государственного технического университета им. И. Раззакова за оказанную консультацию в корректировке математического и биомеханического расчёта.

#### ГЛАВА 3.

### РЕЗУЛЬТАТЫ СОБСТВЕННЫХ ИССЛЕДОВАНИЙ

## 3.1 Частота и структура множественной адентии у пациентов с неблагоприятными условиями протезного ложа

Из общего количества 62 пациентов, частота пациентов с множественной адентией с неблагоприятными условиями для фиксации протезов составила 36,2 %. Результат лечения имплантатами зависит от уровня гигиены полости рта пациента. В полости рта множество микроорганизмов, которые могут стать причиной отторжения имплантатов и многих соматических заболеваний. В то же время, наличие дисфункции челюстного аппарата, не вызывающие непосредственных неприятных ощущений, но оказывающее негативное влияние на здоровье и состояние зубов в последствие на начальном этапе не воспринималось большинством из них. В процессе исследования нас интересовал вопрос о количестве больных, пользующихся зубными протезами. Также изучены качественные параметры ортопедических конструкций, которые отказались носить пациенты по причине дефекта Определение потребности пациентов в конкретных видах ортопедических конструкций проводилось с учётом нуждаемости в изготовлении новых, а также замене ранее изготовленных неполноценных протезов. При обследовании у больных с множественной адентией выявлены различные структурно-функциональные и эстетические нарушения в челюстно-лицевой области. Очевидно, давая самооценку стоматологического здоровья, пациенты в основном принимали во внимание наличие болевых ощущений, нарушения жевательной функции, в ряде случаев эстетические параметры.

Результат лечения имплантатами зависит от уровня гигиены полости рта пациента. В полости рта множество микроорганизмов, которые могут стать причиной отторжения имплантатов и многих соматических заболеваний. В то

же время, наличие дисфункции челюстного аппарата, не вызывающие непосредственных неприятных ощущений, но оказывающее негативное влияние на здоровье и состояние зубов впоследствии, на начальном этапе не воспринималось большинством из них.

Аллергическая реакция на медикаментозные препараты, продукты питания, средства гигиены полости рта выявлены у двух пациентов. Подобные отклонения могут сопровождаться ухудшением физического, психологического и социального функционирования пациентов, которые требует объективной оценки в критериях качества жизни (КЖ). Это отражает принцип «решения проблем по мере их поступления», т.е. обращения к стоматологу при возникновении боли, а не для профилактики этих явлений.

Значения индекса КПУ и его компоненты свидетельствуют о том, что компонент "У" превалировал над остальными и колебался в пределах от 22,75 % до 25,10 % (таблица 3.1.1).

Таблица 3.1.1 – Индекс КПУ на одного обследованного

Пол	нозоло	41-50	51-60	61-70	71-74	Всего
	гия					
Мужчины	К	21	3	2	-	6,5
	П	13	7	2	-	5,5
	У	18	21	25	27	22,75
Женщины	К	19	2	2	-	5,75
	П	18	10	5	-	8,25
	У	22	24	25	29	25,10
Всего	К	20	2,5	2,0	-	6,13
	П	15,5	8,5	3,5	-	6,87
	У	20	22,5	2,5	28	23,9

В процессе исследования нас интересовал вопрос о количестве больных, пользующихся зубными протезами. Также изучены качественные параметры

ортопедических конструкций, которые отказались носить пациенты и причины дефекта. Нами установлено, что число, пользующихся частичными съёмными протезами, составило 56,0 %, а 15,57% - не пользуются протезами.

Дефекты I, II и III классов встречались в основном на нижней челюсти и колебались в пределах от 4,76 до 9,52%. IV класс дефектов в зубном ряду в основном выявлялся на верхней челюсти и составлял в среднем 4,76 % (таблица 3.1.2).

Таблица 3.1.2 – Распределение дефектов зубного ряда по расположению на челюстях

Челюсти	І класс			II класс			I	II кла	icc	IV класс			
	1	2	3	4	1	2	3	1	2	3	1	2	3
Верхняя	-	1	1	-	ı	1	-	-	-	1	1	1	1
Нижняя	2	2	1	2	2	2	2	2	2	2	2	-	-
Верхняя	-	-	4,76	-	-	4,76	-	-	-	4,76	4,76	4,76	4,76
Нижняя	9,52	9,52	4,76	9,52	4,76	4,76	4,76	4,76	4,76	4,76	4,76	4,76	4,76

Распределение пациентов по полу, в зависимости от пользования частично и полными съемными протезами приведено в таблице 3.1.3. Из 62 пациентов 61,2% (38) пользуются частичными съёмными протезами, 25,8% (24) пациентов пользуются полными съёмными. В связи с множественной потерей зубов у обследованных больных не было мостовидных протезов.

Таблица 3.1.3 – Лица, пользующиеся и не пользующиеся протезами в зависимости от пола в процентах

Пол	Всего	Ч	астичные	По	лные	Нет		
		C	съёмные	съё	мные			
Мужчины	25	16 64 %		5	5 20 %		16 %	
Женщины	37	22 59,4 %		11 29,73 %		5	20 %	
Всего	62	38	61,2 %	16	25,8 %	9	14.5%-	

Из 62 пациентов 38 - пользуются протезами успешно и регулярно (61,2%), 16 - используют полные съёмные протезы (30,50%) и посещают стоматолога по мере возникновения жалоб.

### 3.2 Результаты клинико-инструментального исследования

Определение потребности пациентов в конкретных видах ортопедических конструкций проводилось с учётом нуждаемости в изготовлении новых, а также замене ранее изготовленных неполноценных протезов.

Таким образом, у больных с множественной адентией выявлены различные структурно-функциональные и эстетические нарушения в челюстнолицевой области. Очевидно, давая самооценку стоматологического здоровья, пациенты в основном принимали во внимание наличие болевых ощущений, нарушения жевательной функции, в ряде случаев эстетические параметры.

Результат лечения имплантатами зависит от уровня гигиены полости рта пациента. В полости рта множество микроорганизмов, которые могут стать причиной отторжения имплантатов и многих соматических заболеваний.

В то же время, наличие дисфункции челюстного аппарата, не вызывающее непосредственных неприятных ощущений, но оказывающее негативное влияние на здоровье и состояние зубов впоследствии, на начальном этапе не воспринималось большинством из них.

Аллергическая реакция на медикаментозные препараты, продукты питания, средства гигиены полости рта выявлены у двух пациентов. Подобные отклонения могут сопровождаться ухудшением физического, психологического и социального функционирования пациентов, которые требует объективной оценки в критериях качества жизни (КЖ). Это отражает принцип «решения проблем по мере их поступления», т.е. обращения к стоматологу при возникновении боли, а не для профилактики этих явлений.

Для получения наиболее достоверных данных в процессе сбора и обработки материала применяли классификацию дефектов зубных рядов, предложенную М. 3. Миргазизовым [2003]. Она соответствует современным представлениям о данной патологии и основана на классификации Mich и Judi [1987]. Согласно этой классификации, выделено три класса дефектов (таблица 3.2.1):

1 класс – сохранность одного зуба:

А - в резцовых сегментах;

Б - в клыковых сегментах;

В - в премолярных сегментах;

 $\Gamma$  - в молярных сегментах.

2 класс – сохранность двух зубов:

А - отдельно стоящий на одной стороне челюсти;

Б – отдельно стоящих на двух сторонах челюсти;

В – рядом стоящие зубы.

3 класс – сохранность трёх зубов:

А – отдельно стоящих на одной стороне челюсти;

Б – отдельно стоящих на двух сторонах челюсти;

В – рядом стоящих.

Таблица 3.2.1 – Распределение дефектов по М. З. Миргазизову

Классы	I класс				II класс			III класс			IV класс		
Показатели	1	2	3	4	1	2	3	1	2	2	1	2	3
Абс.ч.	2	3	2	2	1	2	1	1	1	2	2	1	1
%	9,5	14,2	9,5	14,2	4,7	9,5	4,7	4,7	4,7	9,5	4,7	9,5	4,7

Установлено, что из I класса наиболее часто выявлялись 2 и 4 подклассы, которые составили в среднем 14,25%. Из II класса чаще выявлялся 2 подкласс - 9,52%, по III классу чаще всего выявлен 3 подкласс и по IV классу 2 подкласс

(9,52 %). Дефекты I, II и III классов встречались в основном на нижней челюсти и колебались в пределах от 4,76 до 9,52%. IV класс дефектов в зубном ряду в основном выявлялся на верхней челюсти и составлял в среднем 4,76 % (таблица 3.2.2).

Таблица 3.2.2 – Распределение дефектов зубного ряда на верхней и нижней челюстях

Челюсти	I		класс		II кла		пасс III клас		cc IV		класс		
	1	2	3	4	1	2	3	1	2	3	1	2	3
Верхняя	-	1	1	-	-	1	-	-	-	1	1	1	1
Нижняя	2	2	1	2	2	2	2	2	2	2	2	-	-
Верхняя	-	-	4,76	-	-	4,76	-	-	-	4,76	4,76	4,76	4,76
Нижняя	9,52	9,52	4,76	9,52	4,76	4,76	4,76	4,76	4,76	4,76	4,76	4,76	4,76

Несвоевременное или некачественное лечение частичной утраты зубов приводит не только к нарушениям функции зубочелюстной системы, но и к постепенной резорбции костной массы. Потеря зубов сопровождается нарушением трофики участка, что со временем вызывает значительное прогрессирование утраты костного объёма. Деструктивные процессы в костной ткани обусловлены воспалительными и дистрофическими изменениями, возникающими при неэффективном лечении. Отсутствие ортопедического вмешательства ускоряет атрофию костных структур челюстей, провоцирует развитие осложнений в челюстно-лицевой области и височно-нижнечелюстном суставе, а также существенно осложняет последующее протезирование.

# 3.3 Особенности протезирования пациентов с множественной адентией при неблагоприятных условиях для фиксации с применением имплантатов и амортизирующего слоя

Ортопедическое лечение пациентов с множественной адентией применением дентальных имплантатов является современным высокоэффективным направлением в стоматологии. Однако перенесенные системные заболевания могут оказывать долговременное влияние на организм абсолютные формировать ИЛИ относительные противопоказания имплантации. Не менее значимым является состояние костной ткани в зоне предполагаемой адаптации имплантатов, а также морфофункциональные характеристики слизистой протезного ложа и регенеративный потенциал организма. В процессе проведения имплантации нередко возникали трудности, связанные с выбором оптимального метода формирования костного ложа, что особенно явно проявляется при неблагоприятных клинических ситуациях с множественной адентией. Качество зоны «кость-имплантат» определяет первичной надёжность фиксации, остеоинтеграция как следствие, долговечность функционирования имплантатов. Таким образом, неблагоприятных условиях протезного ложа применение имплантационных конструкций с амортизирующим слоем обеспечивает стабильность фиксации и повышает функциональную эффективность съемных протезов.

Особенности протезирования пациентов с множественной адентией при неблагоприятных условиях для фиксации с применением имплантатов и амортизирующего слоя, по-нашему мнению лучше будут представлены через описание клинических случаев.

# 3.4 Сравнительная оценка эффективности ортопедического лечения пациентов с множественной адентией традиционным способом и с применением имплантатов

Для оценки клинической эффективности лечения больных с множественной адентии традиционным способом и с применением имплантатов, было обследовано 62 пациентов, которые были разделены, а две группы для сравнения.

- В основной группе 30 (44.9 %) пациентов с множественной адентией с неблагоприятными условиями, где для улучшения фиксации протезов использовались имплантаты.
- В контрольной группе пациентов с множественной адентией, при неблагоприятных условиях для фиксации съёмных протезов традиционным способом было 32 (55%) участника.
- Для более точной верификации эффективности ортопедического лечения для фиксации протеза с применением имплантатов, мы стремились смоделировать одинаковый лечебный фон у пациентов.

Пациенты выбраны по нуждаемости в ортопедическом лечении в возрасте от 40 до 74 лет, Причина возникновения множественной адентии у 50 пациентов является удаление остатков корней, сохранившиеся после разрушения коронковой части зубов.

Множественная потеря зубов является распространенной патологией зубочелюстного аппарата. Этиология потери зубов, опирается на множество различных факторов и является распространенным процессом.

Нами замечена, для эффективного лечения, восстановления эстетических и функциональных норм, важным фактором является атрофии степень альвеолярного отростка и уменьшение объема и качества костной ткани. Частичное отсутствие зубов становится причиной осложнений, развития зубном специфических деформацией В ряду, дисфункции височнонижнечелюстных суставов.

Нами исследованы направления на повышение эффективности лечения съёмными протезами при наличии сохранившихся корней и одиночных зубов.

Вопрос об использовании корней зубов в целях протезирования оставался достаточно сложным и противоречивым на всем протяжении развития отечественной и зарубежной стоматологии. Общепринятое традиционное ортопедическое лечение множественной адентии, при неблагоприятных условиях протезного ложа требует грамотного решения задачи стабилизации съёмных протезов. В практике ортопедической стоматологии применялись разнообразные конструкционные системы для их фиксации.

Наши клинические наблюдения показали, что сохранявшиеся зубы при частичной адентии резко изменяет размеры и конструкции протезного базиса, так же законы адгезии, уровень стабильности протезов.

Пациенты сравнивают и оценивают эффективность восстановленных конструкций, сравнивая их на фоне ранних опытов перенесённого неудобства в полости рта. В процессе изучения нами были замечены, стабильность протеза и равномерное распределение жевательной нагрузки будет зависеть в первую очередь от сохранности высоты гребня альвеолярного отростка, которая является прямым показателем сохранности размеров площади протезного ложа, от качества оттиска, от точности повторения рельефа пластиной протеза твёрдой основы костей челюсти (законы статики). От знания состояния поверхности слизистой, разнородности от 03 -2.5мм податливости и определения толщины слизистой в различных участках неба и альвеолярного отростка, которые морфологически изменяется от влияния клинических факторов.

В отдельных областях слизистая имеет плотную связь с костной основой, чередует с участками жировой прослойки с обильной сосудистой и лимфатической сетью. Наличие сохранившихся зубов может двояко влиять на стабилизацию пластинчатых съемных протезов.

При желании пациента иметь красивую, долговечную и надежную жевательную систему на имплантатах, необходимо учитывать биомеханику зубочелюстного аппарата. Мы в свою очередь вычисляли факторы, которые могут привести к постепенно возрастающей перегрузке конструкции, травме опорных элементов, которые станут причиной нарушения остео интеграции имплантата в

их местах адаптирования. Кроме того, на имплантат действует давление под множеством векторов. При этом следует учесть, что чем длиннее внекорневая часть плеча опоры, тем легче будет раскачать их. Увеличение амплитуды в результате может измениться и от плотности прилегания каркаса протеза к протезному ложу. Чем подвижнее протез, тем больше деформация будет проявляться на естественных опорах или имплантатах.

Учитывая вышеперечисленные замечания, для надежного сохранения оставшихся одиночных зубов, целесообразно использовать изученные нами клинические данные. При наличии естественных опорных структур, достаточно надёжной и оптимальной является конструкция телескопической системы фиксации. Метод даёт очень прочную и рациональную опору, кольцеобразно охватывающую зуб и другие опоры, полноценно отражая жевательное давление, ограничивая их наклон при нагрузке оклюзионного поля, в связи, с чем показаны использование даже при подвижных зубах. Конструкция телескопических конусных коронок могут, изменит степень давления от степени выраженности наклона, также невозможны такие явления, как перекашивание, заклинивание которые объясняются тем, что каркас протеза выполняет функцию балки объединяя и ограничивая движение опор в вертикальной и горизонтальной плоскостях. Положение протеза изменяется в процессе пережёвывания, в конце жевательного давления коронка встаёт в своё конечное положение почти автоматически.

При конструировании зубных протезов с использованием имплантатов, при большом пространственном гребней расхождении высоты альвеолярных неблагоприятные возникают сложности, ДЛЯ функционирования имплантатов. В таких случаях целесообразно сделать выбор в пользу съёмного протеза. Воссоздание требуемой меж альвеолярной высоты, приводит к резкому увеличению объёма и массы каркаса протеза. В таких случаях также отдают предпочтение съёмной конструкции, используя имплантаты лишь в качестве дополнительных опор, усиливающих фиксацию съёмных протезов. Выявлены преимущества применения протезов с фиксацией на имплантатах, перед съёмными протезами изготовленных традиционным методом при множественной потере зубов с неблагоприятными условиями протезного ложа.

При неблагоприятных клинических ситуациях с одиночно оставшимися зубами, если учесть, что живой зуб совершенно безболезненно выдерживает отклонение от оси (отклонение по амплитуде его величина составляет десятые доли миллиметров), после снятия нагрузки происходит восстановление его связей в месте посадки. Для имплантата это явление, не приемлемо, восстановление связок пока в литературе не встречается. При сохранившихся одиночных опорах возникает необходимость усиления фиксирующей части имплантатами и связывать в единый блок пародонт—имплантат (ПИ), способную выполнять опорную функцию, мы сочли жёсткость фиксации оправданным, так как базис протеза выполняет покрывающую телескопическую базу.

Базис протеза при имплантации является прочной шинирующей конструкцией, который объединяет имплантаты и сохранившиеся зубы в еденный блок, так же имеет эластичную основу покрывающая участок протезного ложа амортизирующим материалом. За счет использования такого мягкого материала удалось минимизировать риск возникновения дискомфорта у пациента даже при наличии сильных воспалений.

По первой группе было проведено сравнительный анализ в зависимости от клинических ситуаций, адаптивные способности слизистой и пародонта полости рта на короткое время, создают комфортное функциональное состояния. Основными параметрами для нашего изучения является влияние базисов протезов на ткани протезного ложа и на части опорных элементов. Параметры, определяющие концентрацию напряжения в ортопедических конструкциях, являющимся центром отражения и перераспределения давления, в зависимости упругости является причиной долговечности конструкции, на которую было уделено целая глава математической модели биомеханических расчетов.

Во вторую группу (30 человек) вошли пациенты, съемные протезы которых фиксировались при помощи имплантатов «Витоплант» двухэтапные различного диаметра и длины. 26 пациента были протезированы протезами на нижнюю

челюсть и 4 аналогичными протезами — на верхнюю, с опорой на имплантаты, учитывались биомеханика челюстей и клинические показатели зубов антагонистов, по которым была создано три группы.

- 1. Зубной ряд интактный, здоровый пародонт
- 2. Имеются несъемные протезы, здоровый пародонт опорных зубов
- 3. Антогонирующая челюсть с полным съёмным протезом

По нашим наблюдениям выявлены следующие недостатки частичных съёмных зубных протезов

Кроме того, между дёсенными тканями и протезом, пространство заполненный этим материалом создаёт изоляцию протезного ложа от полости рта, который значительно облегчает гигиену полости рта. Все это оправдывает проведение имплантации при пародонтозе и пародонтите.

Контрольная и основная группа существенно не различалась по качественному составу признаков, например, не наблюдалось сопутствующих заболеваний в этих группах. В случае наличия заболеваний с последствиями могли изменить результаты исследования (таблица 3.4.1).

Клинически-лабораторные исследования в ближние сроки показали, что у основной группы при применении имплантатов для улучшения фиксации наблюдалось улучшения общего самочувствия, без изменения показателей протезного ложа у 24 пациентов (23±0.7%).

Таблица 3.4.1 — Сравнительный анализ изготовленных протезов традиционным методом и с применением имплантатов.

Клиническая	Традиционный метод	Имплантаты				
характеристика	(%)	(%)				
Протезные стоматиты	56,0	13,0				
Гиперемия	81,0	10,0				
Неудовлетворительная	40,0	6,0				
фиксация						

Продолжение таблицы 3.4.1

Патологическая	25,0	-
подвижность зубов		
Патологический	37,0	13,0
зубодесневой карман		
Оседание базиса	43,0	-
Без изменений	9,0	70,0

При этом только у 3 пациентов (9.6±0.1%) контрольной группы, где возмещение частичной адентии происходило без изменения показателей протезного ложа традиционным методом изготовления, что намного меньше, чем в основной группе (Р>0.05).

Протезные стоматиты слизистой оболочки в основной группе при применении имплантатов для улучшения фиксации протезов, что составило (4.10%±0%), в контрольной группе, этот показатель составил у 18 пациентов (57.6±0 %).

Оседание базиса изготовленных традиционным методом составили у 18 пациентов ( $35.2\pm0.2\%$ ), (P<0.05%), при этом у пациентов основной группы отмечалось улучшение фиксации съемных протезов, отсутствовало признаков проседания базиса.

При первой практике протезирования, время затрачивается, к привыканию и преодолению состояния дискомфорта в полости рта.

В протезах имеются реттенционные пункты скопление пищевого мусора, пористость структуры материала способствует накоплению микроорганизмов, грибкового и др. зубного налета на поверхности протеза или в результате низкой гигиены полости рта, могут привести к кариесу и заболеваниям дёсен.

При наличии нарушения необходимой формы прилегания протезному ложу, имеются паразитарные узлы, травмирование десен, смещения опорных зубов.

В контактных участках базиса протеза с протезным ложем, отмечается наличие деградация остеогенного слоя из-за нарушения трофической функции десны, связанный сдавливанием сосудов, потеря костной ткани, которая со временем может повлиять и на пародонт опорных зубов.

Протезирование, при множественной адентии с опорой на сохранившиеся зубы и поддержкой имплантатами. Сохранившиеся зубы, если их осталось всего один две штуки, даже корни с разрушенными коронками, возникает необходимость использовать их в качестве опоры под протезы. Практика показывает, даже восстановленные в таком случае они начинают выполнять свои функции, принимать на себя повышенную нагрузку.

# 3.5 Сравнительный анализ эффективности лечения пациентов при множественной адентии с неблагоприятными условиями фиксации и стабилизации с использованием внутрикостных имплантатов

Для оценки клинической эффективности лечения больных с множественной адентии традиционным способом и с применением имплантатов, было обследовано 62 пациентов, которые были разделены, а две группы для сравнения.

- 1) В основной группе 30 (44.9 %) пациентов с множественной адентией с неблагоприятными условиями, где для улучшения фиксации протезов использовались имплантаты.
- 2) В контрольной группе пациентов с множественной адентией, при неблагоприятных условиях для фиксации съёмных протезов традиционным способом было 32 (55%) участника.
- 3) Для более точной верификации эффективности ортопедического лечения для фиксации протеза с применением имплантатов, мы стремились смоделировать одинаковый лечебный фон у пациентов.

Всего принято 62 больных на лечение, среди них 28 мужчин и 34 женщин в возрасте от 40 до 74 лет

Пациенты в возрасте от 40 до 74 лет выбраны по нуждаемости в ортопедическом лечении. Причина возникновения множественной адентии у 50 пациентов является удаление остатков корней, сохранившиеся после разрушения коронковой части зубов.

Таблица 3.5.1 – Анализ дефектов зубных рядов, проведённый нами согласно возрасту

Пол	Адентия	41-50		51-60		61-70		71-74		Всего	
		абс.	%	абс	%	абс	%	абс	%	абс.	%
Муж-	Частичная	6	75	5	50	1	33,3	1	33,3	13	20,9
ЧИНЫ	Полная	2	25	5	50	2	66,7	2	66	11	17,7
Жен-	Частичная	6	60	2	14,3	-	-	-	-	8	12,9
щины	Полная	4	40	12	85,7	6	100	4	100	26	41,9
Всего	Частичная	12	54,14	7	33,3	1	4,16	1	4,16	21	33,8
	Полная	6	16.2	17	5,9	8	21,6	6	16,2	37	59,6

Множественная потеря зубов является распространенной патологией зубочелюстного аппарата. Этиология потери зубов, опирается на множество различных факторов и является распространенным процессом.

Нами замечена, для эффективного лечения, восстановления эстетических и функциональных норм, важным фактором является степень атрофии альвеолярного отростка и уменьшение объема и качества костной ткани. Частичное отсутствие зубов становится причиной осложнений, развития специфических деформацией в зубном ряду, дисфункции височнонижнечелюстных суставов.

Довольно необходимых часто ДЛЯ достижения результатов восстановления целостности зубного ряда используют частичные съёмные протезы. В связи с этим при изготовлении частичных съёмных протезов часто возникает момент эффективного выбора ортопедической конструкции профилактического И лечебного назначения.  $\mathbf{C}$ восстановлением эстетические нормы и внешнего вида пациента, в связи, с чем являются востребованными.

Нами исследованы направления на повышение эффективности лечения съёмными протезами при наличии сохранившихся корней и одиночных

зубов. Вопрос об использовании корней зубов в целях протезирования оставался достаточно сложным и противоречивым на всем протяжении зарубежной стоматологии. развития отечественной И Общепринятое ортопедическое лечение традиционное множественной адентии, неблагоприятных условиях протезного ложа требует грамотного решения задачи стабилизации съёмных протезов. В практике ортопедической стоматологии применялись разнообразные конструкционные системы для их фиксации.

Наши клинические наблюдения показали, что сохранявшиеся зубы при частичной адентии резко изменяет размеры и конструкции протезного базиса, так же законы адгезии, уровень стабильности протезов.

Пациенты сравнивают и оценивают эффективность восстановленных конструкций, сравнивая их на фоне ранних опытов перенесённого неудобства в полости рта. В процессе изучения нами были замечены, стабильность протеза и равномерное распределение жевательной нагрузки будет зависеть в первую очередь от сохранности высоты гребня альвеолярного отростка, которая является прямым показателем сохранности размеров площади протезного ложа, от качества оттиска, от точности повторения рельефа пластиной протеза твёрдой основы костей челюсти (законы статики). От знания состояния поверхности слизистой, разнородности от 03 -2.5мм податливости и определения толщины слизистой в различных участках неба и альвеолярного отростка, которые морфологически изменяется от влияния клинических факторов.

В отдельных областях слизистая имеет плотную связь с костной основой, чередует с участками жировой прослойки с обильной сосудистой и лимфатической сетью. Наличие сохранившихся зубов может двояко влиять на стабилизацию пластинчатых съемных протезов.

При желании пациента иметь красивую, долговечную и надежную жевательную систему на имплантатах, необходимо учитывать биомеханику зубочелюстного аппарата. Мы в свою очередь вычисляли факторы, которые

могут привести к постепенно возрастающей перегрузке конструкции, травме опорных элементов, которые станут причиной нарушения остео интеграции имплантата в их местах адаптирования. Кроме того, на имплантат действует давление под множеством векторов. При этом следует учесть, что чем длиннее внекорневая часть плеча опоры, тем легче будет раскачать их. Увеличение амплитуды в результате может измениться и от плотности прилегания каркаса протеза к протезному ложу. Чем подвижнее протез, тем больше деформация будет проявляться на естественных опорах или имплантатах.

Учитывая вышеперечисленные замечания, для надежного сохранения оставшихся одиночных зубов, целесообразно использовать изученные нами клинические данные. При наличии естественных опорных структур, достаточно надёжной и оптимальной является конструкция телескопической системы фиксации. Метод даёт очень прочную и рациональную опору, кольцеобразно охватывающую зуб и другие опоры, полноценно отражая жевательное давление, ограничивая их наклон при нагрузке оклюзионного поля, в связи, с чем показаны использование даже при подвижных зубах. Конструкция телескопических конусных коронок могут изменит степень давления от степени выраженности наклона, также невозможны такие явления, как перекашивание, заклинивание которые объясняются тем, что каркас протеза выполняет функцию балки объединяя и ограничивая движение опор в вертикальной и горизонтальной плоскостях. Положение протеза изменяется в процессе пережёвывания, в конце жевательного давления коронка встаёт в своё конечное положение почти автоматически.

При конструировании зубных протезов с использованием имплантатов, при большом пространственном расхождении высоты альвеолярных гребней возникают сложности, неблагоприятные для функционирования опор имплантатов. В таких случаях целесообразно сделать выбор в пользу съёмного протеза. Воссоздание требуемой меж альвеолярной высоты, приводит к резкому увеличению объёма и массы каркаса протеза. В таких

случаях также отдают предпочтение съёмной конструкции, используя имплантаты лишь в качестве дополнительных опор, усиливающих фиксацию съёмных протезов. Выявлены преимущества применения протезов с фиксацией на имплантатах, перед съёмными протезами изготовленных традиционным методом при множественной потере зубов с неблагоприятными условиями протезного ложа.

При неблагоприятных клинических ситуациях с одиночно оставшимися зубами, если учесть, что живой зуб совершенно безболезненно выдерживает отклонение от оси (отклонение по амплитуде его величина составляет десятые доли миллиметров), после снятия нагрузки происходит восстановление его связей в месте посадки. Для имплантата это явление не приемлемо, восстановление связок пока в литературе не встречается. При сохранившихся одиночных опорах возникает необходимость усиления фиксирующей части имплантатами и связывать в единый блок пародонт – имплантат (ПИ), способную выполнять опорную функцию, мы сочли жёсткость фиксации оправданным, так как базис протеза выполняет покрывающую телескопическую базу.

Базис протеза при имплантации является прочной шинирующей конструкцией, который объединяет имплантаты и сохранившиеся зубы в единый блок, так же имеет эластичную основу покрывающая участок протезного ложа амортизирующим материалом. За счет использования такого мягкого материала удалось минимизировать риск возникновения дискомфорта у пациента даже при наличии сильных воспалений.

По первой группе было проведено сравнительный анализ в зависимости от клинических ситуаций, адаптивные способности слизистой и пародонта полости рта на короткое время, создают комфортное функциональное состояния. Основными параметрами для нашего изучения является влияние базисов протезов на ткани протезного ложа и на части опорных элементов. Параметры, определяющие концентрацию напряжения в ортопедических конструкциях, являющимся центром отражения и перераспределения

давления, в зависимости упругости является причиной долговечности конструкции, на которую было уделено целая глава математической модели биомеханических расчетов.

Во вторую группу (30 человек) вошли пациенты, съемные протезы которых фиксировались при помощи имплантатов «Меда Gen» двухэтапные различного диаметра и длины.

26 пациента были протезированы протезами на нижнюю челюсть и 4 аналогичными протезами — на верхнюю, с опорой на имплантаты, учитывались биомеханика челюстей и клинические показатели зубов антагонистов,

Контрольная и основная группа существенно не различалась по качественному составу признаков, например, не наблюдалось сопутствующих заболеваний в этих группах. В случае наличия заболеваний с последствиями могли изменить результаты исследования.

Пациентка Ч-ва. С. Б. 1956 года рождения. История болезни № 17.

Пациентка обратилась в клинику с жалобами на неудобства ранее изготовленных пластинчатых протезов, затруднённое жевание, эстетический дефект. Потерю зубов связывает несвоевременным обращением к врачам и осложнёнными формами кариеса. Других жалоб по общему состояния здоровья не имеет, считает себя здоровой. Перенесённых и сопутствующих заболеваний нет, не обращалась к специалистам.

Объективные исследования, внешний осмотр: наличие признаков потери зубов, углубление носогубных складок, заеду. Впадение губы и щёк. Состояние слизистой оболочки полости рта, альвеолярного отростка и неба: бледно розовая, здоровая.

Данные рентгенологических и лабораторных исследований: на панорамном снимке отмечается оголение в пришеечной области зубов на 1/4, что является результатом потери зубов и пользования протезами, стоматологический статус.

0	П	0	П	П	0	0	0	0	0	0	0	П	0	0	0
18	17	16	15	14	13	12	11	21	22	23	24	25	26	27	28
48	47	46	45	44	43	42	41	31	32	33	34	35	36	37	38
					К					С					

На 17; 15; 14; 25; стоят пломбы. На 33 глубокая полость, 43 закрыта коронкой.

Диагноз: Вторичная частичная адентия, комбинированные дефекты зубных рядов верхней челюсти (3 класс по Гаврилову). Одиночно сохранившиеся зубы в области клыков (2-й класс, 2-й подкласс по Миргазизову)

### План лечения.

- 1. Установить двухэтапный винтовой имплантат в области 37 и 47 зубов челюсти.
- 2. После успешной интеграции имплантатов, на неделю установить десна формирователи.
  - 3. На сформированную десну установить аббатменты с патрицей.
- 4. Изготовление пластинчатого протеза с опорой на 33 и 43 зубы, где изготовлены телескопические колпачки и имплантата в области 37 и 47 зубов с патрицей.
- 5. Для предотвращения атрофии альвеолярного отростка челюстей, нанести эластический слой на пролегающую поверхность протезов.

# Хирургический протокол:

29. 08. 2013 г пациентка прошла клинико-лабораторные обследования.

С планом лечения и возможными осложнениями ознакомлена. Предоперационный эпикриз: жалобы на неудобства протеза нижней челюсти, функциональный и эстетический дефект. Прошла санацию у врача терапевта пародонтолога.

Объективно: состояние пациентки удовлетворительное, лабораторные анализы чистые (сахар 4.7), температура тела 36.6 °C.

Под инфильтрационной анестезией sol. Ubestesini 4% 1.8 ml. слизистой в области операционного поля, с помощью дрель боров по нарастающему диаметру при обильном орошении физ. раствора, были просверлены лунки, далее с помощью имплантовод установили двухэтапные имплантаты «МедаGen» в количестве 2 штук, в проекции 37 и 47 зубов.

Важным условием является требование, на нижней челюсти между дном лунки и до нижнечелюстного канала должно быть не менее 6-7 мм кости, которую можно проконтролировать по данным томографии и выбором длины боров.

В сформированное ложе установлен имплантат: длиной - 11.5 мм, наружный диаметр — 4.5 мм. Имплантат погружен в компактную кость на 1 мм, установлена заглушка. Вокруг импланта на 2 мм выше уровня заглушки уложена костная масса, наращено объем ширины гребня альвеолярного отростка. Проверка первичной стабилизации имплантатов с помощью специальных трещоток удовлетворительная. Слизистое-надкостничный лоскут уложено, рану стянули по краям концами шовным материалом «Vicril» 5/0. гемостаз, дан совет соблюдать температурный режим в течении недели и в течении первых двух суток не чистить и не полоскать полость рта, чтобы не нарушить преципитацию на стыках раны.



Рисунок 3.5.1 – Полость рта после операции.

Посещение через три дня.

## Назначение врача:

- 1. «Остеогенон» по 1 таблетке в день № 40
- 2. «Йод актив» по 1 таблетке в день № 40
- 3. «Салподеин» по 2 таблетки при острых болях.
- 4. «Напроф» при болях
- 5. Десенсибилизирующая терапия «Диазолин» 100 мг. по 1 таблетке на ночь в течение двух-трех дней.

С третьего дня ванночки раствором «Йодинола» по три раза в день в течение недели.

2.09.2013 г. Жалобы на слабую боль в области швов, общее состояние удовлетворительное.

Температура тела 36.6°С. Артериальное давление 124 на 83 мм/ ртутного столба.

По истечению времени заживления раны в течении двух недель;

Объективно: при внешнем осмотре асимметрии нет, кожный покров чистый. В полости рта, слизистая оболочка области швов не имеет признаков воспаления, бледно розового цвета, остаётся слабо заметная полоска разреза ткани. Сохранены полоски шовного материала.

При контрольном осмотре, рентгенограммы: имплантаты стоят параллельно, расстояние до нижнечелюстного канала безопасное.

Первичная стабилизация импланта проверялось аппаратом «Частотно резонансным анализатором», после установки стержня внутри импланта, аппаратное определение дало 74 кгц.

Решено для улучшения фиксации съёмных протезов стоит использовать коронки, которые телескопические состоят ИЗ внутреннего покрывающего культю опорного зуба и фиксируемого на цементе и наружной коронки с восстановленной анатомической формой являющиеся частью протеза. Сохранившиеся депульпированные клыки были укорочены, уменьшая плечо рычажного воздействия при разжевывании, сила нагрузки на опоры регулируется, просто меняя угол наклона конуса опорного элемента. Мы решили при обточке создать 05 градусный уклон, также учли толщину протеза с искусственными зубами, которые должны закрывать эти колпачки и обеспечение При эстетичности. фиксации протеза наружная часть телескопической коронки точно садится на внутреннюю часть, образуя механическое фрикционное соединение, в котором используется сила трения. Зубы, покрытые телескопическими коронками, не испытывают функциональной нагрузки, поскольку нагрузка идёт строго по оси зуба. Также учтены посадка протеза на имплантаты, выемки под патрицу аббатментов. Полимеризация проведена по классическому протоколу.



Рисунок 3.5.2 – Подготовки под протезирования.

Дневник ортопедических процедур:

- 9. 9. 2013 г. установка десну формирователей.
- 18. 9. 2013 г. установка аббатментов с патрицей. Снятие оттисков с верхнего и нижнего челюстей.
- 19.9. 2013 г. определение высоты прикуса в положении центрально окклюзии. 20.9.2013 г. проверка восковой конструкции.
  - 23.9. 2013 г. коррекция и сдача протеза.





Рисунок 3.5.3 – Готовый протез нижней челюсти.

Контрольное посещение 25.9.13. жалобы отсутствуют Пациентка больше уделяла внимание к болевым проявлениям в период лечения. При стандартной процедуре двухэтапной имплантации, время вторичной консолидации занимает от трёх до шести месяцев, затрачивается на перерождении костной ткани, условия завершения лечения ортопедических конструкций.

Таким образом, оптимальной может считаться и система, зафиксированная на клыках и боковых единицах, круговая шина успешно разгружает жевательное давление противоположной стороны. Если опоры достаточно устойчивы, шинирование устойчива, пародонт отличается сохранностью, в итоге протез прослужит намного дольше.

Предложенный нами метод имплантации даст возможность:

- точной навигация и расположения имплантата под ортопедическую конструкцию независимо от количества адоптированных имплантатах;
- безопасно позиционировать имплантат во всех направлениях, включая глубину погружения;
  - простота и предсказуемость операции;
- возможность установить постоянные аббатменты и временные коронки сразу после операции;
  - анализировать состояние костной ткани мягких тканей и десны:
  - точное определение структуры и типа костной ткани.

Сегодня для точного и результативного протезирования используется технология САD/САМ (хирургических шаблонов). Технология САD/САМ подразумевает трёхмерное моделирование ложа при помощи компьютерных Digital технологий). Программа оснащена функцией Eye. преобразования оттенков серого по цветовой шкале, математического появилась возможность визуально достоверно определять тип плотности Программа оснащена функцией Digital Eye. За счёт участков кости. преобразования оттенков серого по цветовой шкале, математического появилась возможность визуально достоверно определять тип плотности участков кости.

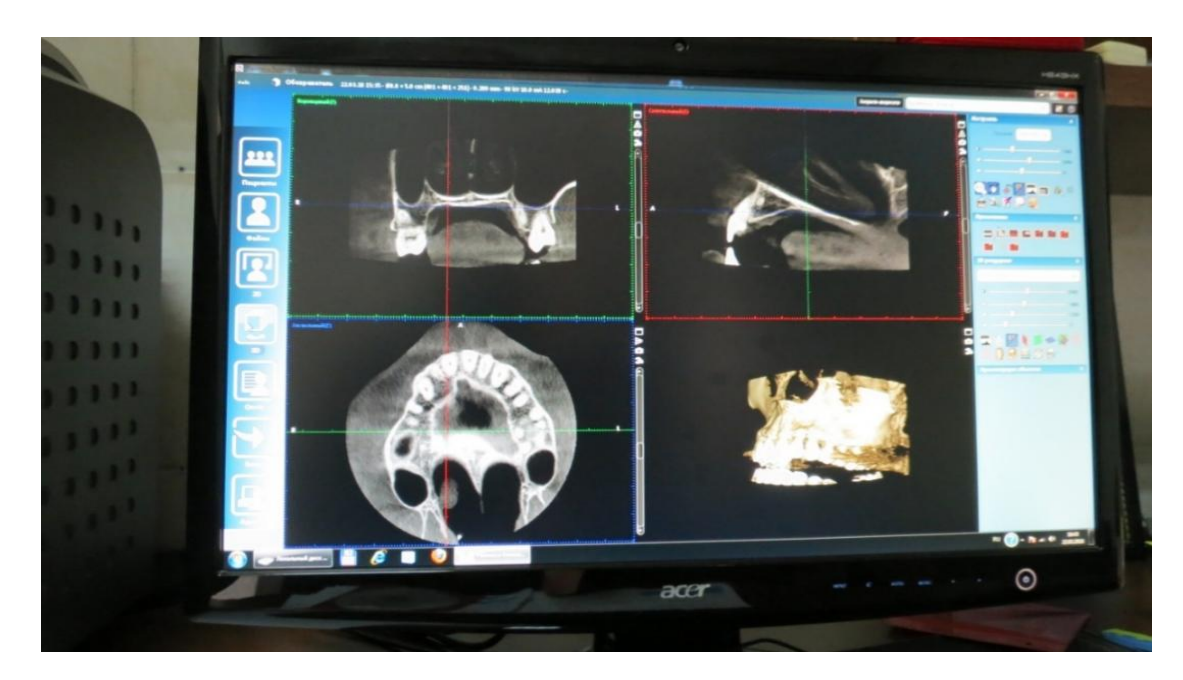


Рисунок 3.5.4 – Программа прогнозирования.

Программа способствует расчёту алгоритма подготовки имплантационного ложа для обеспечения высокой первичной стабильности имплантата, которую можно проверить (резонансно-частного анализа) прибором.

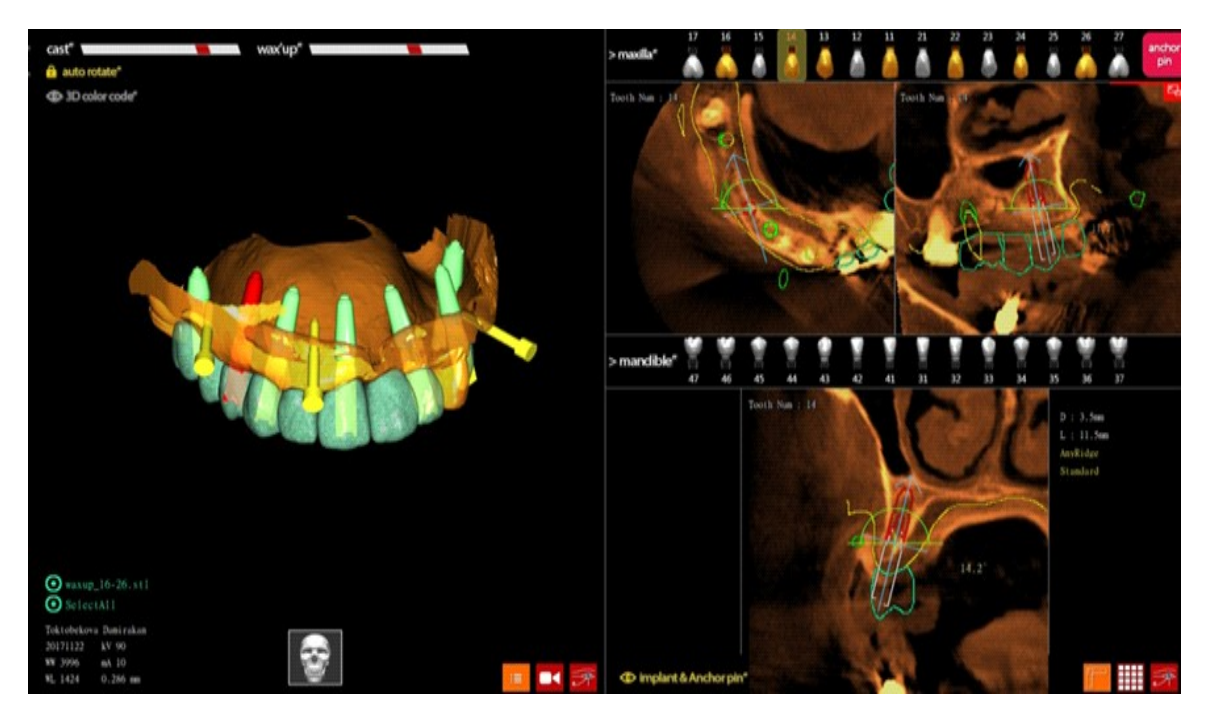


Рисунок 3.5.5 – Конструирование протезов.

Программа, разработанная специально для наложения срезок КЛКТ (DICOM-файлов) на сканированные изображения (STL-файлы), также может быть

использована для регистрации прикуса в центральной окклюзии и потом при компьютерной томографии. Программа также позволяет провести трёхмерную симуляцию хирургических процедур, способствует точно спланировать создание ложа под имплантат, намечая область расположения остеотома.

Последние достижения в цифровых технологиях открывают широкие перспективы в дентальной имплантологии. При получении изображений в трёхмерной проекции, открылись возможности объёмного изучения необходимого участка костей челюсти, которые были недоступны при двухмерном исследовании. Очень важно оценить объем костного гребня и его контуры для стабильной установки имплантата и ортопедической конструкции. Программа также позволяет провести трёхмерную симуляцию хирургических процедур, способствует точно спланировать создание ложа под имплантат, намечая область расположения остеотома.

Сегодня для точного и результативного протезирования используется технология CAD/CAM (хирургических шаблонов). Технология CAD/CAM подразумевает трёхмерное моделирование ложа при помощи компьютерных технологий.

Новый метод позволяет избегать осложнений, используя инновационные шины шаблоны, который даёт возможность:

- виртуального планирования положения имплантатов и анализ возможности имплантации;
- подготовки данных для изготовления направляющих шаблонов с любыми вариантами фиксации (на зубной, накостной, на десневой);
- виртуального восстановления искусственных зубов в области дефектов зубных рядов;
- разметки данных компьютерной томографии построение кроссекций (сечений) по оси планируемой искусственной опоры;
- установки виртуальных аналогов имплантатов (для любых систем) в плоскости сечений, сэкономив на этом немалую сумму;

- проектирования и изготовления направляющих шаблонов;
- виртуального планирования направляющих шаблонов с высокой точностью посадки;
  - планирование аугментации.
- правильно адаптировать имплантат, но и провести целенаправленное лечение с окончательной реставраций слизистой оболочки полости рта.
- -конструирование индивидуальных аббатментов, который позволяет прогнозировать окончательный результат.

Последние достижения в цифровых технологиях открывают широкие перспективы в дентальной имплантологии. При получении изображений в трёхмерной проекции, открылись возможности объёмного изучения необходимого участка костей челюсти, которые были недоступны при двухмерном исследовании. Очень важно оценить объем костного гребня и его контуры для стабильной установки имплантата и ортопедической конструкции.

После всестороннего анализа клинической ситуации, вместе с техником мы планировали ориентировочный план лечения, который будет предусматривать установки той конструкции имплантата, который подходит именно к этому участку сегмента кости. По соглашению с пациентом мы также можем получить вместе с хирургическим шаблоном, абатмента и временную коронку.

Для снятия оттиска планируемой челюсти, используют специализированную ложку.



Рисунок 3.5.6 – R2 Tray, прикусная ложка, для фиксации окклюзии.



Рисунок 3.5.7 – Модель челюсти.

Изготовленная модель традиционным методом используется для комбинирования R2 Tray, прикусной ложкой.



Рисунок 3.5.8 – Прикусная ложка R2 Tray с отпечатками зубов.

Ложка необходима для создания КТ виртуального оттиска челюсти. Полученная с помощью компьютерной томографии данные 3D оттиска, сопоставляется с виртуальным сканом (сканер Т-300, рисунок 3.5.9) гипсовых моделей.



Рисунок 3.5.9 – Стационарный сканер для модели.

После сбора информации о состоянии полости рта пациента, все данные загружается в программу R2 Gate для виртуальной моделировки зубного ряда и расстановки имплантатов согласно анатомическим особенностям интереса. По этой программе можно установить имплантат виртуально согласно нашим требованиям в трехмерном объеме, тем самым учесть не только его погружение по глубине и расположение относительно состояния костной структуры, что обеспечивает надежность и долговечность данной комбинации. Проверяя программу, внимательно изучаем прилегание имплантата в костной ложе, запас окружающей твердой опоры.

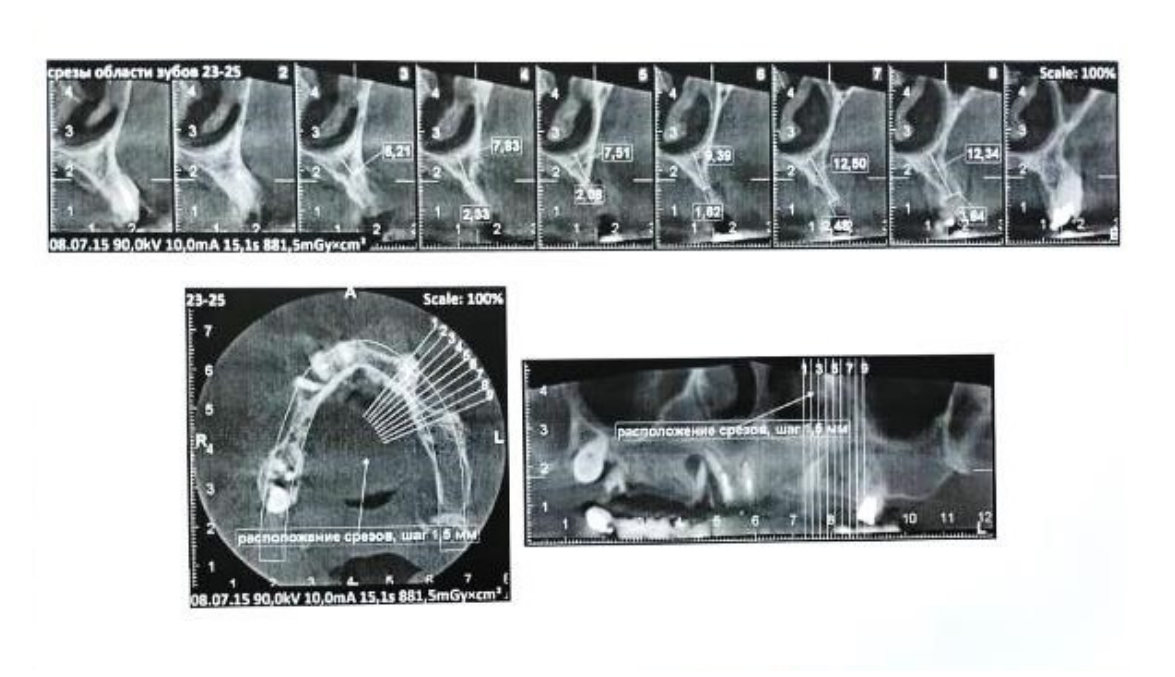


Рисунок 3.5.10 – Результат томографического исследования.



Рисунок 3.5.11 – 3D принтер.

При удовлетворительном результате распечатывается шаблон на 3D принтере.



Рисунок 3.5.12 – Индивидуальный хирургический шаблон.

Хирургические шаблоны печатаются индивидуально по К.Т. каждого пациента, программа на основе виртуальных данных, учитывает структуру костных тканей, рассчитав резервную толщину, окружающую «Колодцы», где необходимо установить имплантаты, отверстия (в том числе угол наклона) определяются компьютерной программой, по результатам компьютерной томографии.

Специальное отверстие в шаблоне позволяет проводить сверление безболезненно, точно и менее инвазивно. Соблюдая хирургический протокол по формированию костного ложа с орошением имплантационного ложа антисептическими растворами, тем самым предохраняя костную ткань от перегрева и инфицирования костных лунок.

Клинический пример. Пациентка Д.Э. с 1966 г.р. История болезни № 67

Пациентка обратилась с просьбой изготовить протез нижней челюсти, в течение последних десяти лет пыталась носить их, но неудачно, они не держались, в последнее время разочаровалась и не носила.

Объективно; внешний осмотр: наличие признаков потери зубов, углубление носогубных складок, в углах рта – ангулиты (заеды). Впадение губы и щёк. Состояние слизистой оболочки полости рта, альвеолярного отростка и неба: бледно розовое, здоровое.

### Стоматологический статус

Ο	O	R	O	O	0	Ο	O	0	0	Ο	O	Ο	К	Ο	Ο
18	17	16	15	14	13	12	11	21	22	23	24	25	26	27	28
48	47	46	45	44	43	42	41	31	32	33	34	35	36	37	38
0	0	0	0	0	R	pt A	A II	pt	0	0	0	0	0	0	0

Протокол рентгенологических исследований:

16- корень, отсутствует коронковая часть зуба, верхняя частично затянуто слизистой, очаги воспаления отсутствует.

26- зуб, леченный, имеет металлическую штампованную коронку.

31-зуб, оголение шейки зуба, расширение периодонтальной щели Затемнение около верхушечной зоны

41-зуб, оголение шейки зуба, расширение периодонтальной щели, подвижность 2 степени. Затемнение около верхушечной зоны

42-зуб, оголение шейки зуба, расширение периодонтальной щели, отсутствие подвижности. Затемнение около верхушечной зоны

43-зуб, коронковая часть зуба разрушена, каналы были лечены раньше. Культа зуба выступает над уровнем слизистой на 2 мм.

При визиографии отмечается следы лечения каналов зубов со следами лекарственных средств, расширение периодонтальной щели, истончение костной пластинки вокруг корней зубов.



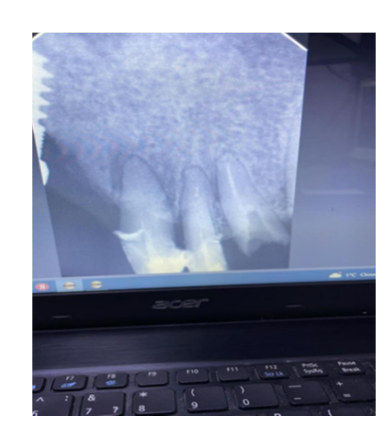


Рисунок 3.5.13 – визиография зубов.

Данные рентгенологических исследований: на панорамном снимке отмечается оголение в пришеечной области зубов на ½ 26-го зуба, что является результатом потери зубов и пользования протезами. Остеопороз костей верхней челюсти, на нижней челюсти убыль кости по высоте, остаточная высота тела нижней челюсти отражён в виде тонкой полоски более выраженная на левой стороне. Сохранены подвижные зубы с оголенными корнями в области 31; 41; 42; 43 зубов.

Диагноз: Вторичная частичная адентия, с одиночно стоящими зубами (4 класс по Гаврилову). Одиночно сохранившийся зуб в области шестого зуба (2-й класс, 2-й подкласс по Миргазизову) слева на верхней челюсти.

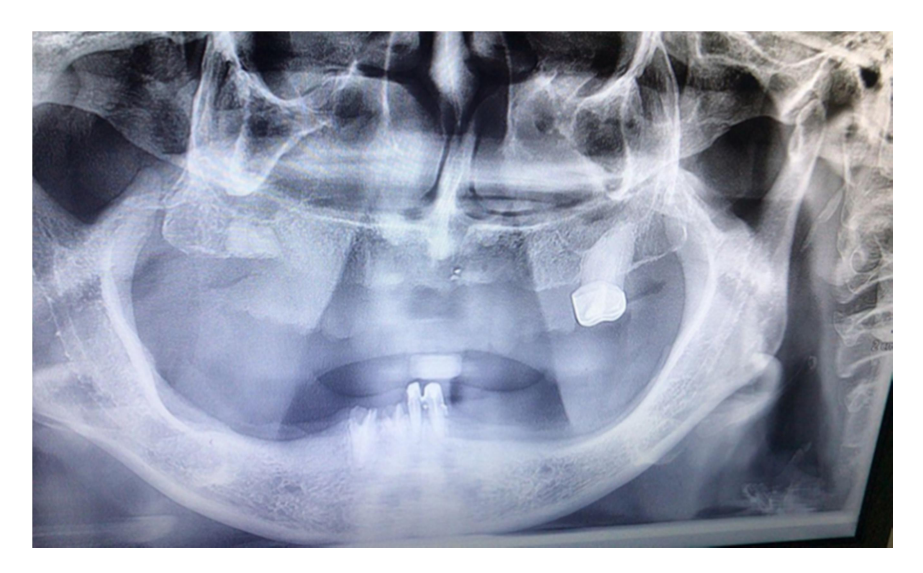


Рисунок 3.5.14 – Панорамный снимок пациента.

Состояние пациента удовлетворительное, со стороны других систем организма жалоб не имеет, пациент нуждается в протезировании с удовлетворительной фиксацией, возможно с применением имплантатов.

Предварительно проведено обследование, получены анализы крови, мочи, глюкозы в крови. Измерение артериального давления — показатели были ниже нормы, но это являлось рабочей нормой для пациента (73 — 102 мм ртутного столба).

Со стороны височно-нижнечелюстного сустава жалоб нет, снижена высота окклюзии, шумов и боли не замечена. Открывание и закрывание плавное, равномерное.

План лечения.

- 1. Установить двухэтапный винтовой имплантат в области 33; 37 и 47 зубов челюсти с последующим протезированием.
- 2. После успешной интеграции имплантатов, установления формирователей десны, затем аббатментов с патрицей.
- 3. Изготовление пластинчатого протеза с опорой на 43 зуб, с телескопической фиксацией.
- 4. Для предотвращения атрофии альвеолярного отростка челюстей, нанести эластический слой на пролегающую поверхность протезов верхней челюсти.

Хирургический протокол:

29.08.2022 г. Пациентка прошла клинико-лабораторные обследования.

С планом лечения и возможными осложнениями ознакомлена. Предоперационный эпикриз: жалобы на неудобства протеза нижней челюсти, функциональный и эстетический дефект. Прошла санацию у врача терапевта пародонтолога.

Объективно: состояние пациентки удовлетворительное, лабораторные анализы чистые (сахар 4.7), температура тела 36.6 °C.



Рисунок 3.5.15 – Хлоргексидин 12%, производства Италии.

Перед проведением оперативных процедур пациента просили хорошо прополоскать полость рта, используя раствор «Хлоргексидин» на основе 12%, специальные жидкости с дезинфицирующими свойствами, промывать полость рта и очищать от остатков пищи и слюны.

Под инфильтрационной анестезией Sol. Ubestesini 4% 1.8ml., с помощью свёрл по нарастающему диаметру, далее спиралевидными свёрлами, при обильном орошении физраствора, были сформированы лунки, далее с помощью имплантоводов установили двухэтапные имплантаты (Mega Gen, Южная Корея) в количестве 3 штук, в проекции 33; 37 и 47 зубов.

Важным условием является требование, когда на нижней челюсти между дном лунки и до нижнечелюстного канала должно быть не менее 6-7 мм. кости, которую можно проконтролировать по данным томографии и выбором длины боров. В связи с неблагоприятным условием отсутствия необходимого количества кости, нами принято решение интегрирования имплантата длиной диаметром 10 и 3 MM. медиальнее нижнечелюстного инфильтрационной анестезией в целях обеспечения контроля приближения к Нами проведена установка хирургического шаблона на нервному каналу. планированное место, проверив фиксацию, приступили к процедуре анестезии, Sol/ Ubestesini 4%/ 1.8 ml/. обработали операционное поле спрей антибиотиком. Убедившись в действии анестезии, приступили к первому этапу процедуры, для

раскрытия поля сверления, убирали мягкие ткани с помощью «мукотомом». Затем произвели поэтапное сверление, соблюдая очерёдность боров сверления по протоколу.

Изменение диаметра по протоколу обеспечивает минимизацию травмирования, избегать перегрева кости, точное плановое прилегание, достичь оптимальной глубины и главное первичную стабильность.



Рисунок 3.5.16 – Ход операции.

Адаптирование имплантатов проводится машинным путём с помощью боров имплантовод.

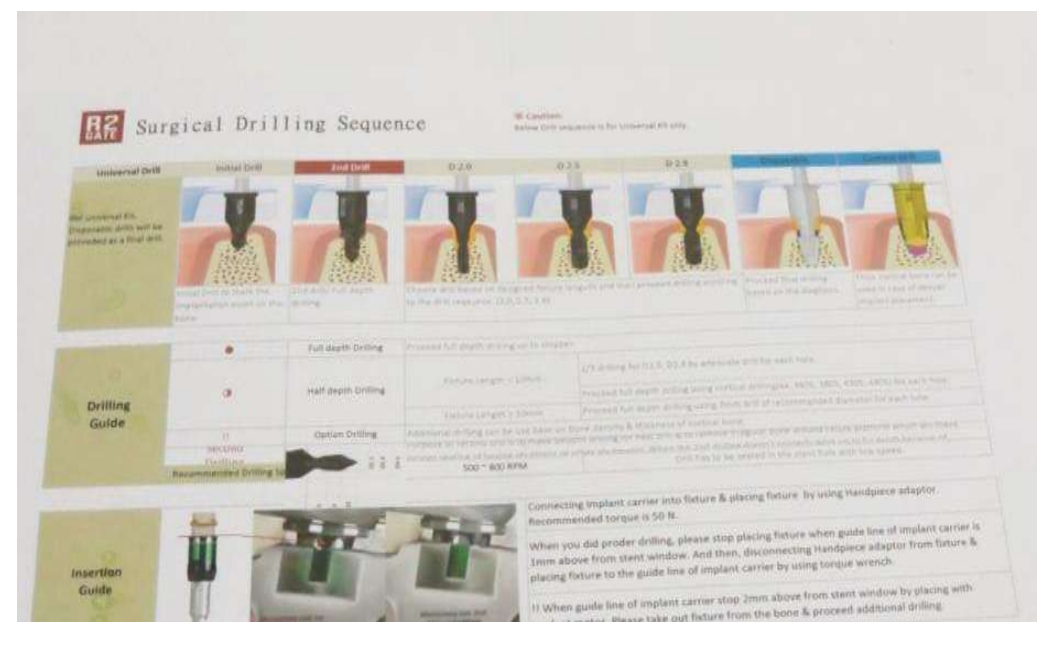


Рисунок 3.5.17 – Последовательность используемых боров по размеру.

Окончательная проверка первичной стабильности доводим ключом трещоткой и доводим цифровое значение до 35 деления.

По окончании процедуры произвели процедуру проверки (резонансночастотного анализа) прибором, используемым для регистрации резонансных электромагнитных колебаний имплантата, полученный результат отображаются на дисплее. По полученным результатам мы определяем уровень стабильности имплантатов в кости, определяем сроки дальнейшего протезирования,

Также можем получить информацию о стабильности имплантата на различных этапах заживления и функционирования [1, 7].



Рисунок 3.5.18 – MEGA-ISQ- аппарат для определения коэффициента стабильности имплантата.



Рисунок 3.5.19 — Штифт «SmartPeg», с магнитной насадкой.



Рисунок 3.5.20 – Результат стабильности имплантата.

Магнитные импульсы передаются с наконечника прибора на насадку Smart Peg, которая вручную вкручивается к имплантату. Это вызывает вибрацию, которая фиксируется аппаратом и измеряется. Чем больше стабильность имплантата, тем больше показания прибора, в нашем случае аппарат показывал 74-75 баллов.

В сформированное ложе установлен имплантат: длиной - 10.0 мм, наружный диаметр — 3.0 мм. Имплантат погружен в компактную кость на 1 мм, установлена заглушка. Первичная стабилизация имплантатов удовлетворительная.



Рисунок 3.5.21 – Полости рта после операции.

Имплантат конструкции закрыт цветными заглушками для дальнейшего ориентирования мест расположения их.

### Назначение врача:

- 1. «Остеогенон» по 1 таблетке в день № 40
- 2. «Йод актив» по 1 таблетке в день № 40
- 3. «Салподеин» по 2 таблетки в день три дня.
- 4. «Напроф» при болях
- 5. Десенсибилизирующая терапия «Диазолин» 100 мг. по 1 таблетке на ночь в течении двух-трех дней.

С третьего дня полоскание раствором «Иодинол» в течении недели.

2.09.2022г. Жалобы на слабую боль в области имплантатов, общее состояние удовлетворительное. Температура тела 36.6°С. Артериальное давление 73 – 102 мм/ ртутного столба, соответствует норме.

Предложено соблюдение гигиены полости рта, использование мягкой щетки и нейтральных, без солей и абразивной зубных паст, полоскание.

По истечению времени заживления раны в течении двух недель.

Объективно: внешне осмотр без особенностей, кожный покров чистый. Полость рта, слизистая оболочка вокруг имплантатов не имеет признаков воспаления, слизистая оболочка без следов операционных ран бледно розового цвета, только остаётся слабо заметная полоска разреза ткани.

При контрольном осмотре рентгенограммы: имплантаты стоят параллельно, расстояние до нижнечелюстного канала безопасное.

Измерение коэффициента стабильности имплантата (КСИ) дает клиницисту возможность максимально точно оценить конкретную клиническую ситуацию. Сравнивая первичную стабильность имплантата, можно получить информацию об особенностях процесса заживления и взаимодействие имплантата в костной ткани. Подобный подход гарантирует успех имплантации даже у пациентов из группы высокого риска.

Первичная стабилизация имплантата проверялось аппаратом «Частотно резонансным анализатором», после установки стержня внутри имплантата,

аппаратное определение дало 74 кгц.

Мы использовали способ фиксации необходимый при неблагоприятных клинических ситуациях, с множественной адентией, возможности извлечение коронки и иметь возможность легко снять в случае возникновения проблем вокруг имплантата. Необходимости повторно затянуть винт имплантата после устранения причины снятия протеза, тщательной очистки перед заменой. Как правило, может быть выгодно использовать коронку на имплантатах с винтовой фиксацией при восстановлении зубного ряда включительно жевательных зубов, особенно верхних жевательных зубов в один блок, в участках ретинирование чаще возникают паразитарные травмы и накопление продуктов распада.

Следующим этапом, сканером получаем виртуальный оттиск, установив «мультиюниты» пациенту в имплантат.

По желанию пациента, приступили к изготовлению условно съёмного протеза на винтовой фиксации из акриловых материалов на время привыкания и нормализации функции суставов.

Предварительно подготовили полость рта. Нами получен оттиск, позволяющий с точностью, получить цифровую картину мягких и твёрдых тканей протезного ложа, также определить проекции расположения имплантатов через маркеры, с меньшим объёмом затрат. Метод позволяет без затраты на оттискной материал, без отливки из гипса модели и затраты моделировочного воска создать виртуальный отпечаток. Сопоставление челюстей, для этого пациента попросили сомкнуть для дополнительного сканирования зубных рядов, по оставшимся зубам, программа способна создать цифровой артикулятор. Каждый зуб сканируется с помощью лазерного-оптического оборудования.

Пациент может сам видеть, как сканируются оттиски. Затем все снимки соединяются компьютером в один — панорамный. Компьютер также объединяет челюсти, и демонстрирует их в состоянии окклюзии — сомкнутого рта.

Лабораторный этап начинается с работы цифровым артикулятором, где на готовой модели с помощью программной библиотеки зубных форм реставрируется геометрический объект выбранной конструкции.

По завершению реставрации конструкции зубного протеза решили проверить их функциональную эффективность для начала отпечатав на принтере. Готовый протез установили на опорах в полости рта. Пациент, проносив протез в течении двух дней, внимательно изучила причины дискомфорта приносимую протезом и осталась довольной.

Далее на фрезерном станке изготовили из «МДФ» полимерного материала данный «проект» и установили, заменив «пробные», следующим этапом зафиксировали винтами, замуровав отверстие пломбировочным материалом.

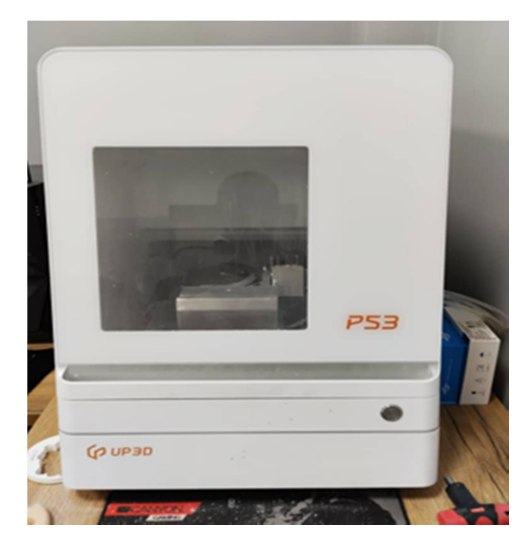


Рисунок 3.5.22 – Фрезерный аппарат.



Рисунок 3.5.23 – Вид готового протеза пациента.

Базис конструкции так же выполняет функцию каркаса, так же участвует в перераспределении жевательное давление на имплантаты и слизистую альвеолярного отростка.

Базис из «АБС» полимера, плотно прилегая к слизистой десны, точно повторяет рельеф протезного поля, отсутствие микропор в материале позволяет избегать налётов. Биосовместимость, идеальная полировка поверхности, обеспечивает хорошую гигиену.

В связи с атрофией костей нижней челюсти возникла необходимость эстетической коррекции искусственной десной.



Рисунок 3.5.24 — Виртуальная конструкция протеза.

В конструкциях анатомической формы уже заранее задаётся контур десневого края, который сохраняется в постоянной конструкции.

Пациентка посещала нас каждую неделю по собственному желанию. Через 8 месяцев временная конструкция была заменена постоянной.

Заключение к 3 главе. Решение для улучшения фиксации съёмных протезов использовать телескопические коронки, которые состоят из внутреннего колпачка, покрывающего культю опорного зуба и фиксируемого на цементе и наружной коронки с восстановленной анатомической формой. При фиксации протеза наружная часть телескопической коронки точно садится на внутреннюю часть, образуя механическое фрикционное соединение, в котором используется сила трения. Оптимальной считается система, основанная на сохранённых корнях зубов и дополнительных опорах — имплантатах, которые формируют прочный дуговой блок. Такая круговая шина эффективно перераспределяет жевательное давление, включая нагрузку с противоположной стороны. При условии стабильности и сохранности опорных элементов конструкция обеспечивает надёжную фиксацию протеза, значительно увеличивая срок его службы.

### ЗАКЛЮЧЕНИЕ:

- 1. Частота множественной адентии с неблагоприятными ситуациями для фиксации съемного протеза у пациентов с частичной потерей зубов составляет 36,2 %. При распределении дефектов зубных рядов из I класса чаще выявлялись 2-4 подклассы (9.52 %.,) по IV классу 3 подкласс (4.7 %) (по классификации М.3. Миргазизова (2003).
- 2. Биомеханическое моделирование позволяет обосновать применение дентальных имплантатов в качестве дополнительной опоры базиса съемного протеза: введение двух промежуточных опор в однопролётную схему позволяет снизить максимальный изгибающий момент на 91%.
- 3. Амортизирующая прослойка из пластического материала приводит к разгрузке напряжения на альвеолярных отростках, вследствие уменьшения прогиба и создаёт монолитность обеспечивая равномерное распределение жевательной нагрузки на протез, позволяет избегать ретенции остатков пищи. Монолитность функциональной единицы живой ткани с приложенной конструкцией обеспечивает равномерное распределение жевательной нагрузки на протез по всей длине конструкции.
- 4. Применение протезов с фиксацией на имплантатах, по сравнению с изготовленными традиционным методом при множественной потере зубов с неблагоприятными условиями протезного ложа показало функциональную ценность в восстановлении жевательной эффективности конструкции. Оптимальной может считаться и система, зафиксированная на клыках и боковых единицах, круговая шина успешно разгружает жевательное давление противоположной стороны.

# ПРАКТИЧЕСКИЕ РЕКОМЕНДАЦИИ:

- 1. Для повышения эффективности зубного протезирования с множественной адентией при неблагоприятных условиях для фиксации протеза рекомендуется использование дентальной имплантации.
- 2. Для уменьшения нагрузки на слизистую оболочку альвеолярного отростка и улучшения фиксации протеза, обеспечение гигиены полости рта следует использовать амортизирующую прокладку.
- 3. Для эффективности протезирования при множественной адентии, даже корни с разрушенными коронками необходимо использовать в качестве опоры под протезы, что способствует улучшению фиксации протеза.

# СПИСОК ИСПОЛЬЗОВАННОЙ ЛИТЕРАТУРЫ:

- 1. Ортопедическая стоматология [Текст]: учеб. / [А. Г. Аболмасов, Н. Н. Аболмасов, В. А. Бычков и др.]. 5-е изд. М.: Медпресс-информ, 2011. С. 345
- 2. Аванесян, Р. А. Медицинские возможности и социальные риски дентальной имплантологии [Текст] / Р. А. Аванесян, Н. Н. Седова. М.: РУСЛАЙН, 2015.– С. 232
- 3. Аккужин, М. И. Планирование дентальной имплантации в условиях дефицита костной ткани и профилактика послеоперационных осложнений (обзор литературы) [Текст] / М. И. Аккужин, М. А. Амхадова, Т. К. Хамраев // Мед. алфавит. − 2020. − № 23. − С. 9-15.
- 4. Алимский, А. В. Генеральные направления совершенствования стоматологической службы [Текст] / А. В. Алимский // Труды IX съезда СтАР. М., 2004. С. 110–116.
- Алимский, А. В. Принципиальные подходы к формированию системы оценок качества стоматологической помощи населению [Текст] / А. В. Алимский // Экономика и менеджмент в стоматологии. 2004. № 3 (14). С. 22–24.
- 6. Алымбаев, Р. С. Здоровьесберегающие технологии в стоматологии на примере дентальных имплантатов [Текст] / Р. С. Алымбаев // Междунар. журн. приклад. и фундамент. исслед. 2018. № 12-2. С. 230–234.
- 7. Алымбаев, Р. С. Реставрация зубного ряда у пациентов со значительной атрофией боковых сегментов [Текст] / Р. С. Алымбаев, Т. К. Абдышев // Вестн. Кырг.-Рос. Славян. ун-т. 2016. Т. 16, № 3. С. 6–8.
- 8. Амираев, У. А. Эти патогенетические аспекты и методы коррекции непереносимости металлических зубных протезов в полости рта [Текст]: автореф. дис. ... д-ра мед. наук: 14.00.21 / У. А. Амираев. Бишкек, 2008. С. 42

- 9. Дентальная имплантация как основа эффективного ортопедического лечения и качества жизни больных с полным отсутствием зубов [Текст] / С. Д. Арутюнов, М. Г. Амирян, Д. И. Грачев, Ю. Б. Циренов // Рос. вестн. дентальной имплантологии. М., 2011. С.82–88.
- Арутюнов, С. Д. Медик психологическая тактика лечения больных пожилого возраста с полным отсутствием зубов [Текст] / С. Д. Арутюнов, М. Г. Амирян, М. Е. Остренкова // Рос. стоматол. журн. 2014. № 1. С.41–46.
- 11. Ахмедов, М. Р. Клинико-экспериментальное обоснование при менения пленки "Протоплен" [Текст] / М. Р. Ахмедов, И. А. Воронов, О. А. Орлова //Актуальные проблемы ортопедической стоматологии. М., 2002. –С. 224–225.
- 12. Базикян, Э. А. Принципы прогнозирования и профилактики осложнений при дентальной имплантации (Клинико-лабораторные исследования) [Текст]: дис. ... д-ра мед. наук: 14.00.21 / Э. А. Базикян. М., 2001. С. 250
- 13. Баландина, А. С. Потребность в съемном зубном протезировании жителей Алтайского края [Текст] / А. С. Баландина, Е. А. Языкова, Л. Н. Тупикова // Dental Forum. 2009. № 3. С. 22–24.
- 14. Байриков, И. М. Ортопедическое лечение с использованием имплантатов в условиях сочетания неблагоприятных факторов [Текст] / И. М. Байриков, С. С. Комлев, М. В. Щербаков // Ин-т стоматологии. 2017. № 1. С. 84—85.
- Безруков, З. М. Составление прогноза финансовых результатов деятельности стоматологического предприятия [Текст] / В. М. Безруков, Н. Б. Кузьмина, А. В. Алимский // Стоматология. 2000. № 4. С. 64—65.
- 16. Брагин, Е. А. Особенности обследования и лечения пациентов с целостными зубными рядами и окклюзионными нарушениями [Текст] / Е. А. Брагин, А. А. Долгалев, Н. В. Брагарева // Фундамент. исслед. 2014. № 2. С. 44—47.

- 17. Брагин, Е. А. Планирование границ частичных съемных протезов с металлическим базисом [Текст] / Е. А. Брагин // Стоматология. 2004. № 3. С. 63—66.
- 18. Болонкин, И. В. Дентальная имплантация с костной пластикой комбинированным имплантатом [Текст] / И. В. Болонкин // Стоматология. 2011. № 05(83). С. 98—99.
- 19. Богатов, В. В. Костная пластика с одномоментной дентальной имплантацией в осложненных условиях с применением искусственных материалов [Текст] / В. В. Богатов, В. Б. Грицаюк, Д. И. Голиков // Верхневолж. мед. журн. -2017. N = 2. C. 12-15.
- 20. Боголюбов, А. Н. Основы математического моделирования [Текст]: конспект лекций / А. Н. Боголюбов. М.: Физ. фак. МГУ им. Ломоносова, 2001. 180 с.
- 21. Результаты дентальной имплантации у пациентов с атрофией альвеолярной кости после выполнения аутокостной пластики [Текст] / Т. В. Брайловская, А. П. Михайлова, Е. В. Усанова [и др.] // Кремлевская медицина. Клин. вестн. 2021. N = 3. C. 12-20.
- 22. Вагнер, В. Д. Задачи информационной поддержки врача-стоматолога общей (семейной) практики [Текст] / В. Д. Вагнер, Б. И. Нимаев // Труды XI съезда СтАР. М., 2006. С. 107–109.
- 23. Варес, Э. Я. Дорогу термопластам в стоматологическую ортопедию [Текст] / Э. Я. Варес, Я. Э. Варес, В. Н. Нагурный // Стоматология сегодня. 2003. N = 8. C.38.
- 24. Верховский, А. Е. Лечение пациентов с частичным и полным отсутствием зубов съемными акриловыми протезами (клинико-экспериментальное исследование) [Текст]: автореф. дис. ... канд. мед. наук: 14.01.14 / А. Е. Верховский. Тверь, 2015. С. 23
- 25. Возный, А. В. Пути совершенствования стоматологической ортопедической помощи населению Тюменской области [Текст] / А. В. Возный // Стоматология. -2008. -№ 10 (50). C. 6-10.

- 26. Терапевтическая стоматология. Болезни зубов [Текст]: в 3 ч.: учеб. / под ред. Е. А. Волкова, О. О. Янушевича. М.: ГЭОТАР-Медиа, 2016. Ч. 1. С. 168
- 27. Водолацкий, М. П. Устранение мезиального прикуса у подростков [Текст] / М. П. Водолацкий, В. М. Водолацкий, В. С. Вартанян // Достижения ортодонтии, ортопедической и общейстоматологии по специальности и ее преподавании. М., 2005. С. 283-284.
- 28. Виноградова, Т. П. Регенерация и пересадка костей [Текст] / Т. П. Виноградова, Г. И. Лаврищева. М.: Медицина, 1974. С.274
- 29. Винниченко, О. Ю. Методы оценки плотности костной ткани альвеолярного отростка челюстей и ее значение для увеличения срока функционирования протезной конструкции [Текст] / О. Ю. Винниченко // Стоматология. 2016. № 4. C.83-86.
- 30. Гаврилов, Е. И. Теория буферных зон [Текст] / Е. И. Гаврилов // Морфологические и функциональные изменения органов зубочелюстной системы и их лечение. Калинин, 1980. С. 3-6.
- 31. Показания к применению съёмных протезов с литым металлическим базисом [Текст] / Е. И. Гаврилов, В. Н. Трезубое, Г. Л. Саввиди [и др.] // Стоматология. 1981. N = 5.
- 32. Гожая, Л. Д. Заболевания слизистой оболочки полости рта, обусловленные материалами зубных протезов [Текст]: автореф. дис. ... д-ра мед. наук / Л. Д. Гожая. М., 2001. С.56
- 33. Гожая, Л. Д. Заболевания слизистой оболочки рта, вызванные применением материалов для изготовления зубных протезов [Текст] / Л. Д. Гожая, Т. Г. Исакова // Труды 10 съезда СтАР. М., 2005. С. 133-134.
- 34. Горюнов, С. Е. Клинико-биомеханическое обоснование протезирования частичными съемными протезами с телескопической системой фиксации [Текст]: автореф. дис. ... канд. мед. наук: 14.00.21 / С. Е. Горюнов. Тверь, 2007. С.19

- 35. Дентальная имплантация: Состояние вопроса на сегодняшний день (обзор литературы) [Текст] / А. В. Гуськов, Н. Е. Митин, Д. А. Зиманков [и др.] // Клин. стоматология. -2017. -№ 2 (82). C. 32-34.
- 36. Давыдова, О. Б. Расширение возможностей стоматологической реабилитации пациентов с частичной и полной потерей зубов при клиническом применении коротких имплантатов [Текст] / О. Б. Давыдова, А. С. Щербаков, И. О. Костин // Новые технологии в стоматологии. Материалы XVIII Междунар. конф. челюстно-лицевых хирургов и стоматологов. СПб., 2013. С. 54-55.
- 37. Ермолаев, Ю. Г. Тактильная и болевая чувствительность слизистой оболочки десны у работников свинцовых производств [Текст] / Ю. Г. Ермолаев, И. В. Струев, С. Д. Потапов // Естествознание и гуманизм. 2007. Т. 4, № 3. С. 45.
- 38. Жолудев, С. Е. Способы улучшения адаптации у лиц с проблемами непереносимости материалов съемных зубных протезов [Текст] / С. Е. Жолудев // Маэстро стоматологии. 2005. № 19. С. 6-11.
- 39. Жолудев, С. Е. Особенности стоматологического образования в США [Текст] / С. Е. Жолудев // Проблемы стоматологии. 2005. № 4. С. 78-79.
- 40. Жулев, Е. Н. Частичные съемные протезы (теория, клиника и лабораторная техника) [Текст]: учеб. / Е. Н. Жулев. М.: МИА, 2011. С. 432
- 41. Жулёв, Е. Н. Ортопедическая стоматология [Текст]: учеб. / Е. Н. Жулев. М.: Изд-во МИА: Мед. информ. агентство, 2012. С. 834.
- 42. Жуков, К. В. Изменения свойств поверхности съемных пластиночных протезов, изготовленных из акриловых пластмасс [Текст] / К. В. Жуков // Вісник стоматології.  $2014. N_2 3(88). C. 84-85.$
- 43. Жумабеков, А. И. Перспективы внедрения современных технологий для совершенствования и оптимизации стоматологической службы (на примере ортодонтической стоматологии) [Текст] / А. И. Жумабеков // Здоровье и образование в XXI веке. 2016. Т. 18, № 4. С. 44-49.

- 44. Журули,  $\Gamma$ . Н. Биомеханические факторы эффективности внутрикостных стоматологических имплантатов (экспериментально-клиническое исследование) [Текст]: дис. ... д-ра мед. наук /  $\Gamma$ . Н. Журули. М., 2010. С. 197.
- 45. Загорский, В. А., Робустова Т.Г. Протезирование зубов на имплантатах [Текст] / В. А. Загорский, Т. Г. Робустова. 2-е изд., доп. М.: Бином, 2016. С. 367.
- 46. Исторические вехи эволюции съемных протезов [Текст] / В. Н. Трезубов, Л. М. Мишнев, О. В. Дмитриева, И. В. Позорова // Панорама ортопед. стоматологии. 2004. N 2. C. 30-32.
- 47. Иванов, А. А. Технология изготовления и использования шаблонов на этапах планирования имплантации при протезировании на дентальных имплантатах [Текст]: дис. ... канд. мед. наук: 14.01.14 / А. А. Иванов. М., 2013. С. 116.
- 48. Калинина, Н. В. Протезирование при полной потере зубов [Текст] / Н. В. Калинина, В. А. Загорский. 2-е изд., перераб. и доп. М.: Медицина. 1990. С.224. (Б-ка практ. врача. Важнейшие вопросы стоматологии).
- 49. Калбаев, А. А. Состояние и пути совершенствования дентальной имплантации в Кыргызской Республике [Текст]: автореф. дис. ... д-ра мед. наук: 14.01.03; 14.01.14 / А. А. Калбаев. Бишкек, 2012. С. 46.
- 50. Каливраджиян, Э. С. Функциональное состояние опорных тканей протезного ложа под базисами съемных конструкций зубных протезов [Текст] / Э. С. Каливраджиян // Современная ортопед. стоматология. 2005. № 3. С. 63-64.
- 51. Криштаб, С. И. Ортопедическая стоматология [Текст]: учеб. для стоматол. фак. мед. ин-тов / С. И. Криштаб. Киев: Вища шк, 1986. С..439.
- 52. Биомеханическое обоснование комплексного лечения взрослых пациентов с аномалиями и деформациями зубных рядов [Текст] / В. Г. Коноваленко, Т. Ф. Данилина, В. П. Багмутов, Е. В. Данилина // Клин. стоматология.  $2008. N \cdot 4. C. 60-65.$

- 53. Король, М. Д. Разработка и обоснование конструкции частичного съёмного пластиночного протеза в зависимости от условий фиксации [Текст]: дис. ... канд. мед. наук: 14.00.21 / М. Д. Король. Полтава, 1991. С.122.
- 54. Копейкин, В. Н. Руководство по ортопедической стоматологии [Текст] / В. Н. Копейкин. – М.: Триада-Х, 1998. – С. 494.
- 55. Копейкин, В. Н. Ошибки в ортопедической стоматологии. Профессиональные и медико-правовые аспекты [Текст] / В. Н. Копейкин, М. З. Миргазизов, А. Ю. Малый. М.: Медицина, 2002. С. 240.
- 56. Косоруков, Н. В. Оценка качества, конструктивных особенностей гигиенического состояния и пути оптимизации съемных зубных протезов [Текст]: автореф. дис. ... канд. мед. наук: 14.00.21 / Н. В. Косоруков. Омск, 2007. С. 22.
- 57. Кунин, В. А. Исследование и моделирование процесса зубного протезирования [Текст] / В. А. Кунин, И. Р. Ширяева, З. Я. Юрковская // Интеллектуализация управления в социальных и экономических системах: тр. Всерос. конф. Воронеж, 2006. С. 197-198.
- 58. Кулаков, А. А. Особенности проведения непосредственной имплантации с применением имплантатов различных конструкций [Текст] / А.
   А. Кулаков, Ф. М Абдуллаев // Новое в стоматологии. 2002. № 5. С. 34-36.
- 59. Ценообразование на медицинские услуги в стоматологической практике [Текст] / [А. А. Кулаков, В. Г. Бутова, М. И. Бойкова и др.]. М.: Таркомм, 2015. С. 88.
- 60. Оценка состояния альвеолярной кости вокруг дентальных имплантатов, установленных после выполнения костнопластических операций, по данным рентгенологического анализа [Текст] / А. А. Кулаков, А. Г. Надточий, Т. В. Брайловская [и др.] // Мед. альманах. 2015. № 3 (38). С. 178-180.
- 61. Современные подходы к применению метода дентальной имплантации при атрофии и дефектах костной ткани челюстей [Текст] / А. А.

- Кулаков, Р. Ш. Гветадзе, Т. В. Брайловская [и др.] // Стоматология. 2017. № 1. С. 43-45.
- 62. Кицул, И. С. Научное обоснование потребности взрослого населения в стоматологической помощи и вопросы ее оптимизации в современных условиях [Текст]: автореф. дис. ... д-ра мед. наук / И. С. Кицул. Новосибирск, 2002. С. 34.
- 63. Латышев, А. В. Обоснование применения дентальных имплантатов в системе реабилитации пациентов с полным отсутствием зубов на верхней челюсти [Текст]: автореф. дис. ... д-ра мед. наук / А. В. Латышев. Смоленск, 2014. С. 23.
- 64. Лебеденко, И. Ю. Функциональные и аппаратурные методы исследования в ортопедической стоматологии [Текст]: учеб. пособие для студентов, обучающихся по спец. "Стоматология" / И. Ю. Лебеденко, Т. И. Ибрагимов, А. Н. Ряховский. М.: Мед. информ. агентство, 2003. С. 127.
- 65. Лебеденко, И. Ю. Протезирование при полном отсутствии зубов протезами с двуслойными базисами. Современный взгляд на проблему [Текст] / И. Ю. Лебеденко, А. П. Воронов // Клин. имплантология и стоматология. − 2001. № 1/2. С. 102-106.
- 66. Ортопедическая стоматология [Текст] / под ред. И. Ю. Лебеденко, С. Д. Арутюнов, А. Н. Ряховский. М.: ГЭОТАР-Медиа, 2016. С. 824.
- 67. Руководство по ортопедической стоматологии. Протезирование при полном отсутствии зубов [Текст]: учеб. пособие / под ред. И. Ю. Лебеденко, Э. С. Каливраджиян, Т. И. Ибрагимов, Е. А. Брагина. М.: ООО Мед. информ. агенство, 2011. С. 448.
- 68. Леонтьев, В. К. Оценка основных направлений развития стоматологии [Текст] / В. К. Леонтьев, В. Т. Шестаков, В. Ф. Воронин. М.; Н. Новгород: Мед. кн.: Изд-во НГМА, 2003. С. 280.
- 69. Лесовая, И. Г. Новые подходы получения оттисков с челюстной кости на хирургическом этапе субпериостальных имплантации у больных при

- полной адентии [Текст] / И. Г. Лесовая, П. В. Российский // Современная стоматология. -2009. -№ 2. С. 92-96.
- 70. Литвиненко, А. Н. Дентальная имплантация при недостаточном объеме костной ткани альвеолярной части нижней челюсти [Текст]: автореф. дис. ... канд. мед. наук: 14.00.21 / А. Н. Литвиненко. М., 2005. С. 21.
- 71. Луцкая, И. К. Качество индивидуальной гигиены полости рта увзрослого населения на амбулаторном приеме [Текст] / И. К. Луцкая, О. Г. Зиновенко, И. Л. Бобкова // Современная стоматология. 2020. № 2. С. 58-62.
- 72. Особенности клинико-экономического анализа в ортопедической стоматологии [Текст] / А. Ю. Малый, А. В. Фарашян, Н. А. Титкина, Н. В. Бычкова // Проблемы стандартизации в здравоохранении. 2006. № 4. С. 11-15.
- 73. Маргарян, Э. Г. Гендерный и половой подход в стоматологии [Текст]: дис. ... д-ра мед. наук: 14.01.14 / Э. Г. Маргарян. М., 2018. С. 246.
- 74. Матвеев, А. П. Сравнительная оценка применения различных конструкций съемных перекрывающих протезов в динамике при ортопедическом лечении парадонтитов [Текст]: автореф. дис. ... канд. мед. наук / А. П. Матвеев. М., 2015. С. 23.
- 75. Матус, П. П. Математическое моделирование в биологии и медицине [Текст] / П. П. Матус, Г. П. Рычагов. – Минск: Бел. наука, 1997. – С. 207.
- 76. Милев, М. М. Применение 3D-технологий в эстетической дентальной медицине [Текст] / М. М. Милев // Научные исследования: векторы развития. М., 2017. С. 50-53.
- 77. Миргазизов, М. З. Уровни решения клинических задач с использованием дентальных имплантатов и новая классификация отсутствия зубов [Текст] / М. З. Миргазизов // Рос. вестн. дентальной имплантологии. 2003. № 2. С. 4-7.

- 78. Применение сплавов с эффектами памяти формы в стоматологии [Текст] / М. З. Миргазизов, В. К. Поленичкин, В. Э. Гюнтер, В. И. Итин. М.: Медицина, 1991. С.191.
- 79. Миргазизов, М. 3. Критерии эффективности в дентальной имплантологии [Текст] / М. 3. Миргазизов, А. М. Миргазизов // Рос. стоматол. журн. 2000. N 2. C. 4-7.
- 80. Исследование влияния иммедиат-протезов с амортизирующей промежуточной частью на репарацию костной ткани в пост экстракционный период и остео интеграцию имплантатов в области резцов верхней челюсти [Текст] / Н. Е. Митин, И. В. Захарова, Е. С. Перминов, С. И. Калиновский // Клин. стоматология. 2019. № 2 (90). С. 80-82.
- 81. Михальченко, Д. В. Психофизиологические аспекты прогнозирования адаптации человека к ортопедическим стоматологическим конструкциям [Текст]: автореф. дис. ... канд. мед. наук: 14.00.17 / Д. В. Михальченко. Волгоград, 1999. С. 22.
- 82. Ортопедическое лечение больных при дефектах зубных рядов с использованием дентальных имплантатов [Текст]: учеб. пособие / сост. Т. Т. Сельпиев, А. Дж. Мурзалиев, П. Т. Жолуева. Бишкек: Изд-во КРСУ, 2014. С. 86.
- 83. Насыров, Р. Т. Комплексная оценка психоэмоциональных нарушений и качества жизни больных с дефектами зубных рядов в процессе ортопедической их реабилитации [Текст]: дис. ... канд. мед. наук / Р. Т. Насыров. Уфа, 2009. С. 183.
- 84. Наумович, С. С. Построение трехмерной модели зубочелюстной системы на основе компьютерной томографии [Текст] / С. С. Наумович, С. А. Наумович, В. Г. Гончаренко // Современная стоматология. 2011. № 2. С. 64-67.
- 85. Нурбаев, А. Ж. Эпидемиология и профилактика стоматологических заболеваний у лиц пожилого и старческого возраста, совершенствование

- медико-социальной помощи [Текст]: автореф. дис. ... д-ра мед. наук / А. Ж. Нурбаев. Бишкек, 2013. С. 46.
- 86. Планирование и проведение дентальной имплантации в сложных клинических условиях [Текст] / Л. У. Нуритдинов, С. М. Ризаева, О. А. Рахманова, О. Н. Ризаева // Stomatologiya. 2020. № 4. С. 36-38.
- 87. Компьютеризированное планирование дентальной имплантации [Текст] / В. Н. Олесова, А. Ю. Набоков, Л. Н. Дмитренко [и др.] // Рос. вестн. дентальной имплантологии. 2004. № 2 (6). С. 54-57.
- 88. Олесова, В. Н. Компьютеризированное планирование дентальной имплантации [Текст] / В. Н. Олесова, А. Ю. Набоков, Т. Н. Дмитренко // Рос. вестн. дентальной имплантологии. 2004. № 2. С. 54-57.
- 89. Ольховская, Е. Б. Состояние зубов у лиц пожилого возраста в Тверской области [Текст]: автореф. дис. ... канд. мед. наук: 14.00.21 / Е. Б. Ольховская. Тверь, 1997. С. 26.
- 90. Ортопедическая стоматология [Текст]: учеб. / под ред. Э. С. Каливраджияна, И. Ю. Лебеденко, Е. А. Брагина, И. П. Рыжовой. 2-е изд., перераб. и доп. М.: ГЭОТАР-Медиа, 2018. С. 800.
- 91. Параскевич, В. Л. Дентальная имплантология. Итоги века [Текст] / В. Л. Параскевич // Новое в стоматолгии. 2000. № 8. С. 7-15. Параскевич, В. Л. Дентальная имплантология [Текст] / В. Л. Параскевич. 3-е изд. М.: Мед. информ. агентство, 2011. С. 400.
- 92. Пальшин, Г. А. Использование несвободных васкуляризированных аутотрансплантатов смежных трубчатых костей при замещении костных дефектов с применением аллоимплантата «Перфоост» [Текст] / Г. А. Пальшин, С. С. Тордуин, П. В. Марков // Acta Biomedica Scientifica. 2006. № 4. С. 246-252.
- 93. Полуев, В. И. Особенности развития стоматологической службы в новых социально-экономических условиях [Текст]: дис. ... д-ра мед. наук в виде науч. докл. / В. И. Полуев. М., 2001. С. 62.

- 94. Пономарев, С. А. Осложнения, клинические и технологические ошибки при ортопедическом лечении больных съемными зубными протезами и их профилактика [Текст]: автореф. дис. ... канд. мед. наук / С. А. Пономарев. Омск, 2004. С. 19.
- 95. Оценка объема атрофированных тканей протезного ложа у пациентов с полным отсутствием зубов на нижней челюсти на различных сроках пользования полными съемными пластиночными протезами [Текст] / О. Г. Прохватилов, Г. А. Гребнев, С. А. Кобзева, Н. Н. Зубов // Ин–т стоматологии. 2014. № 4(65). С. 66-67.
- 96. Раад, 3. К. Зубное протезирование на имплантатах в сложных клинических ситуациях [Текст] / 3. К. Раад // Уч. зап. С.-петерб. гос. мед. ун-та им. акад. И. П. Павлова. 2008. Т.15, № 4. С. 51-54.
- 97. Ревякин, А. В. Исследование напряженно-деформированного состояния в системе протез-нижняя челюсть при протезировании на имплантатах [Текст] / А. В. Ревякин, В. Ю. Никольский, В. Ф. Попов // Маэстро стоматологии. 2007. N 1. C.11-20.
- 98. Робустова, Т. Г. Имплантация зубов (хирургические аспекты) [Текст] / Т. Г. Робустова. М.: Медицина, 2010. С. 560.
- 99. Ряховский, А. Н. Адаптационные и компенсаторные реакции при дефектах зубных рядов по данным жевательной пробы с возрастающей нагрузкой [Текст] / А. Н. Ряховский // Стоматология. 2001. № 2. С. 36-40.
- 100. Саввиди, К. Г. Опыт ортопедического лечения пациентов с неблагоприятными клиническими условиями на беззубой нижней челюсти [Текст] / К. Г. Саввиди, Г. Л. Саввиди, А. С. Щербаков // Труды VI съезда Стоматологической ассоц. России. М., 2000. С. 405-407.
- 101. Самарина, Я. П. Вторичная адентия зубов: последствия и способы лечения [Текст] / Я. П. Самарина // Науч. обозрение. Мед. науки. 2017. № 3. С. 71-74.

- 102. Самойлова, Н. В. ........ [Текст] / Н. В. Самайлова, И. В. Гуненкова, А. Ю. Куликова // Стоматология детского возраста и профилактика. -2015. -№ 4. C. 30-37.
- 103. Садыков, М. И. Новое телескопическое крепление [Текст] / М. И. Садыков, А. М. Нестеров // XIII Международная конф. челюстно-лицевых хирургов и стоматологов. Новые технологии в стоматологии. СПб., 2008. С. 202.
- 104. Семенюк, В. М. Оптимизация подходов к лечению пациентов с частичной адентией зубными протезами на аттачменах [Текст] / В. М. Семенюк // Панорама ортопед. стоматологии. 2005. № 4. С. 26.
- 105. Семенюк, В. М. Стоматология ортопедическая в вопросах и ответах [Текст] / В. М. Семенюк, В. Д. Вагнер, А. П. Онгоев. М.: Мед. кн.; Н. Новгород, 2000. С. 108.
- 106. Ошибки в работе врача и зубного техника на ортопедическом приеме [Текст] / В. М. Семенюк, В. М. Кирющенко, В. А. Прохоров [и др.] // Ин-т стоматологии. СПб., 2000. № 3. С. 26-27.
- 107. Смирнов, Б. А. Зуботехническое дело в стоматологии [Текст]: учеб. для студентов учреждений сред. проф. образования / Б. А. Смирнов, А. С. Щербаков. 2-е изд. М.: ГЭОТАР-Медиа, 2018. С.336.
- 108. Сорокин, Е. В. Особенности протезирования при частичной потере зубов в современной ортопедической стоматологии [Текст] / Е. В. Сорокин // Науч. обозрение. Мед. науки. 2017. № 4. С. 106-109.
- 109. Струев, И. В. Некоторые проблемы учета в ортопедической стоматологии сегодня [Текст] / И. В. Струев, В. М. Семенюк // Экономика и менеджмент в стоматологии. 2001. № 1 (3). С. 20-21.
- 110. Суров, О. Н. Современная практика субпериостальной имплантации [Текст] / О. Н. Суров // Новое в стоматологии. 2009. № 4(160). С. 1-27.
- 111. Танрыкулиев, П. Т. Методика и результаты протезирования беззубой нижней челюсти с применением объемного моделирования [Текст] / П. Т. Танрыкулиев // Мед. бизнес. 2004. № 1 (113). С. 32-35.

- 112. Трезубов, В. Н. Ортопедическая стоматология. Пропедевтика и основы частного курса [Текст]: учеб. для мед. вузов / В. Н. Трезубов, А. С. Щербаков, Л. М. Мишнев. СПб.: СпецЛит, 2001. С. 480.
- 113. Тупикова, Л. Н. Отношение к стоматологическому здоровью различных групп населения [Текст] / Л. Н. Тупикова, Е. Н. Онопа // Ин-т стоматологии. 2002. N = 3(6). C. 17-21.
- 114. Тё, И. А. Планирование и организация профилактики стоматологических заболеваний на территориальном уровне [Текст] / И. А. Тё // Труды XI съезда Стоматологической Ассоц. и VIII съезда стоматологов России. М., 2006. С. 214-218.
- 115. Улитовский, С. Б. Определение степени фиксации съёмного зубного протеза к протезному ложу [Текст] / С. Б. Улитовский, А. А. Леонтьев // Дентал Юг. 2009. № 5 (65). C.18-19.
- 116. Лучевая диагностика при дентальной имплантации в условиях дефицита костной ткани [Текст] / А. И. Ушаков, Н. С. Серова, А. А. Ушаков [и др.] // Russian electronic journal of radiology. 2014. Т. 4, № 2. С. 86-96.
- 118. Мамытова, А. Б. Восстановление целостности зубных рядов с применением имплантатов с памятью формы [Текст] / А. Б. Мамытова, А. Р. Цой // Физиология, морфология, и патология человека и животных в условиях Кыргызстана: сб. науч. ст. мед. ф-та КРСУ. Бишкек, 2007. С. 22.
- 119. Жулев, Е. Н. Частичные съемные протезы (теория, клиника и лабораторная техника) [Текст]: руководство для врачей / Е. Н. Жулев. 2-е изд., испр. М.: ООО Мед. информ. агенство, 2011. С.424.
- 120. Частичные и полные съемные протезы (клинические и Ч-25 лабораторные этапы изготовления) [Текст]: учеб.-метод. пособие для студентов иностр. граждан стоматол. фак. / [А. В. Возный, А. В. Самойленко, С. А. Чертов и др.]. Запорожье, 2016. С. 113.

- 121. Гипотетическая модель биомеханического взаимодействия зубов и опорных тканей челюсти при различных значениях жевательной нагрузки [Текст] / Е. Н. Чумаченко, А. И. Воложин, В. К. Портной, В. А. Маркин // Стоматология. 1999. Т. 78, № 5. С. 4-8.
- 122. Чуйко, А. Н. Биомеханика и компьютерные технологии в челюстнолицевой ортопедии и дентальной имплантологии [Текст] / А. Н. Чуйко, М. М. Угрин. – М.: Мед. кн.; Изд-во ГалДент, 2014. –С. 350.
- 123. Шемонаев, В. И. Хронофизиологические особенности болевой чувствительности у стоматологических пациентов [Текст] / В. И. Шемонаев, И. Н. Ефремова // Вестн. Волгоград. гос. мед. ун-та. 2006. № 4. С. 34-37.
- 124. Щербаков, А. С. Применения имплантатов 4х5 в лечении пациентов с частичной потерей зубов в условиях выраженной атрофии костной ткани [Текст] / А. С. Щербаков, О. Б. Давыдова, И. О. Костин // Новые технологии в стоматологии. Материалы XIX Междунар. конф. челюстнолицевых хирургов и стоматологов. М., 2014. С. 40.
- 125. Ямуркова, Н. Ф. Оптимизация хирургического лечения при выраженной атрофии альвеолярного отростка верхней челюсти и альвеолярной части нижней челюсти перед дентальной имплантацией [Текст]: дис. ... д-ра мед. наук / Н. Ф. Ямуркова. Н. Новгород, 2015. С. 403.
- 126. Янушевич, О. О. Ортодонтия. Ситуационные задачи [Текст] / О. О. Янушевич, Л. С. Персин, А. Б. Слабковская. М.: ГЭОТАР–Медиа, 2016. С. 192.
- 127. Языкова, Е. А. Оценка качества съемных пластиночных протезов [Текст] / Е. А. Языкова, Л. Н. Туликова // Медицина в Кузбассе. -2011. − № 3. С. 57.
- 128. Biological basis of bone formation, remodeling, and repair-part III: biomechanical forces [Text] / A. C. Allori, A. M. Sailon, J. H. Pan, S. M. Warren // Tissue Eng. Part B Rev. 2008. T. 14, N 3. P. 285–293.

- 129. Ahrens, Q. Parodontalerkrankungen und Behandlungebedarf der Hamsburger Bevolkorung [Text] / Q. Ahrens, K. A. Bublitz // Deicshe Zahlunarztl. 1987. Bd 42, N 5. P 433-437.
- 130. Implant positioning errors in freehand and computer-aided placement methods: a single-blind clinical comparative study [Text] / V. Arisan, C. Z. Karabuda, E. Mumcu, T. Özdemir // Int J Oral Maxillofac Implants. 2013. Vol. 28, N 1. P. 190-204.
- 131. Аукаs, Y. Особенности индивидуальной гигиены полости рта у пациентов с дентальными имплантатами [Текст] / Y. Aykas // Стоматолог-практик. 2014. № 2. C. 32-33.
- 132. Beumer, J. Maxillofacial rehabilitation [Text] / J. Beumer, T. A. Curtis, M. T. Marvwick. St. Louis, Ishiyaku EuroAmerica, 1996. P. 546.
- 133. Braum, T. W. Autogenous regional bone grafting as an adjunct in ortgnathic surgery [Text] / T.W. Braun, G. C. Soterianoc // J. Oral Maxilofac. Surg. 1984. N 42. P. 43-48.
- 134. Evaluation of satisfaction and complications in patients with existing complete dentures [Text] / H. Bilhan, O. Geckili, S. Ergin [et al.] // J Oral Sci. 2013. Vol. 55, N 1. P. 29-37.
- 135. Accuracy of 3-Dimensional Printed Dental Models Reconstructed from Digital Intraoral Impressions [Text] / G. B. Brown, G. Fräns Currier, Onur Kadioglu, J. Peter Kierl // American Journal of Orthodontics and Dentofacial Orthopedics. 2018. Vol. 154, N 5. P. 733-739.
- 136. Fueki, K. Clinical application of removable partial dentures using thermoplastic resin. Part II: Material properties and clinical features of non-metal clasp dentures [Text] / K. Fueki, C. Ohkubo // J Prosthodont Res. 2014. Vol. 58, N 2. P.71-84.
- 137. Korber, E. Kontrolluntersuchungen parodontal und parodontal gingival gelagerten Teilprothesen [Text] / E. Korber, K. Lehmann, C.Pangidic // Dtsch. Zahnarztl. Z. 1975. Bd. 30, N 2. S. 77-84.

- 138. Kinane, D. Periodontal diseases and health: Consensus Report of the Sixth European Workshop on Periodontology [Text] / D. Kinane, P. Bouchard // J Clin Periodontol. 2008. Vol. 35, N 8. P. 333-337.
- 139. A systematic review on survival and success rates of implants placed immediately into fresh extraction sockets after at least 1 year [Text] / N. P. Lang, L. Pun, K. Y. Lau [et al.] // Clin Oral Implants Res. 2012. Vol. 23, Suppl 5(SUPPL. 5). P. 39-66.
- 140. Linkow, L. Intra-osseous implants utilized as fixed bridge abutments [Text] / L. Linkow // J. Oral Impl. Transp. 1964. Vol. 10. P. 17.
- 141. Goals for oral health 2020 [Text] / M. Hobdell, P. E. Peterse, J. Clarkson, N. Johnson // Int. Dent. J. 2003. Vol. 53, N 5. P. 285-288.
- 142. Миш, К. Е. Ортопедическое лечение с опорой на дентальные имплантаты [Текст]: пер. с англ. / К. Е. Миш. 2-е изд. М.: МЕД-прессинформ, 2010. С. 616.
- 143. Мирсаев, Т. Д. Средства, улучшающие адгезию съемных конструкций зубных протезов [Текст]: учеб. пособие / Т. Д. Мирсаев. Екатеринбург: Тираж, 2020. С. 104.
- 144. Ordokova, E. R. Diagnosis and treatment of temporomandibular joint dysfunction in patients with malocclusion [Text] / E. R. Ordokova // Smolensk Medical Almanac. 2018. N 2. P. 55-57. (In Russ.).
- 145. In vitro synchrotron-basedradiography of microgap for mationat the implant- abutmentinterface of two-piece dental implants [Text] / A. Rack, T. Rack, M. Stiller [et al.] // J. Synchrotron. Radiat. 2010. N 17. P. 289-294.
- 146. Marginal bone loss around three different implant systems: radiographic evaluation after 1 year [Text] / C. M. Piao, J. E. Lee, J. Y. Koak [et al.] // J Oral Rehabil. 2009. Vol. 36, N10. P. 748.
- 147. Three-Dimensional Bone Augmentation and Immediate Implant Placement via Transcrestal Sinus Lift: Five-Year Clinical Outcomes [Text] / R. Rizzo, A. Quaranta, M. De Paoli [et al.] // Int. J. Periodontics Restorative Dent. 2018. Vol. 38, N 1. P. 95-101.

- 148. Schwindling, F. S. A comparison of two digital techniques for the fabrication of complete removable dental prostheses: A pilot clinical study [Text] / F. S. Schwindling, T. Stober // The Journal of Prosthetic Dentistry. 2016. Vol. 116, N 5.
- 149. Storck, H. Konzept zur individuellen Wiederherstellung von Kauebene und Zahnbogenverlauf [Text] / H. Storck, R. Wenzel. 2004. P. 75-87.
- 150. Management of thick and thin periodontal phenotypes for immediate dental implants in the esthetic zone: a ontrolledcli nical trial [Text] / C. L. Tatum, A. E. Saltz, T. J. Prihoda [et al.] // Int J Periodontics Restorative Dent. 2020. Vol. 40, N 1. P. 51-59.
- 151. Urban, V. M. Effect of water-bath post-polymerization on the mechanical properties, degree of conversion, and leaching of residual compounds of hard chairside reline resins [Text] / V. M. Urban, A. L. Machado, C. E. Vergani // Dent Mater. 2009. Vol. 25. P. 662-671.
- 152. Oleiwi, J. K. Studying the mechanical properties of denture base materials fabricated from polymer composite materials [Text] / J. K. Oleiwi, Q. A. Hamad // Al-Khwarizmi Engineering Journal. 2018. Vol. 14, N 3. P. 100-111.
- 153. A targeted review of study outcomes with short (d"7 mm) end osseous dental implants placed in partially edentulous patients [Text] / D. Hagi, D. A. Deporter, R. M. Pilliar, T. Arenovich // J Periodontol. 2004. N 75. P. 798-804.

Augmentation of exposed implant threads with autogenous bone chips: prospective clinical study

- 154. Widmark, G. Augmentation of exposed implant threads with autogenous bone chips: prospective clinical study [Text] / G. Widmark, C. J. Ivanoff // Clin. Implant Dent Relat. Res. 2000. Vol. 2, N 4. P. 178.
- 155. Mohanty, R. Vertical alveolar ridge augmentation by distraction osteogenesis [Text] / R. Mohanty, N. N. Kumar, C. Ravindran // J. Clin. Diagn. Res. 2015. Vol. 9, N 12. P. 43-46.

- 156. Winter, W. Micromotion of Dental Implants: Basic Mechanical Considerations [Text] / W. Winter, D. Klein, M. Karl // J. Med. Eng. 2013. Nov. 20.
- 157. Lee, E. Y. Vertical Augmentation of Maxillary Posterior Alveolar Ridge Using Allogenic Block Bone Graft and Simultaneous Maxillary Sinus Graft [Text] / E. Y. Lee, E. S. Kim, K. W. Kim // Maxillofacial Plastic and Reconstructive Surgery. 2014. Vol. 36, N 5. P. 224-229.
- 158. Brunsky, J. B. Biomechanical factors affecting the bonedental implant interface [Text] / J. B. Brunsky // Clin. Mater. 1992. Vol. 10. P. 153-201.
- 159. Zhang, W. Anterior maxilla alveolar ridge dimension and morphology measurement by cone beam computerized tomography (CBCT) for immediate implant treatment planning [Text] / W. Zhang, A. Skrypczak, R. Weltman // BMC Oral Health. 2015. Jun. 10, Vol. 15. P. 65.
- 160. Wilmes, B. Fields of application of mini-implants [Text] / B. Wilmes, Js. Bowman, S. Baumgaertel // Ludwig B, Baumgaertel S, Bowman Js, Editors. Mini-Implants in orthodontics innovativeanchorage concepts. London, United Kingdom, 2008. P. 91-122.
- 161. Tverier, V. M. Methods of the biomechanical modeling of the human maxillodental system [Text] / V. M. Tverier, E. Yu. Simanovskaya, Yu. I. Nyashin // Modern Problems of Biomechanics. Moscow, 2006. Vol. 11. P. 226-236.
- 162. Yun, J. H. Secondary closure of an extraction socket using the do double membrane guided bone regeneration technique with immediate implant placement [Text] / J. H. Yun, C. M. Jun, N. C. Oh // J. Periodontal implant. Sci. 2011. Vol. 41, N 5. P. 253-258.

## ПРИЛОЖЕНИЕ 1

«УТВЕРЖДАЮ» Тлавный врач Городской стомато логической поликтиники МЗ г. Бишкек И Ж. Касымов 

Акт внедрения результатов научно-исследовательских, научно-технических работ, (или) результатов научной и (или) научно-технической деятельности

- 1. Автор внедрения: Эркинбеков Ислам Бурканович, д.м.н., доцент Нурбаев Алтынбек Жолдошевич.
- 2. Наименование научно-исследовательских, научно-технических работ, (или) результатов научной и (или) научно-технической деятельности: «Особенности протезирования пациентов с множественной адентией, при неблагоприятных условиях для фиксации протеза».
- 3. Краткая аннотация: обосновано применение дентальных имплантатов в качестве дополнительной опоры базиса съемного протеза для улучщения фиксации, а также методика использования амортизирующего слоя при проведении ортопедического лечения с целью ускорения процесса адаптации тканей протезного ложа.
- 4. Эффект от внедрения: использование имплантатов для фиксации протезов, замещающих отсутствующих зубов вполне оправдано, а также для предотвращения деструкции костной ткани, повышает усталостные и прочностные характеристики металла имплантата и костной ткани. Амортизирующая прослойка приводит к разгрузке напряжения на десну и альвеолярные отростки вследствие уменьшения прогиба и оптимального момента.
- 5. Место и время внедрения: отделение ортопедической стоматологии Городской стоматологической поликлиники № 3 от 13.02.2023 года.
- 6. Форма внедрения: метод изготовления съемных пластинчатых протезов при вторичной частичной адентией с непрерывной границей базиса при использовании амортизирующего слоя. Биомехническое обоснование применение имплантатов при неблагоприятных условиях протезного ложа для фиксации частичных съемных протезов

Представитель организации, в которую внедрена разработка:

Сексенбаев Н. Д. – заведующий ортопедическим отделением

Городской стоматологической поликлиники № 3

Представитель организации, из которой исходит внедрение:

Исаков Э. О. – к.м.н., доцент кафедры кафедрой ортопедической бщий стоматологии КГМА им. И. К. Ахунбаева отдел

13.02.2023 года

## приложение 2



Акт внедрения результатов научно-исследовательских, научно-технических работ, (или) результатов научной и (или) научно-технической деятельности

- **1. Автор внедрения:** Эркинбеков Ислам Бурканович, д.м.н., доцент Нурбаев Алтынбек Жолдошевич.
- 2. Наименование научно-исследовательских, научно-технических работ, (или) результатов научной и (или) научно-технической деятельности: «Особенности протезирования пациентов с множественной адентией, при неблагоприятных условиях для фиксации протеза».
- 3. Краткая аннотация: обосновано применение дентальных имплантатов в качестве дополнительной опоры базиса съемного протеза для улучщения фиксации, а также методика использования амортизирующего слоя при проведении ортопедического лечения с целью ускорения процесса адаптации тканей протезного ложа.
- 4. Эффект от внедрения: использование имплантатов для фиксации протезов, замещающих отсутствующих зубов вполне оправдано, а также для предотвращения деструкции костной ткани, повышает усталостные и прочностные характеристики металла имплантата и костной ткани. Амортизирующая прослойка приводит к разгрузке напряжения на десну и альвеолярные отростки вследствие уменьшения прогиба и оптимального момента.
- **5. Место и время внедрения:** кафедра ортопедической стоматологии Кыргызской государственной медицинской академии им. И. К. Ахунбаева от 20.06.2023 года.
- 6. Форма внедрения: метод изготовления съемных пластинчатых протезов при вторичной частичной адентией с непрерывной границей базиса при использовании амортизирующего слоя. Биомехническое обоснование применение имплантатов при неблагоприятных условиях протезного ложа для фиксации частичных съемных протезов

Представитель организации, в которую внедрена разработка:

Калбаев А. А. - д.м.н., проф., заведующий кафедрой ортопейтие войщи

стоматологии КГМА им. И. К. Ахунбаева

Представитель организации, из которой исходит внедрение. Исаков Э. О. – к.м.н., доцент кафедры кафедрой ортопедической

стоматологии КГМА им. И. К. Ахунбаева

20.06.2023 года

## приложение 3

«УТВЕРЖДАЮ»
Проректор по научной и
проректор по научной и
кума им. И.К. Ахунбаева
куми докума Н.Н. Маматов

Акт внедрения результатов научно-исследовательских, научно-технических работ, (или) результатов научной и (или) научно-технической деятельности

- **1. Автор внедрения:** Эркинбеков Ислам Бурканович, д.м.н., доцент Нурбаев Алтынбек Жолдошевич.
- 2. Наименование научно-исследовательских, научно-технических работ, (или) результатов научной и (или) научно-технической деятельности: «Особенности протезирования пациентов с множественной адентией, при неблагоприятных условиях для фиксации протеза».
- **3. Краткая аннотация:** обосновано применение дентальных имплантатов в качестве дополнительной опоры базиса съемного протеза для улучщения фиксации, а также методика использования амортизирующего слоя при проведении ортопедического лечения с целью ускорения процесса адаптации тканей протезного ложа.
- 4. Эффект от внедрения: использование имплантатов для фиксации протезов, замещающих отсутствующих зубов вполне оправдано, а также для предотвращения деструкции костной ткани, повышает усталостные и прочностные характеристики металла имплантата и костной ткани. Амортизирующая прослойка приводит к разгрузке напряжения на десну и альвеолярные отростки вследствие уменьшения прогиба и оптимального момента.
- **5. Место и время внедрения:** учебно-лечебно-научный медицинский центр Кыргызской государственной медицинской академии им. И. К. Ахунбаева от 25.06.2023 года.
- **6. Форма внедрения:** метод изготовления съемных пластинчатых протезов при вторичной частичной адентии с непрерывной границей базиса при использовании амортизирующего слоя. Биомехническое обоснование применение имплантатов при неблагоприятных условиях протезного ложа для фиксации частичных съемных протезов

Представитель организации, в которую внедрена разработка: Директор "Учебно-лечебно-научного медицинского центра" КГМА им.И.К.Ахунбаева Салибаев О.А.

Представитель организации, из которой исходит вне рение:

Исаков Э.О.-к.м.н.,доцент кафедры ортопедической стоматологии КГМА им.И.К.Ахунбаева

25.06.2023 г.